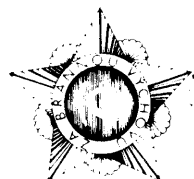


NOSITEL  
VYZNAMENÁNÍ  
ZA BRANNOU  
VYCHOVU  
I. A II. STUPNĚ



## ŘADA PRO KONSTRUKTÉRY

ČASOPIS PRO ELEKTRONIKU  
A AMATÉRSKÉ VYSILÁNÍ  
ROČNÍK XXXVII/1988 ● ● Číslo 2

## V TOMTO SEŠITĚ

Před VIII. sjezdem Svazarmu.....41

### INTEGROVANÉ OBVODY

#### ZEMÍ RVHP V

#### IO pro rozhlasové přijímače

Rozhlasový přijímač μA720PC.....42

Rozhlasový přijímač μA721PC.....43

Vf symetrický směšovač

UL1042M .....44

Přijímač AM/FM s nf

zesilovačem, A283D.....50

Přijímač AM/FM A4100D .....52

Stereofonní dekodér

A4510D, A45101D.....56

Stereofonní dekodér μA758PO ..58

#### IO pro televizní přijímače

Dekodér PAL A3510D .....60

Dekodér SECAM A3520D .....62

Obrazová kombinace A3501D ..63

Integrovaný dekodér

II. generace .....64

Horizontální kombinace

TBA920, TBA920S .....67

### MIKROPROCESOR 8086

(Dokončení z AR B1/88).....68

Klávesnice ASCII.....70

### DÁLKOVÉ OVLÁDÁNÍ

### VÝROBKŮ SPOTŘEBNÍ

### ELEKTRONIKY

(Dokončení z AR B6/87).....73

Přijímače s TDA4050 .....74

s A244D.....74

Teletextový stykový obvod .....74

Dekodér dálkového ovládání .....74

Závěr .....79

### INZERCE

Prodej .....79

Koupě, Výměna.....80

## Před VIII. sjezdem Svazarmu

Žijeme v období bilancování před VIII. sjezdem Svazarmu, který se bude konat letos na počátku prosince. Celá naše organizace musí před sjezdem na výročních schůzích základních organizací, na okresních a krajských konferencích a na republikových sjezdech hodnotit svoji činnost se zřetelem na úroveň plnění především závěru XVII. sjezdu KSČ, které byly rozpracovány do podmínek činnosti a působnosti naší branné organizace. Je třeba, aby především v době současných převratných změn v naší společnosti bylo hodnocení uplynulé činnosti co nejdůkladnější a nejobsažnější, náročné a kritické, neboť na jeho základě VIII. sjezd Svazarmu vytyčí další úkoly, které pomohou splnit a důsledně realizovat závěry XVII. sjezdu KSČ a závěry z následných zasedání ústředního výboru KSČ. Při hodnocení dosavadní činnosti je si vždy třeba uvědomovat i to, že žijeme v době, charakterizované kromě jiného i rychlým vedeckotechnickým pokrokem — přitom vedeckotechnický pokrok a např. vojenství (jsme branná organizace!) jsou dvě strany jedné mince. Svazarmu připadá důležitá role rozvíjet branně technickou činnost mládeže. Do armády přichází moderní bojová technika a zbraně, jejichž obsluha vyžaduje technické znalosti a zručnost vojáků. Z tohoto hlediska je důležitá především naše odbornost a její obě složky — radioamatérství a elektronika. Přitom systém přípravy brančů i struktura výcvikových středisek umožnuje s dostatečnou perspektivou budovat a modernizovat učebně výcvikovou základnu a prosazovat perspektivnost do výběru a přípravy. Přes všechny pozitivní rysy v přípravě brančů přetrvávají stále nedostatky — ve využívání doby, určené k výcviku, ve zvládnutí metodiky výcviku cvičitelů, v zapojování předbranec mládeže do branně sportovní činnosti apod.

I tyto nedostatky by měly být předmětem jednání svazarmovských organizací. Především okresní výbory, jejich komise a sekce i rady by měly růstu kvality branné výchovy a přípravy věnovat větší pozornost a při hodnocení té či oné organizace v uplynulém období se své činnosti v tomto směru podrobňě věnovat.

Výcvik brančů je ovšem jen jednou ze součástí svazarmovské činnosti. Strategie urychlení vyžaduje i masový rozvoj branně sportovní a branně technické činnosti v okruhu působnosti všech základních organizací. Přitom více než 30 % základních organizací nerovní v potřebné šíři ani vymezené prioritní obory a odbornosti a navíc jsou

značné, neodůvodněné rozdíly mezi okresy, které mají pro tuto činnost zhruba stejné podmínky. V tomto směru je zajímavé i zjištění vlády ČSSR, publikované po jejím zasedání v únoru 1988, o nedostatečné práci s mládeží, o formalismu v této práci především se zřetelem na budování a vybavování středisek pro vedeckotechnickou činnost mládeže při závodech. Také v této souvislosti je třeba při hodnocení minulé činnosti a plánování činnosti příští důkladně se zabývat možnostmi jednotlivých organizací, navazovat kontakty s ostatními organizacemi Národní fronty, sdružovat prostředky a vychovávat vedoucí a cvičitele.

Při hodnocení je třeba posuzovat náročně i efektivnost řízení, zkvalitňovat a aktivizovat členské rady, zdokonalovat obsah členských schůzí. Členská schůze by měla být pokračováním činnosti v klubech, zájmových útvarech, měly by se na ni podrobně projednávat účty z práce, plnění povinností, řešit problémy, dostávat informace o činnosti vyšších orgánů, členové by na nich měli dostávat odpovědi na své oprávněné připomínky. To vše pak souvisí s nutným odklonem od administrativně direktivního stylu práce k živému styku, v němž jádrem bude všestranná znalost situace a práce lidí, koncepcní a rozhodné řešení problémů na základě názorů, návrhů a připomínek členů. Větší demokratický průchod je třeba dávat iniciativě, dobrovolné aktivitě a zájmu dělat něco více pro kolektiv, než je povinnost nebo nutnost. I z tohoto hlediska je třeba posuzovat činnost jednotlivých funkcionářů, členů i celých organizací.

Jednoduše řečeno — cílem musí být nové myšlení a nové činy, odpovídající probíhajícímu procesu přestavby, novým požadavkům a potřebám. Hodnocení by měla stručně a věcně charakterizovat kladné a záporné tendenze a výsledky činnosti, adresně a všeobecně kvalifikovat příčiny a vyvozovat reálná a jasná doporučení nebo přesné konkrétní závěry a úkoly především pro vlastní orgán, aparát i aktiv, co jak udělá ve prospěch nižšího článku, především s ohledem na zlepšení stavu a výsledků v okresních a základních organizacích. Kritériem dobrého rozhodování, správného usnesení a pomoci na místě je a musí být zlepšení situace, odstranění příčin problémů a dosažení lepších výsledků v celku či v dané oblasti.

### AMATÉRSKÉ RADIO ŘADA B

Vydává ÚV Svazarmu ve vydavatelství NAŠE VOJSKO, Vladislavova 26, 133 66 Praha 1, tel. 26 06 51-7. Šéfredaktor ing. Jan Klabal. Redakční radu řídí ing. J. T. Hyun. Redaktor L. Kalousek, OK1FAC. Redakce Jungmannova 24, 113 66 Praha 1, tel. 26 06 51-7, šéfredaktor linka 354, redaktor linka 353, sekretářka linka 355. Ročně vyjde 6 čísel. Cena výtisku 5 Kčs, poletní předplatné 15 Kčs, Rozšířuje PNS, v jednotkách ozbrojených sil vydavatelství NAŠE VOJSKO, administrace Vladislavova 26, Praha 1. Objednávky přijímá každá pošta i doručovatel. Objednávky do zahraničí vyřizuje PNS, ústřední expedice a dovoz tisku, závod 01, Kafkova 9, 160 00 Praha 6. Tiskne NAŠE VOJSKO, n. p., závod 08, 160 05 Praha 6, Vlastina ulice č. 889/23. Za původnost a správnost příspěvku odpovídá autor. Návštěvy v redakci a telefonické dotazy po 14. hodině. Číslo indexu 46 044. Toto číslo má vyjít podle plánu 14. 4. 1988. © Vydavatelství NAŠE VOJSKO.

# INTEGROVANÉ OBVODY — ZEMÍ RVHP —

Vítězslav Stříž

## INTEGROVANÉ OBVODY PRO ROZHLASOVÉ PŘIJÍMAČE

### Rozhlasový přijímač AM, μA720PC

Integrovaný obvod μA720PC maďarské výroby MEV (Tungsram) je monolitický systém přijímače pro příjem amplitudové modulovaných signálů, který slučuje dva zesilovače (vysokofrekvenční a mezfrekvenční), směšovač-oscilátor, detektor AGC a regulátor napětí. Obvod je vhodný pro superheterodynou středovlnné přijímače. Protože všechny funkční části obvodu jsou samostatně přístupné, je možno integrovaný obvod používat v nejrůznějších obměnách známých zapojení. Napěťový regulátor, kterým se napájejí obvody přijímače, je chráněn proti krátkodobému přepětí a napěťovým špičkám.

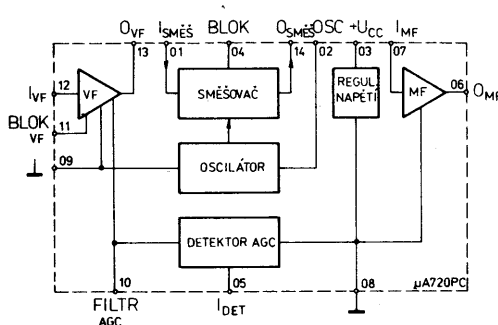
Obvod je v plastovém pouzdru DIL-14 s 2x sedmi vývody ve dvou řadách. Funkční blokové zapojení na obr. 1. Funkce vývodů: 01 – vstup směšovače, 02 – oscilátor, 03 – napájecí napětí kladné, 04 – blokování směšovače, 05 – vstup detektora, 06 – výstup mf zesilovače, 07 – vstup mf zesilovače, 08 – zemnický vývod 2, 09 – zemnický vývod 1, 10 – filtr AGC, 11 – blokování vf zesilovače, 12 – vstup nf zesilovače, 13 – výstup vf zesilovače, 14 – výstup směšovače. Úplné vnitřní zapojení součástky je na obr. 2.

Mezní a charakteristické údaje obvodu μA720PC jsou uvedeny v tabulce. Vlastnosti vstupního laděného obvodu při měření elektrických vlastností jsou specifikovány takto:  $f_0 = 1,26 \text{ MHz}$ ,  $Q = 30 \pm 10\%$ ,  $R_p = 10 \text{ k}\Omega \pm 5\%$ . Uvedené vlastnosti laděného obvodu jsou měřeny na vývodech 2 a 3 objímky bez vloženého integrovaného obvodu. Odpor  $R_p$  je efektivní paralelní odpor laděného obvodu při rezonanci.

Obvod μA720PC je určen pro konstrukci rozhlasových přijímačů pro příjem am-

Tab. 1. Elektrické údaje μA720PC

Mezní údaje	
<i>Napájecí napětí:</i>	$U_{3/8+9} = 16 \text{ V}$ .
<i>Proud do napájecího vývodu 03:</i>	$I_{03} = 40 \text{ mA}$ .
<i>Proud do vývodu 13 vf výstupu:</i>	$I_{013} = 20 \text{ mA}$ .
<i>Proud do vývodu 12 nf výstupu:</i>	$I_{112} = 10 \text{ mA}$ .
<i>Proud do vývodu 07 vf výstupu:</i>	$I_{107} = 10 \text{ mA}$ .
<i>Proud do nebo ven z vývodu 05 vstupu detektoru:</i>	$I_{105} = \pm 10 \text{ mA}$ .
<i>Proud do filtru AGC – vývod 10:</i>	$I_{110} = 10 \text{ mA}$ .
<i>Záporné napětí na nf vstupu, mf vstupu a vstupu detektoru – vývody 12, 07, 05:</i>	$-U_{112} - U_{107} - U_{105} = -5,0 \text{ V}$ .
<i>Záporné napětí na vstupu směšovače, vývod 01:</i>	$U_{101} = 0 \text{ V}$ .
<i>Ztrátový výkon (<math>\vartheta_a \leq +70^\circ \text{C}</math>):</i>	$P_{\text{tot}} = 670 \text{ mW}$ .
<i>Rozsah provozních teplot:</i>	$\vartheta_a = 0 \text{ až } +70^\circ \text{C}$ .
<i>Rozsah skladovacích teplot:</i>	$\vartheta_{\text{stg}} = -55 \text{ až } +125^\circ \text{C}$ .
<i>Teplota vývodů při pájení (<math>t = 10 \text{ s}</math>):</i>	$\vartheta_L = 260^\circ \text{C}$ .
Charakteristické údaje	
(platí při $\vartheta_a = 25^\circ \text{C}$ , $U_{3/8+9} = 12 \text{ V}$ , ve zkoušebním zapojení podle obr. 2, není-li uvedeno jinak)	
a) stejnosměrné údaje	
Oscilátor vypnut, $P_1$ v poloze 2, $P_3$ v poloze 2, není-li uvedeno jinak	
<i>Napájecí napětí:</i>	
$I_{02} + I_{03} = 15 \text{ mA}$ :	$U_{03} = \text{jmen. } 7,0; 6,6 \text{ až } 7,5 \text{ V}$ ,
$I_{02} + I_{03} + I_{14} = 22 \text{ mA}$ ,	$U_{03} = \text{jmen. } 7,0; 6,6 \text{ až } 7,5 \text{ V}$ ,
$P_3$ v poloze 1:	
<i>Proud do oscilátoru a napájecího vývodu, <math>U_{03} = 5 \text{ V}</math>, <math>P_1</math> v poloze 1:</i>	$I_{02} + I_{03} = \text{jmen. } 6,0;$
	$4,0 \text{ až } 8,0 \text{ mA}$ .
<i>Proud do oscilátoru, napájecího vývodu, výstupu vf a výstupu směšovače <math>U_{03} = 5 \text{ V}</math>, <math>P_1</math> v poloze 1, <math>P_3</math> v poloze 1:</i>	$I_{02} + I_{03} + I_{13} + I_{14} = \text{jmen. } 9,0;$
	$6,0 \text{ až } 12 \text{ mA}$ .
<i>Proud oscilátoru, <math>I_{02} + I_{03} = 15 \text{ mA}</math>:</i>	$I_{02} = 1,2 \text{ mA}$ .
<i>Výstupní proud vf, <math>I_{02} + I_{03} = 15 \text{ mA}</math>:</i>	$I_{13} = 4,0 \text{ mA}$ .
<i>Výstupní proud mf, <math>I_{02} + I_{03} = 15 \text{ mA}</math>:</i>	$I_{06} = 4,0 \text{ mA}$ .
<i>Napětí na vstupu směšovače, <math>I_{02} + I_{03} = 15 \text{ mA}</math>:</i>	$U_{01} = 5,8 \text{ V}$ .
<i>Napětí na vstupu mf, <math>I_{02} + I_{03} = 15 \text{ mA}</math>:</i>	$U_{07} = 0,75 \text{ V}$ .
<i>Napětí na vstupu vf, <math>I_{02} + I_{03} = 15 \text{ mA}</math>:</i>	$U_{12} = 0,67 \text{ V}$ .
<i>Ztrátový výkon vnitřní, <math>I_{02} + I_{03} + I_{13} + I_{14} = 22 \text{ mA}</math>, <math>P_3</math> v poloze 1:</i>	$P = 200 \text{ mW}$ .
b) vysokofrekvenční údaje (signál se měří přímo na vývodech obvodu)	
Vstřímost – oscilátor vypnut	
$f_{12} = 1 \text{ MHz}, U_{12 \text{ eff}} = 100 \mu\text{V}$ ,	
$U_{05} = 0 \text{ V}$ :	$S_{vf} = \frac{I_{13}}{U_{12}} = \text{jmen. } 120; 80 \text{ až } 180 \text{ mS}$ .
Vstupní odpor	
$f_{12} = 1 \text{ MHz}, U_{12 \text{ eff}} = 100 \mu\text{V}$ ,	$R_{112} = \text{jmen. } 1000; \geq 500 \Omega$ .
$P_2$ v poloze 2:	
Kapacita vf vstupu	
$f_{12} = 1 \text{ MHz}, U_{12 \text{ eff}} = 100 \mu\text{V}$ ,	$C_{112} = 50 \text{ pF}$ .
$P_2$ v poloze 2:	$R_{013} = 50 \text{ k}\Omega$ .
Odpór vf výstupu, $f_{13} = 1 \text{ MHz}$ :	$C_{013} = 10 \text{ pF}$ .
Kapacita vf výstupu, $f_{13} = 1 \text{ MHz}$ :	
Vstřímost vstupu	
$R_G = 50 \Omega, f_{13} = 1 \text{ MHz}$ :	$\sqrt{U_N}^2 = 3 \text{ nV}/\sqrt{\text{Hz}}$ .
Vstřímost detektoru (zisk vf stupně zmenšen), $f_{13} = 1 \text{ MHz}, f_{05} = 260 \text{ kHz}$ ,	$U_{05 \text{ eff}} = \text{jmen. } 180;$
$\Delta S_{vf} = 3 \text{ dB}$ :	$140 \text{ až } 250 \text{ mV}$ ,
$\Delta S_{vf} = 40 \text{ dB}$ :	$U_{05 \text{ eff}} = \text{jmen. } 270;$
	$220 \text{ až } 330 \text{ mV}$ .
Mezifrekvenční strmost	
$f_{07} = 260 \text{ kHz}, U_{07 \text{ eff}} = 1 \text{ mV}$ :	$S_{mf} = \frac{I_1}{U_{07}} \geq \text{jmen. } 90; 50 \text{ až } 130 \text{ mS}$ .
Odpór mf výstupu, $f_{07} = 260 \text{ kHz}$ :	$R_{107} = \text{jmen. } 1000; \geq 600 \Omega$ .
Kapacita mf výstupu, $f_{07} = 260 \text{ kHz}$ :	$C_{107} = 70 \text{ pF}$ .
Odpór mf výstupu, $f_{06} = 260 \text{ kHz}$ :	$R_{006} = 10 \text{ k}\Omega$ .
Kapacita mf výstupu, $f_{06} = 260 \text{ kHz}$ :	$C_{006} = 8 \text{ pF}$ .



Obr. 1. Funkční blokové zapojení obvodu μA720PC

### Směšovací strmost

$f_{01} = 1 \text{ MHz}$ ,  $U_{01 \text{ ef}} = 1 \text{ mV}$ ,  
 $f_{14} = f_{\text{osc}} - f_{01}$ :

Odporník vstupu směšovače,  $f_{01} = 1 \text{ MHz}$ :

Kapacita vstupu směšovače,  $f_{01} = 1 \text{ MHz}$ :

Odporník výstupu směšovače,  $f_{14} = 260 \text{ kHz}$ :

Kapacita výstupu směšovače,  $f_{14} = 260 \text{ kHz}$ :

Výstupní napětí oscilátoru:

$$S_C = \frac{I_{14}}{U_1} = \text{jmen. } 2,5; \quad 1,5 \text{ až } 3,4 \text{ mS}$$

$R_{101} = \text{jmen. } 1400; > 1000 \Omega$ .

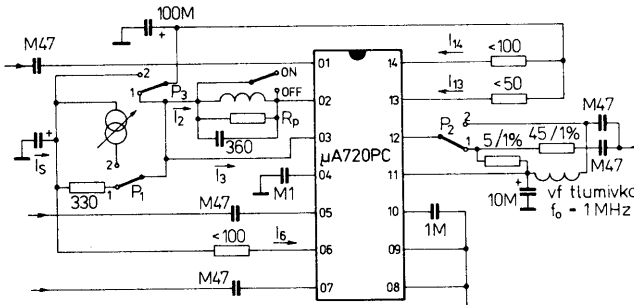
$C_{101} = 8 \text{ pF}$ .

$R_{014} = 50 \text{ k}\Omega$ .

$C_{014} = 10 \text{ pF}$ .

$U_{002 \text{ ef}} = 1,2 \text{ V}$ .

nebo mf zesilovač signálů FM. Součástí obvodového systému je omezovač signálů FM a kvadraturní (fázový) detektor. Systém je navržen pro práci v širokém rozsahu napájecího napětí od 3,5 V do 16 V, což je z hlediska konstrukčního zajímavé při použití obvodu v přenosných, stolních či automobilových přijímačích, stejně jako v průmyslových komunikačních systémech.



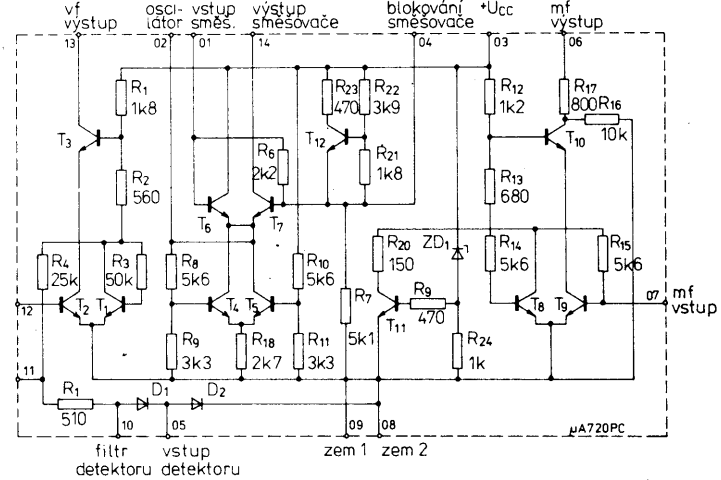
Obr. 2. Měřicí zapojení obvodu μA720PC

plitudově modulovaných vysílačů v pásmu středních a dlouhých vln. Všechny funkční bloky jsou integrovány na společném čipu, což má jistě přednosti z hlediska požadavků na malý šum a dostatečnou stabilitu v provozu. Přijímač se napájí napětím +12 V, spotřeba proudu je pouze 15 mA. K vlastní konstrukci přijímače není zapotřebí mnoho vnějších diskrétních součástek. Doporučuje se použít kvalitní vstupní laděný obvod, kvalitní oscilátor a dvě mezifrekvenční pásmové propusti 260 kHz miniaturních rozměrů. Rezonanční obvody jsou laděny otočnými kondenzátory. Mf signál z výstupu druhé mf pásmové propusti je demodulován germaniovou diodou AA116 (nebo GA201) a přivádí se na filtrační člen k odstranění zbytku mf složky. Na výstupu detektora je nf napětí, které poslouží k vybuzení nf zesilovače středního výkonu jako je integrovaný obvod MBA810DS či MBA810DAS, příp. MBA810S, MBA810AS. Zapojení celého přijímače je na obr. 4. Tato konstrukce je vhodná jako stolní provedení přijímače.

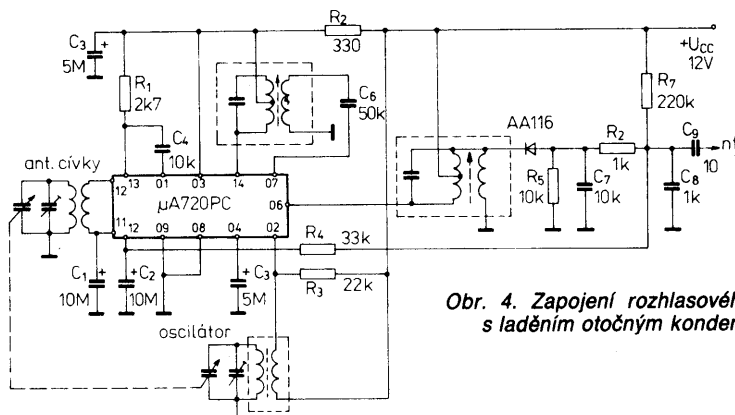
Obvod μA720PC je též vhodný pro jednoduché a levné automobilové rozhlasové přijímače pro příjem v pásmu středních a dlouhých vln. Zapojení přijímače je na obr. 5. K ladění se využívají cívkové soupravy s laděním indukčnostmi. Přijímač se napájí napětím +14 V. Napájecí napětí se však musí přivádět na filtrační člen složený z tlumivky, za níž těsně následuje blokovací elektrolytický kondenzátor s velkou kapacitou (okolo 470 μF), kterým se účinně potlačí rušivá napětí z elektrické výzbroje automobilu. Rovněž na vstupu se doporučuje použít vf tlumivku s indukčností 6,2 mH. Ostatní součástky jsou obdobně voleny jako u předchozího přijímače ve stolním provedení.

### Rozhlasový přijímač AM/FM, μA721PC

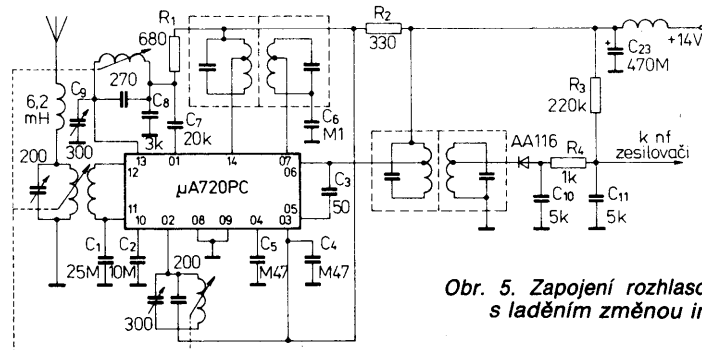
Integrovaný obvod μA721PC maďarské výroby MEV (Tungsram) je rovněž monolitický obvodný systém pro konstrukci rozhlasových přijímačů pro příjem signálů AM v pásmu středních a dlouhých vln. Několik zesilovacích bloků je určeno pro použití jako směšovač signálů AM, vysokofrekvenční a mezifrekvenční zesilovač



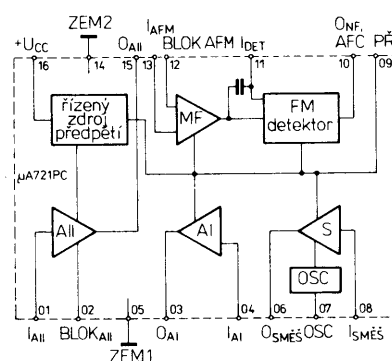
Obr. 3. Vnitřní elektrické zapojení obvodu μA720PC



Obr. 4. Zapojení rozhlasového přijímače s laděním otočným kondenzátorem



Obr. 5. Zapojení rozhlasového přijímače s laděním změnou indukčnosti



Obr. 6. Funkční blokové zapojení obvodu μA721PC pro rozhlasové přijímače AM/FM

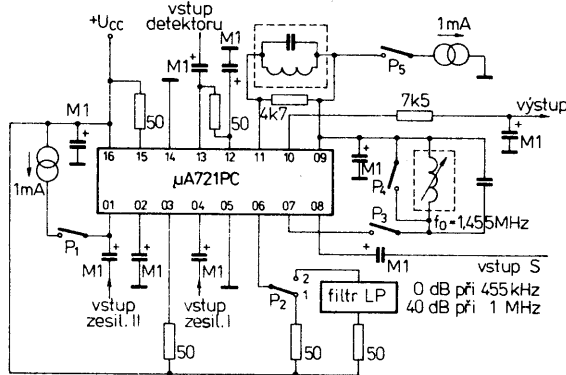
vstup směšovače, 09 – předpětí, 10 – výstup nf signálu, 11 – vstup fázového detektoru, 12 – blokování zesilovače FM, 13 – vstup zesilovače FM, 14 – zemníci vývod 2, 15 – výstup zesilovače II, 16 – pípoj kladného napájecího napěti.

Doporučené napájecí napěti přijímače je 8,2 V, při němž je spotřeba proudu průměrně 20 mA, nejvýše 30 mA. Nezávislé funkční bloky systému lze použít pro různé navrhované přijímače signálů AM/FM. Zesilovače I a II, stejně jako oscilátor-směšovač signálů AM mají otevřený kolektový výstupní obvod, což dovoluje pružnou volbu zatěžovací impedance. Mf zesilovač-omezovač signálů FM a blok detektoru FM vyžaduje k provozu jen několik vnějších součástek. Podle potřeby a zámru lze libovolně volit na místo laděných obvodů LC keramické mf filtry s velkou selektivitou, běžné cívky fázového detektoru lze nahradit keramickými rezonátory. Pomocí vhodných vnějších součástek je možné uvedené čtyři funkční bloky kombinovat jako mf zesilovače signálů FM, detektory FM a všechny funkce pro zpracování signálů AM ve většině běžných přijímačů.

Integrovaný obvod μA721PC využívá dvou základních systémů k vymezení nestability vysokofrekvenčních vlastností obvodu pomocí společně zemněných impedancí. Stabilní provoz přijímače vyžaduje rovněž vhodnou kombinaci vnějších součástek a správný návrh desky s plošnými spoji. Zesilovač I se doporučuje použít jako vf zesilovač v pásmu středních vln a jako mf zesilovač 10,7 MHz, zesilovač II jako mf zesilovač 455 kHz a 10,7 MHz. Blok směšovače-oscilátoru je určen pro provoz v pásmu středních a dlouhých vln, při příjemu signálů FM jako vstupní mf stupeň 10,7 MHz. Vstupní citlivost omezovače signálu FM je průměrně 500 µV. Obnovená nízkofrekvenční složka na výstupu detektoru má výstupní napětí asi 520 mV při max. zkreslení 2 %. Výstupní odpor detektoru je přibližně 100 Ω.

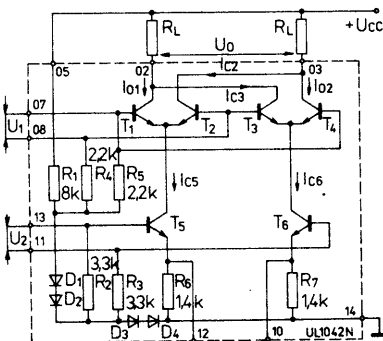
Měřicí zapojení je na obr. 7.

Obr. 7. Měřicí zapojení obvodu μA721PC



Tab. 2. Elektrické údaje μA721PC

Mezní údaje	
Napájecí napětí:	$U_{16/5+14} = 18 \text{ V}$ .
Vrhové napětí na vývodu 15:	$U_{15\text{M}} = 36 \text{ V}$ .
Ztrátový výkon celkový:	$P_{\text{tot}} = 800 \text{ mW}$ .
Rozsah provozních teplot okolí:	$\vartheta_a = 0 \text{ až } +70^\circ\text{C}$ .
Rozsah skladovacích teplot:	$\vartheta_{\text{stg}} = -55 \text{ až } +125^\circ\text{C}$ .
Teplota vývodu při pájení ( $t \leq 10 \text{ s}$ ):	$\vartheta_L = 260^\circ\text{C}$ .
Charakteristické údaje	
(platí při $\vartheta_a = 25^\circ\text{C}$ , $U_{\text{cc}} = +8,2 \text{ V}$ , není-li uvedeno jinak, jinak měřeno v měřicím zapojení)	
a) stejnosměrné údaje	
Napájecí proud:	$I_{16} = \text{jmen. } 20; \leq 30 \text{ mA}$ .
Napětí na vývodu 01:	$U_{01} = \text{jmen. } 700; 600 \text{ až } 800 \text{ mV}$ .
Napětí na vývodu 02:	$U_{02} = \text{jmen. } 500; 300 \text{ až } 700 \text{ mV}$ .
Napětí na vývodu 04:	$U_{04} = \text{jmen. } 700; 600 \text{ až } 800 \text{ mV}$ .
Napětí na vývodu 09, P <sub>3</sub> , P <sub>4</sub> , P <sub>5</sub> sepnut:	$U_{09} = \text{jmen. } 3,3; 3,0 \text{ až } 3,6 \text{ V}$ .
Napětí na vývodu 10:	$U_{10} = \text{jmen. } 4,0; 2,5 \text{ až } 5,5 \text{ V}$ .
Rozdíl napětí $U_{04} - U_{01}$ :	$I_{04} - U_{01} \leq +20 \text{ mV}$ .
Proud do vývodu 03:	$I_{03} = \text{jmen. } 2,2; 1,5 \text{ až } 3,0 \text{ mA}$ .
Proud do vývodu 06 (malý):	$I_{06 \text{ LOW}} = \text{jmen. } 300; 100 \text{ až } 650 \mu\text{A}$ .
Proud do vývodu 06 (velký):	$I_{06 \text{ HIGH}} = \text{jmen. } 580; 400 \text{ až } 850 \mu\text{A}$ .
Proud do vývodu 15:	$I_{15} = \text{jmen. } 2,1; 1,5 \text{ až } 3,0 \text{ mA}$ .
Napětí na vývodech 12, 13:	$U_{12}, U_{13} = 1,3 \text{ V}$ .
b) vysokofrekvenční údaje	
Zesilovač Al:	
Strmost	
$f = 1 \text{ MHz}, U_{1 \text{ ef}} = 1 \text{ mV}$ :	$S_{\text{AI}} = \text{jmen. } 70; 40 \text{ až } 100 \text{ mS}$ .
$f = 10,7 \text{ MHz}, U_{1 \text{ ef}} = 1 \text{ mV}$ :	$S_{\text{AI}} = \text{jmen. } 60; 35 \text{ až } 90 \text{ mA}$ .
Vstupní odpor, $f = 1 \text{ MHz}$ :	$R_1 = 2,0 \text{ k}\Omega$ .
Vstupní kapacita, $f = 1 \text{ MHz}$ :	$C_1 = 20 \text{ pF}$ .
Výstupní odpor, $f = 1 \text{ MHz}$ :	$R_O = 60 \text{ k}\Omega$ .
Výstupní kapacita, $f = 1 \text{ MHz}$ :	$C_O = 4,0 \text{ pF}$ .
Zesilovač All:	
Strmost	
$f = 455 \text{ kHz}, U_{1 \text{ ef}} = 500 \mu\text{V}$ :	$S_{\text{All}} = \text{jmen. } 1200; 600 \text{ až } 1700 \text{ mS}$ .
$f = 10,7 \text{ MHz}, U_{1 \text{ ef}} = 500 \mu\text{V}$ :	$S_{\text{All}} = \text{jmen. } 500; 250 \text{ až } 650 \text{ mS}$ .
Vstupní odpor, $f = 1 \text{ MHz}$ :	$R_1 = 3,5 \text{ k}\Omega$ .
Vstupní kapacita, $f = 1 \text{ MHz}$ :	$C_1 = 20 \text{ pF}$ .
Výstupní odpor, $f = 1 \text{ MHz}$ :	$R_O = 60 \text{ k}\Omega$ .
Výstupní kapacita, $f = 1 \text{ MHz}$ :	$C_O = 4,0 \text{ pF}$ .
Směšovač-oscilátor:	
Směšovací strmost	
$f = 10,7 \text{ MHz}, U_{1 \text{ ef}} = 5 \text{ mV}$ :	$S_C = \text{jmen. } 9,0; 5,5 \text{ až } 12 \text{ mS}$ .
Směšovací zisk	
$f = 1 \text{ MHz}, f_{\text{osc}} = 1,455 \text{ MHz}$ ,	$A_C = \text{jmen. } 2,2; 1,2 \text{ až } 3,2 \text{ mS}$ .
$U_{1 \text{ ef}} = 5 \text{ mV}, P_3 \text{ sepnut}, P_2 \text{ v poloze } 2$ :	
Napětí oscilátoru	
$f = 1,455 \text{ kHz}, P_3 \text{ sepnut}$ :	$U_{\text{OSC MM}} = \text{jmen. } 1,9; \geq 1,4 \text{ V}$ .
Vstupní odpor směšovače, $f = 1 \text{ MHz}$ :	$R_1 = 6,5 \text{ k}\Omega$ .
Vstupní kapacita směšovače, $f = 1 \text{ MHz}$ :	$C_1 = 7,0 \text{ pF}$ .
Výstupní odpor směšovače, $f = 1 \text{ MHz}$ :	$R_O = 200 \text{ k}\Omega$ .
Výstupní kapacita směšovače, $f = 1 \text{ MHz}$ :	$C_O = 4,0 \text{ pF}$ .
Omezovač/detektor FM:	
Vstupní omezovací citlivost (-3 dB)	
$f = 10,7 \text{ MHz}$ :	$S_{L \text{ ef}} = \text{jmen. } 500; < 800 \mu\text{V}$ .
Obnovený nf signál:	$U_{NF \text{ ef}} = \text{jmen. } 520; 400 \text{ až } 640 \text{ mV}$ .
Potlačení amplitudové modulace:	$CRM_{AM} = \text{jmen. } 46; \geq 40 \text{ dB}$ .
Celkové harmonické zkreslení:	$k = \text{jmen. } 0,9; \leq 2 \%$ .
Poměr signálů se šumem k šumu	
$f = 10,7 \text{ MHz}, U_{1 \text{ ef}} = 100 \text{ mV}$ ,	$N = \text{jmen. } 75; \geq 60 \text{ dB}$ .
$\Delta f = \pm 75 \text{ kHz}, f = 400 \text{ Hz}$ :	$R_1 = 10 \text{ k}\Omega$ .
Vstupní odpor, $f = 10,7 \text{ MHz}$ :	$C_1 = 8,0 \text{ pF}$ .
Vstupní kapacita, $f = 10,7 \text{ MHz}$ :	$R_O = 400 \text{ }\Omega$ .
Výstupní odpor, $f = 400 \text{ Hz}$ :	



Obr. 8. Vnitřní elektrické zapojení UL1042N

Integrovaný obvod UL1042N se skládá ze dvou rozdílových zesilovačů, které tvoří tranzistory T<sub>1</sub>, T<sub>2</sub>, T<sub>3</sub> a T<sub>4</sub>. V jejich emitorových vývodech jsou zapojeny tranzistory T<sub>5</sub> a T<sub>6</sub>, jež plní funkci řízených proudových zdrojů. Vnitřní elektrické zapojení obvodu je uvedeno na obr. 8.

Rezistor R<sub>1</sub> a diody D<sub>1</sub> až D<sub>4</sub> určují potřebný klidový proud vstupního obvodu. Propojené báze tranzistorů T<sub>1</sub> a T<sub>4</sub> (stejně T<sub>2</sub> a T<sub>3</sub>) tvoří symetrický vstup horní části obvodu. Samostatně vyvedené báze tranzistorů T<sub>5</sub> a T<sub>6</sub> tvoří symetrický vstup dolní části obvodu. Na báze tranzistorů T<sub>1</sub> až T<sub>4</sub> se přivádí přes rezistory R<sub>4</sub> a R<sub>5</sub> napětí okolo 2,8 V, na báze T<sub>5</sub> a T<sub>6</sub> napětí asi 1,4 V přes rezistory R<sub>2</sub> a R<sub>3</sub>. Obě uvedená napětí určují klidové podmínky funkce obvodu.

Vstupní napětí U<sub>1</sub> a U<sub>2</sub>, která se mají směšovat, se přivádějí na symetrické vstupy horní a dolní části obvodu – vývody 07 a 08, 11 a 13. Výstupní signál U<sub>0</sub> se projeví na kolektorech tranzistorů T<sub>1</sub> až T<sub>4</sub>, k nimž je přístup na vývodech 02 a 03. Kesprávné funkci symetrického směšovače není nutné přivádět na vstupy symetrické signály – při nesymetrickém řízení směšovače se však musí zablokovat nepoužitý vstup kondenzátorem s příslušně velkou kapacitou. K tomu je třeba dodat, že při symetrickém řízení je zesílení obvodu větší, naproti tomu průnik vstupních signálů do výstupních přes parazitní kapacity je menší.

Vývody 10 a 12 se používají k připojení vnějších přídavných součástek, které mají vliv na zesílení a linearitu dolní části

obvodu. Při zkratování vývodů 10 a 12 je zesílení obvodu maximální, přičemž horní a dolní část obvodu pracuje nelineárně při vstupních signálech větších než 26 mV.

V klidovém stavu, kdy jsou oba vstupní signály nulové, jsou si proudy I<sub>c5</sub> a I<sub>c6</sub> rovny, stejně tak výstupní proudy I<sub>o1</sub> a I<sub>o2</sub>. Jestliže vstupní napětí horní části obvodu U<sub>1</sub> je rovno nula a bude přiváděno pouze vstupní napětí U<sub>2</sub>, budou se proudy I<sub>c5</sub> a I<sub>c6</sub> odlišovat o rozdíl Δ od klidové velikosti, avšak výstupní proudy I<sub>o1</sub> a I<sub>o2</sub> budou i nadále stejné. Pro uvedený případ platí vztah

$$\begin{aligned} I_{o1} &= I_{c1} + I_{c3} = (I_{c5} + \Delta)/2 + (I_{c6} - \Delta)/2 = \\ &= (I_{c5} + I_{c6})/2 \\ I_{o2} &= I_{c2} + I_{c4} = (I_{c6} - \Delta)/2 + (I_{c5} + \Delta)/2 = \\ &= (I_{c6} + I_{c5})/2. \end{aligned}$$

Proudys I<sub>c1</sub> a I<sub>c2</sub>, stejně tak I<sub>c3</sub> a I<sub>c4</sub> se budou odlišovat o Δ od klidové velikosti i tehdy, bude-li vstupní napětí dolní části obvodu U<sub>2</sub> nulové a přivádě-li se na obvod pouze vstupní napětí U<sub>1</sub>. Výstupní proudy I<sub>o1</sub> a I<sub>o2</sub> budou však jejich součtem a budou si rovně shodně se vztahy

$$I_{o1} = (I_{c1} + \Delta_{c1-2}) + (I_{c3} - \Delta_{c3-4}) = \\ = I_{c1} + I_{c3}$$

$$I_{o2} = (I_{c4} + \Delta_{c3-4}) + (I_{c2} - \Delta_{c1-2}) = I_{c4} + I_{c2}. \\ \text{Protože platí } I_{c5} = I_{c6}, \text{ bude} \\ \Delta_{c1-2} = \Delta_{c3-4} = \Delta.$$

Výstupní signál v tvaru rozdílných proudů I<sub>o1</sub> a I<sub>o2</sub> se projeví jedině tehdy, budou-li obě vstupní napětí odlišná od nuly.

Výstupní napětí obvodu je proporcionalní součinu vstupních napětí horní a dolní části obvodu s přibližným vztahem

$$U_0 = \frac{R_L}{U_T} U_1 U_2 \left( \frac{1}{R_{10} \dots R_{14}} + \frac{2}{R'_{10} \dots R'_{12}} \right)$$

kde R<sub>L</sub> je zatěžovací odpór.

U<sub>T</sub> napětí 26 mV při teplotě +25 °C,  
U<sub>1</sub> vstupní napětí horní části obvodu,  
U<sub>2</sub> vstupní napětí dolní části obvodu,  
R<sub>10</sub> až R<sub>14</sub> emitorové rezistory,  
R<sub>10</sub> až R<sub>12</sub> vnější emitorové rezistory.

Vše uvedený vztah platí vždy pro malá napětí U<sub>1</sub> a U<sub>2</sub> ve srovnání s napětím U<sub>T</sub>, při nízkých kmitočtech a při odporech rezistorů R<sub>10</sub> až R<sub>12</sub> > 1/10 R<sub>10</sub> až R<sub>14</sub>.

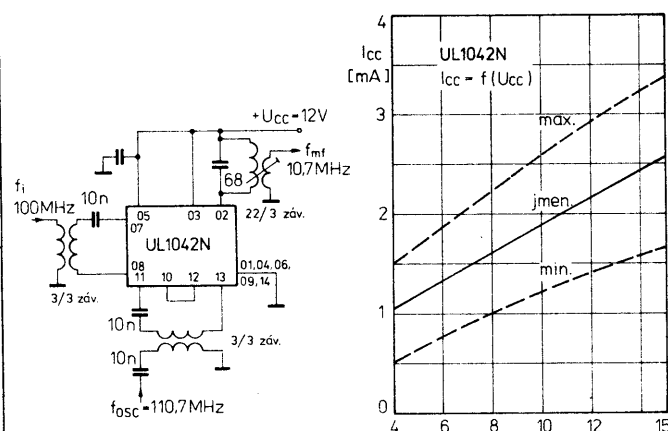
V tabulce elektrických údajů (tab. 3) jsou uvedeny základní parametry obvodu UL1042N při teplotě okolo 25 °C a napáje-

cím napětí 12 V. Vnější emitorové rezistory tranzistorů T<sub>5</sub> a T<sub>6</sub> jsou použity ke zvětšení proudu emitorů a ke zvětšení směšovací strmosti. Uvedené průbojné napětí naznačuje možnost použít integrovaný obvod v podmírkách provozu s velkým výstupním signálem a zatěžovací impedancií laděného obvodu. Větší rozdíl výstupního napětí (než je průrazné napětí U<sub>BR</sub>) lze získat použitím laděného obvodu s obojkou uprostřed vinutí cívky, která je připojena k napájecímu napětí. Konec cívky jsou připojeny k výstupu obvodu (vývody 02 a 03).

Integrovaný obvod UL1042N se dodává v plastovém pouzdru DIL-14 s 2x sedmi vývody ve dvou řadách s typovým označením pouzdra podle normy CEMI CE70. Funkce vývodů: 02, 03 – výstup, 05 – předpětí, 07 – vstup 1 nelineární, 08 – vstup 1 lineární, 10 – delinearizace vstupu 2, 11 – vstup 2 lineární, 12 – delinearizace vstupu 2, 13 – vstup 2 lineární, 14 – zemnický bod, 01, 04, 06, 09 – nezapojené vývody. Nepoužité (nezapojené) vývody se doporučuje v provozu uzemnit.

Mezní a charakteristické údaje popisovaného obvodu UL1042N jsou v tab. 3. Všechny uvedené údaje platí v měřicím zapojení podle obr. 9, které v podstatě představuje symetrický směšovač s cizím buzením z vnějšího oscilátoru. Vstupní signál směšovače má kmitočet 100 MHz, signál z vnějšího oscilátoru má kmitočet 110,7 MHz. V zapojení jsou pro tyto kmitočty uvedeny počty závitů použitých cívek. Velkou předností obvodu je jeho jednoduchost a malý vnější počet součástek, potřebných k provozu. Přitom směšovací strmost, měřená na kmitočtu 455 kHz, je průměrně 5 mS. Šumové číslo 7 dB zajišťuje dobrou funkci směšovače.

Provorní zapojení směšovače s UL1042N je vhodné konstruovat tak, aby vývody 07 a 08, popří. 11 a 13 byly propojeny vazebním vinutím. Mezi vývody 10 a 14 (zemnický bod) a 12 vůči 14 se může připojit po jednom rezistoru s odporem nejméně 220 Ω, kterými se zvětší proudy a tím též strmost směšovače. Vývody 10 a 12 se mohou propojit jakoukoli impedancí. Jsou-li vývody 10 a 12 galvanicky propojeny nakrátko, smí mít vnější rezistor z tohoto bodu vůči vývodu 14 odpor nejméně 100 Ω. Podle druhu zapojení se může mezi vývody 07 a 08 připojit kondenzátor, který se potlačí případně nežádoucí kmitání směšovače v oblasti kmitočtů VKV.



Obr. 9. Měřicí zapojení symetrického směšovače UL1042N

Tab. 3. Elektrické údaje UL1042N

Mezní údaje	
Napájecí napětí: Vnější rezistor pripojený k vývodům č. 10 a 14: č. 12 a 14:	U <sub>CC</sub> = 4 až 15 V. R <sub>10/14</sub> = 220 Ω, R <sub>12/14</sub> = 220 Ω.
Rozsah pracovních teplot okolo: Rozsah skladovací teploty:	θ <sub>a</sub> = -25 až +70 °C. θ <sub>STG</sub> = -40 až +125 °C.
Charakteristické údaje Platí při U <sub>CC</sub> = 12 V, θ <sub>a</sub> = 25 °C	
Napájecí proud Výstupní proud – vývod 02: Výstupní proud – vývod 03: Výstupní proud rozdílový mezi vývody 02 a 03: Výkonové zesílení, f <sub>11</sub> = 100 MHz, vstupní kmitočet, f <sub>12</sub> = 110,7 MHz, směšovací kmitočet: Vstupní proud klidový: Průrazné napětí mezi výstupy 02 a 03, U <sub>7</sub> = U <sub>8</sub> = 0 V, I <sub>2</sub> = I <sub>3</sub> = 10 μA: Výstupní kapacita: Směšovací strmost, f <sub>MF</sub> = 465 kHz: Šumový činitel:	I <sub>CCQ</sub> = jmen. 2,15; 1,4 až 2,9 mA. I <sub>o2</sub> = jmen. 0,52; 0,36 až 0,68 mA. I <sub>o3</sub> = jmen. 0,52; 0,36 až 0,68 mA. I <sub>o2</sub> -I <sub>o3</sub> = -60 až +60 μA. A <sub>G</sub> = jmen. 16,5; ≥ 14 dB. I <sub>B5</sub> = jmen. 1,1; 0,7 až 1,6 mA. U <sub>(BR)2/3</sub> = 25 V. C <sub>02/3</sub> = jmen. 6 pF. I <sub>O/U</sub> = jmen. 5 mS. F = jmen. 7 dB.

Celkový napájecí proud obvodu  $I_{CC}$ , který zahrnuje součet proudů vývodů  $I_2$ ,  $I_3$  a  $I_5$ , je skutečně malý – při napájecím napětí 12 V je 2,15 mA. Protože výrobce připouští napájecí napětí v širokém rozsahu od 4 V do 15 V, lze zmenšením napájecího napětí v případě potřeby ještě dále zmenšit napájecí proud. Závislost napájecího proudu na napájecím napětí je na obr. 10. Střední hodnota proudu je vyznačena plnou čarou, mezní dovolené proudy čárkovánými čarami.

Závislost průběhu výstupních proudů  $I_2$  a  $I_3$  na napájecím napětí je na obr. 11. Z průběhu je patrné, že se výstupní proudy s napájecím napětím příliš nemění. V doporučeném zapojení při napětí 12 V (s přidavným kolísáním  $\pm 3$  V, jak je tomu často u směšovačů v přijímačích pro dálkové ovládání modelů) je výstupní proud téměř shodný. Podobný průběh má též výkonové zesílení, které se při výše uvedeném kolísání napájecího napětí mění jen velmi málo. Zesílení se zmenší na asi 14 dB při dolním mezním napětí 4 V. Grafická závislost výkonového zesílení na napájecím napětí je na obr. 12.

Integrovaný obvod UL1042N je stoprocentním analogem obvodu SO42P firmy Siemens, od něhož se ani elektricky, ani mechanicky neliší. Proto lze využívat ve všech publikovaných zapojeních s obvodem SO42P bez jakýchkoli úprav obvod polské výroby UL1042N.

Při této příležitosti je třeba připomenout, že firma Siemens vyrábí další stejný obvod, označený SO42E, který je však v kovovém pouzdro s deseti drátovými vývody ve skleněné průchodece 5J10 podle normy DIN 41873 (obdoba pouzdra TO-100). Vnitřní zapojení tohoto obvodu včetně zapojení vývodů je pro úplnost na obr. 13.

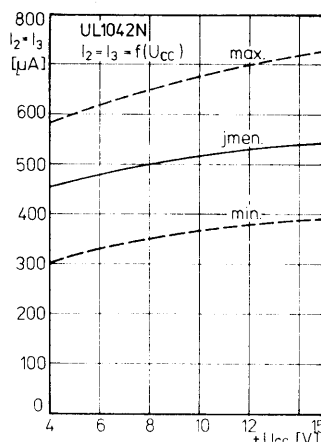
Třetí obdoba popisovaného obvodu firmy Siemens je označena SO42G, je elektricky shodná se základním provedením SO42P, je však určena pro automatické osazování desek s plošnými spoji technologií povrchové montáže. Rozdíl spočívá v provedení pouzdra SO-14, speciálně upraveného pro povrchovou montáž. Zapojení vývodů je shodné s typem SO42P.

#### Doporučená zapojení

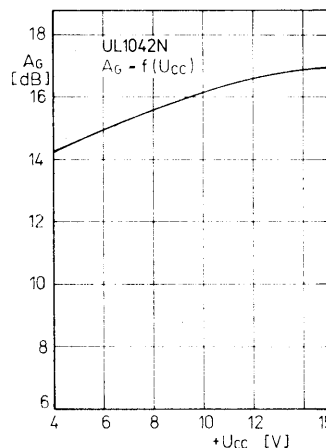
Integrovaný obvod UL1042N může pracovat v zapojení směšovače, modulátoru nebo demodulátoru signálů s kmitočtem až do 200 MHz. Praktický příklad jednoduchého směšovače pro pásmo VKV se vstupním kmitočtem okolo 100 MHz, s laděním změnou induknosti sprážených cívek vstupního a oscilačního obvodu, je na obr. 14. K výstupu 02 je připojena cívka na mf kmitočet 10,7 MHz.

Na obr. 15 je příklad zapojení kmitajícího směšovače pro pásmo dlouhých, středních a krátkých vln. Uvedené počty závitů použitých cívek jsou určeny pro provoz na krátkých vlnách. V tomto zapojení jsou použity k ladění sprážené ladící kondenzátory vstupního a oscilačního obvodu. Na výstupu zapojení je laděny obvod s kmitočtem 460 kHz.

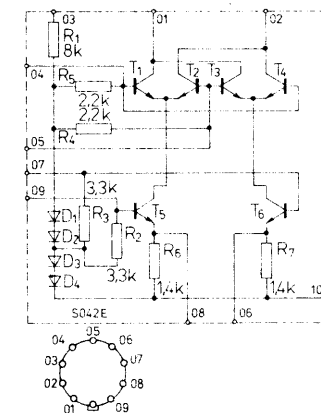
Mezi nejzajímavější a nejpoužívanější zapojení směšovače patří zapojení podle obr. 16, které se používá pro kmitající směšovače v přijímačích pro dálkové ovládání modelů letadel nebo jiných hraček. Vstupní kmitočet směšovače 27,12 MHz je dán přideleným kmitočtem pro řízené modely. Oscilátorová část zapojení je řízena kryštalem s kmitočtem



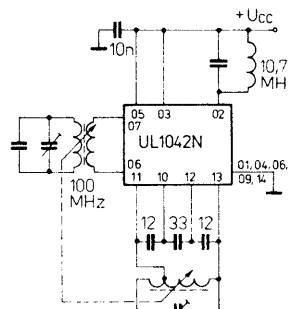
Obr. 11. Průběh výstupních proudů obvodu UL1042N v závislosti na napájecím napětí



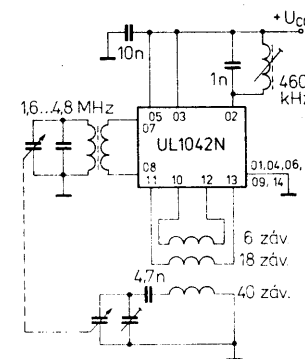
Obr. 12. Závislost výkonového zesílení obvodu UL1042N na napájecím napětí



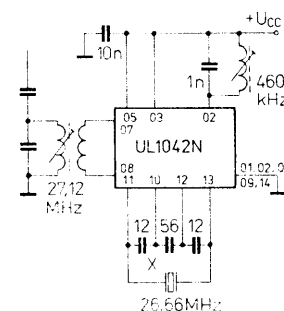
Obr. 13. Vnitřní elektrické zapojení obvodu SO42E



Obr. 14. Zapojení směšovače VKV s obvodem UL1042N



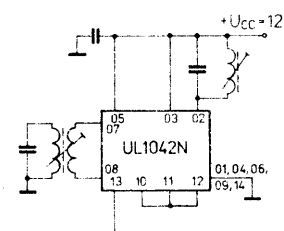
Obr. 15. Kmitající směšovač pro pásmo dlouhých, středních a krátkých vln s obvodem UL1042N; uvedené počty závitů cívek platí pro příjem na krátkých vlnách



Obr. 16. Kmitající směšovač s krystalovým oscilátorem a obvodem UL1042N v přijímačích pro dálkové ovládání modelů

26,66 MHz. Laděný obvod mf stupně má kmitočet 460 kHz. Ve vlastním mf zesilovači se mohou používat místo laděných obvodů LC piezoelektrické mf filtry se stejným kmitočtem. Použije-li se křemenový krystal pracující s harmonickými kmitočty, doporučuje se připojit mezi vývody 10 a 12 cívku vhodné indukčnosti, která zamezí kmitání na základním kmitočtu krystalu oscilátoru.

Základní zapojení diferenčního zesilovače s obvodem UL1042N s vnitřní neutralizací, který je vhodný rovněž jako omezovač, a který pracuje na kmitočtech až do 50 MHz, je navrženo na obr. 17. Zvětší-li



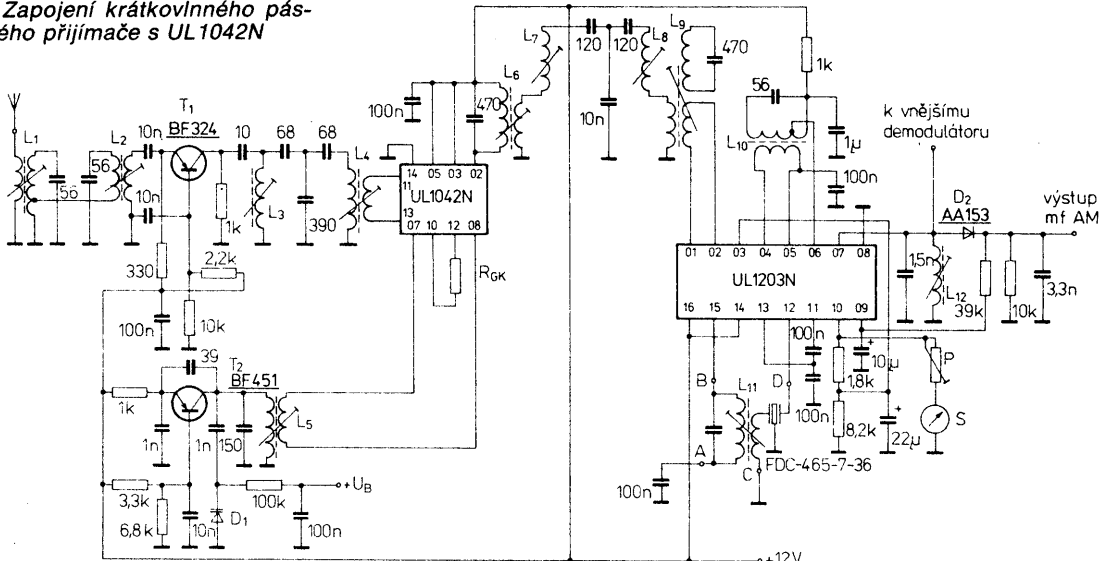
Obr. 17. Návrh základního zapojení diferenčního zesilovače UL1042N

se pracovní proud, může popsaný diferenční zesilovač pracovat ještě na kmitočtech vyšších než 100 MHz.

Integrovaný obvod UL1042N může v zapojení vykonávat funkci směšovače, modulátoru nebo detektoru signálů s kmitočtem až do 200 MHz. Praktické zapojení pásmového přijímače pro příjem krátkých vln s dvojím směšováním, v němž obvod UL1042N pracuje jako symetrický součinnový směšovač s odděleným oscilátorem, je na obr. 18. Navržený vstupní obvod krátkovlnného přijímače má velmi dobrou citlivost, selektivitu, odolnost vůči křížové modulaci a zrcadlovým signálům.

Ve vysokofrekvenčním zesilovacím

Obr. 18. Zapojení krátkovlnného pásmového přijímače s UL1042N



stupni je použit tranzistor  $T_1$ , který pracuje v zapojení se společnou bází s dvoubvodovými vstupními a výstupními filtry. Navržené řešení zajišťuje jednak stabilní pracovní bod tranzistoru  $T_1$ , bez ohledu na provozní kmitočet přijímaného signálu, jednak přispívá k velké selektivitě v frekvenci zesilovače. Po vf predzesilovacím stupni se nevyžaduje velké zesílení (postačuje asi 10 dB). Dosažené zesílení kompenzuje ztrátu ve filtrech a zlepšuje poměr signál k šumu. Dalším stupnem je směšovač s integrovaným obvodem UL1042N, který pracuje s odděleným směšovačem osazeným tranzistorem  $T_2$ .

Použité tranzistory  $T_1$  a  $T_2$  jsou vodivostní p-n-p (např. BF324, BF451 apod.), jejich výběr není kritický. Místo nich se mohou použít též jiné rovnocenné vf tranzistory p-n-p jako BF197 apod. Rovněž se mohou použít tranzistory s vodivostí n-p-n, ty však vyžadují úpravu napájecího napětí.

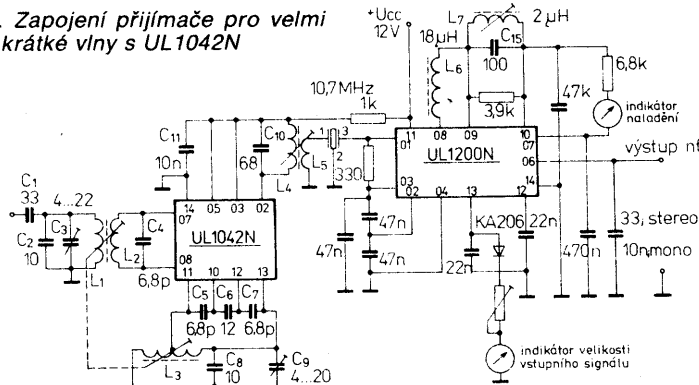
Signál z vf zesilovače se přivádí na symetrický vstup 2 směšovače UL1042N (na dolní část obvodu). Signál z oscilátoru se přivádí na vstup 1 směšovače. Dolní část obvodu je linearizována odporem  $R_{GK}$ . K vývodu obvodu je připojená několikaobvodová pásmová propust s kmitočtem první mezifrekvence. Druhý směšovač a zesilovač druhého mf kmitočtu je osazen integrovaným obvodem UL1203N.

V popsaném zapojení přijímače není zavedena automatická regulace zesílení přímo ve vstupním stupni (zesilovač vf a první směšovač). Úplná regulace zesílení ARZ je až u integrovaného obvodu UL1203N. Celkové zapojení a dynamika ARZ tohoto obvodu (nebo jeho analogonu A244D, TCA440) postačuje k zajištění dobré funkce přijímače.

Hlavní důvod, proč se ve vf zesilovači nepoužilo řízené zesílení, je následující: Jakmile se do přijímaného pásmá dostane silný signál, smí se s ostatními přijímanými signály a ve vf zesilovači slabý přijímaný signál zanikne v šumu. Jestliže se ARZ nepoužije nebo zavede-li se ARZ, avšak smíšený signál bude mimo přenášené pásmo zesilovače mf kmitočtu, budou přebuzeny až následující stupně (např. směšovače křížovou modulací). Z uvedených důvodů se proto v prvním stupni nepoužilo ARZ a tím se zajistila jeho lineární funkce i při velkém vstupním signálu.

Vysokofrekvenční zesilovač s tranzistorem  $T_1$  má malé zesílení, avšak velkou selektivitu. Směšovač je navržen pro lineární funkci při velkých vstupních signálech. Integrovaný obvod UL1203N, jehož pomocí se realizuje ARZ, je velmi odolný

Obr. 19. Zapojení přijímače pro velmi krátké vlny s UL1042N



vůči velkým vstupním napětím. Jeho použití má ještě další přednost. Dioda  $D_2$  může demodulovat signály s modulací AM a současně umožňuje odběr signálu ještě před detektorem z vývodu 07 obvodu UL1203N pro použití ve vnějším demodulátoru signálů modulovaných SSB, NBFM, nebo signálů CW. Jako filtr druhého mezifrekvenčního kmitočtu slouží pásmová propust a keramický filtr s kmitočtem 465 kHz.

Na obr. 19 je zapojení přijímače pro příjem velmi krátkých vln s kmitočtovou modulací, v němž integrovaný obvod UL1042N pracuje jako symetrický kmitající směšovač, laděný změnou indukčnosti. Vstupní vf signál se přivádí přes vstupní laděné obvody na symetrický vstup horní části obvodu. Při velkém vstupním signálu může horní část obvodu plnit funkci prvního omezovacího stupně.

Dolní část systému obvodu UL1042N pracuje jako symetrický generátor s kapacitním dodlážováním. Ačkoli se na vstupu přijímače použil kmitající směšovač, signál z oscilátoru proniká do přijímací antény pouze nepatrnně.

Výstupní signál ze směšovače se odeberá nesymetricky z vývodu 02. Laděný obvod tvoří cívky  $L_4$ ,  $L_5$  a kondenzátor  $C_{10}$ . Laděný obvod přizpůsobuje keramický filtr k výstupu směšovače a tlumi signály s kmitočty mimo filtr propuštěné pásmo. Mezifrekvenční signál se zesiluje a omezuje v obvodu UL1200N, který obsahuje koincidenční demodulátor s obvodem pro posuv fáze (tvoří jej součástky  $L_6$ ,  $C_{15}$ ).

Popsaný přijímač se může dále doplnit o vysokofrekvenční predzesilovač, kterým se zvětší citlivost. Zesílení přijímače (bez přidavného vf predzesilovače) je asi 10  $\mu$ V/20 dB. Údaje použitých cívek:  $L_1$  – 4

závity,  $L_2$  = 1 závit,  $L_3$  = 2 + 2 závity,  $L_4$  – 22 závity,  $L_5$  – 3 závity drátu CuL.

Popsané příklady zapojení nevyčerpávají možnosti využití integrovaných obvodů UL1042N v oboru přijímačů. K dosažení větší strmosti je zapotřebí oscilační napětí asi 0,5 V. Vyžaduje-li se větší zesílení, musí se přizpůsobit integrovaný obvod jak na straně vstupu, tak výstupu. Při vysokých kmitočtech je přizpůsobení vstupu dostačující, což způsobuje velká vstupní kapacita obvodu (kapacitní reaktance je mnohem menší než je vstupní odpor obvodu).

S obvodem UL1042N lze konstruovat rovněž velmi stabilní laditelné generátory pro přijímače/zesilovače. Veľká stability zapojení lze dosáhnout dvěma způsoby:

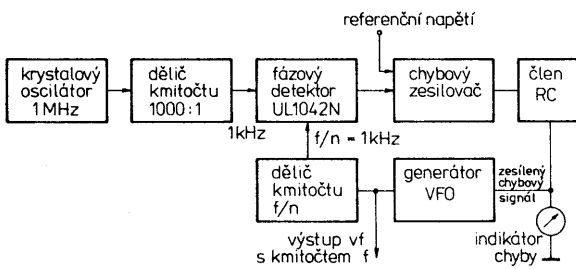
- směšováním signálu z krystalem řízeného generátoru se signálem z laděného generátoru, který pracuje převážně s nižším kmitočtem,

– použitím smyčky PLL.

Použití vyváženého směšovače v generátořích se směšováním dvou signálů usnadňuje volbu žádaného kmitočtu.

Generátor PLL se skládá z krystalem řízeného generátoru s konstantním kmitočtem, z generátoru s laditelným kmitočtem (VFO), děliče kmitočtu, fázového detektoru a chybějícího zesilovače. Funkční skupinové zapojení generátoru se smyčkou PLL, který umožňuje získat velmi stabilní zdroj s kmitočtem laděným v rastrovi po 1 kHz, je na obr. 20.

V amatérských budičích SSB obvod UL1042N zjednoduší konstrukci a do-



Obr. 20. Funkční skupinové zapojení generátoru se smyčkou PLL

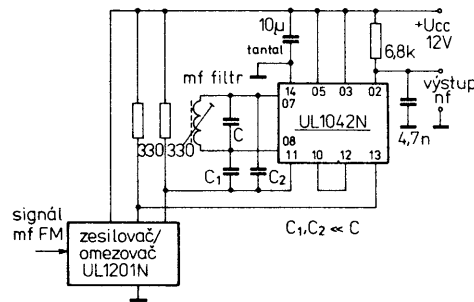
voluje získat dobré vlastnosti. Díky linearizaci dolní části obvodu lze dosáhnout malého zkreslení modulace a navíc není potřebný velký rozkmit modulačního signálu, což dále zjednoduší konstrukci zařízení.

Dosáhnout útlumu nosné asi 50 dB nečiní velký problém. Závisí hlavně na navinutí symetrických transformátorů a vhodném výběru diod kruhového modulátoru. Podobné problémy spojené s demodulací přijímaného signálu řeší použití integrovaného využávacího směšovače.

Na obr. 21 je zapojení synchronizovaného demodulátoru amplitudově modulovaných signálů. Na obvod UL1042N se přivádí dva signály. Na vstup dolní části obvodu, která pracuje v lineárním provozu, se přivádějí signály s modulací AM, signál bez modulace s kmitočtem rovným kmitočtu nosné se přivádí na horní část obvodu. Horní část obvodu (tranzistory  $T_1$  až  $T_4$ ) pracuje jako synchronizovaný přepínač, způsobující obrácení fáze signálu přicházejícího na dolní část obvodu. Řádná činnost demodulátoru ještě vyžaduje upravit velikost vstupního signálu nebo zesílení dolní části obvodu tak, aby nebyl signál prebenut.

Signál přiváděný na vstup horní části obvodu je vytvořen ze signálu s modulací několikanásobným zesílením a omezením v přídavném zesilovači s integrovaným obvodem např. typu UL1201N. Demodulační zkreslení je v uvedeném obvodu menší než v tradičním diodovém detektoru. Demodulovaný signál může být menší, navíc požadovaného zkreslení se dosáhne při menším zesílení mezifrekvenčního stupně. Popsané zapojení může rovněž plnit funkci demodulátoru signálu s modulací SSB nebo CW. Při příjmu signálu CW se musí navíc přivést na horní část obvodu signál z pomocného generátoru (záznějového oscilátoru).

Integrovaný obvod UL1042N může sloužit i ke konstrukci demodulátoru kmitočtově modulovaných signálů. Zapojení demodulátoru je na obr. 22 (koincidenční



Obr. 22. Zapojení koincidenčního demodulátoru signálu FM

s keramickým filtrem 10,7 MHz, FM detektor se skveřicí a nf zesilovač. Celý příjem lze sestavít na třech deskách s plošnými spoji.

Vysokofrekvenční předesilovací stupeň s tranzistorem BF960 se vyznačuje velkým zesílením (18 až 20 dB) a malým šumem (okolo 2 dB). Regulaci emitorového napětí tranzistoru se může řídit zesílení stupně. Tři laděné obvody v předesilovacím stupni zajišťují dobrou selektivitu.

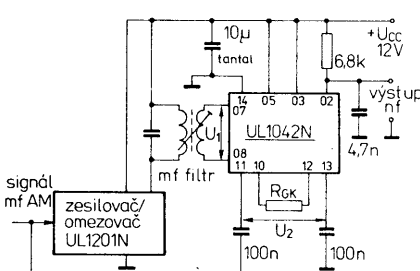
Směšovací stupeň je osazen integrovaným obvodem UL1042N, který ve spojení s předešlým předesilovacím stupněm s BF960 tvorí vstupní zapojení s velmi dobrými vlastnostmi. Signál z vf stupně se přivádí na vývody 07 a 08, signál z místního oscilátoru na vývody 11 a 13 obvodu UL1042N. Mezifrekvenční signál se odebírá na vývodech 02 a 03 tohoto obvodu.

Místní oscilátor pracuje s germaniovým mesa tranzistorem p-n-p AF239 (popř. sovětským tranzistorem GT346A). Od jeho stability závisí stabilita celého vstupního dílu přijímače. Oscilátor se ladí změnou napětí na varikapu BB105G nebo KB105G TESLA. Oscilátor musí kmitat o 10,7 MHz níže než je kmitočet přijímaného signálu.

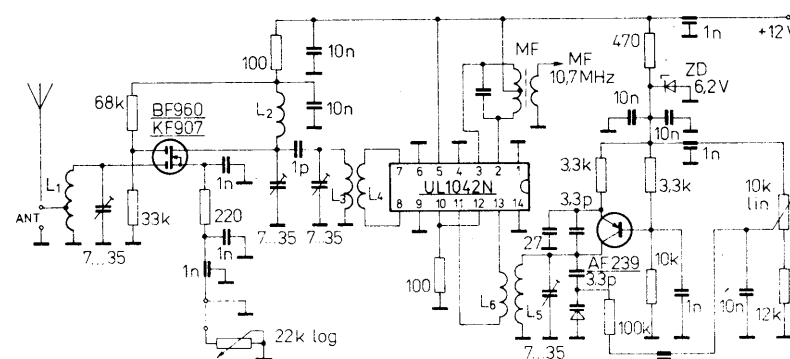
Mezifrekvenční transformátor může být jakéhokoli vhodného a kvalitního typu. Za pozornost stojí miniaturní transformátory z různých výrazených japonských přenosných rozhlasových přijímačů. Mf signál se odebírá z jeho sekundárního vinutí.

Celý vstupní díl je sestaven na desce s plošnými spoji, jejichž výkres je na obr. 24a. Montážní výkres rozmištění jednotlivých součástek na desce s plošnými spoji je na obr. 24b. Údaje použitých cívek jsou uvedeny v tab. 4.

Uvádění vstupního dílu do chodu je celkem jednoduché. Cívky  $L_1$  až  $L_6$ , navinuté podle údajů v tabulce, upevněme na desku s plošnými spoji. Jednotlivá funkční seskupení součástek oddělíme stínicemi přepázkami a celek vložíme do krytu z cinovaného plechu. Cívky  $L_1$ ,  $L_2$  a  $L_3$  nalaďme pomocí absorpčního vlnoměru



Obr. 21. Zapojení synchronizovaného detektora signálu AM



Obr. 23. Zapojení vstupního dílu přijímače FM signálů v pásmu 2 m s obvodem UL1042N

Tab. 4. Údaje cívek vstupního ladícího dílu přijímače pro pásmo 144 MHz podle obr. 23

Cívka	Popis
L <sub>1</sub>	4 z drátu CuAg o průměru 1 mm na tělisku s průměrem 5 mm; odbočka cívky je na 1,5. závitu směrem od „studeného“ konce cívky
L <sub>2</sub> , L <sub>3</sub> , L <sub>5</sub>	4 z drátu CuAg nebo CuL o průměru 1 mm na tělisku s průměrem 5 mm
L <sub>4</sub>	1 z (smyčka) drátu CuPVC o průměru 0,6 mm, navinutý přes cívku L <sub>3</sub>
L <sub>6</sub>	1 z drátu CuPVC o průměru 0,6 mm, navinutý přes L <sub>5</sub> (smyčka)

na kmitočet 145 MHz, stejně jako cívku L<sub>5</sub>. Práci usnadní číslicový měřič kmitočtu, pokud je k dispozici. Kapacitním trimrem (může být fóliový) snížíme kmitočet oscilačního obvodu o 10,7 MHz vůči kmitočtu přijímaného signálu. Ladění znova opakujeme na prvním kanálu, tj. okolo 145,200 MHz a na převaděčovém kanálu 145,850 MHz. Oscilátor pak doladíme nejdříve na kmitočet 134,500 MHz, pak na 135,150 MHz.

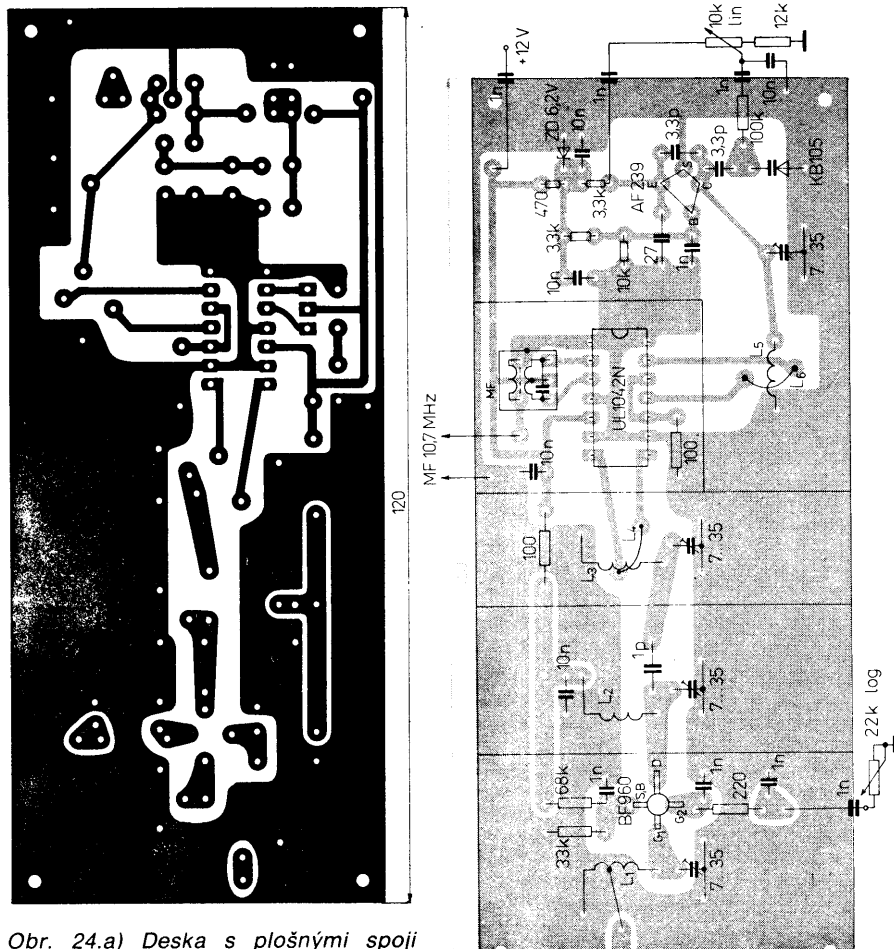
Chceme-li přijímat signály v celém kmitočtovém rozsahu 145 až 146 MHz, musí se oscilátor přelaďovat v rozsahu od 134,3 do 135,3 MHz. V tomto případě se musí zvětšit kapacita kondenzátoru 3,3 pF, sériově spojeného s varikapem, nebo se musí experimentálně upravit odporový dělič napětí 100 kΩ a 12 kΩ, pokud nevyhovuje uvedený kmitočtový rozsah oscilátoru. Doporučuje se používat jen fóliové kondenzátorové trimry, které jsou nejkvalitnější. S keramickými trimry se nedosáhlo dobrých výsledků.

Jakmile je vstupní díl zhruba naladěn, propojíme desku s plošnými spoji s mezi-frekvenčním zesilovačem s kmitočtem 10,7 MHz vhodné konstrukce (pokud možno s krystalovým filtrem). Vstupní díl je nejlépe naladit na kmitočet převaděče, potenciometrem 10 kΩ se doladí jeho přesný kmitočet a otáčením jádra v cívce mf transformátoru vyládime maximální výchylku S-metru. Otáčením trimrů, paralelně připojených ke krystalovému filtru, zmenšíme výchylku S-metru na minimum. Nakonec doladíme vstupní cívky na vnější výchylku S-metru. Tím je ladění přijímače dokončeno.

Při pečlivé montáži pracuje přijímač na první zapnutí. Při ladění oscilátoru se musí pracovat pečlivě a sledovat jeho kmitočet. Oscilátor nesmí kmitat na kmitočtu vyšším o 10,7 MHz, než má přijímaný signál. Pokud by se tak vlivem různých montážních úprav stalo, musí se upravit vhodným způsobem dělicí poměr potenciometru 10 kΩ. Místo tranzistoru BF960 se může použít též tranzistor BF961, BF900 nebo jiný polem řízený dvoubázový tranzistor MOS s obdobnými vlastnostmi.

Na obr. 25 je zajímavé zapojení konvertoru VLF s obvodem UL1042N pro příjem radiových signálů v pásmu velmi dlouhých vln s kmitočty nižšími než 148,5 kHz (jsou označovány VLF – anglická zkratka názvu Very Low Frequencies). Na vstupu přijímače je použit polem řízený tranzistor T<sub>1</sub> typu BF256, který pracuje jako aperiodický zesilovač. K jeho výstupu je připojena nízkofrekvenční pásmová propust s mezním kmitočtem 190 kHz. Napěťové zesílení prvního zesilovacího stupně je asi 5.

Za pásmovou propustí následuje zesilovací stupeň s druhým polem řízeným tranzistorem T<sub>2</sub>, BF256, který vytváří na výstupu dva signály v protifázi, jež se přes kondenzátory C<sub>7</sub> a C<sub>8</sub> přivádějí na vstupy integrovaného obvodu UL1042N. Rezistor R<sub>6</sub> zajišťuje galvanickou vazbu mezi



Obr. 24.a) Deska s plošnými spoji vstupního dílu přijímače signálů FM v pásmu 2 m podle obr. 23,b) rozmístění součástek na desce s plošnými spoji podle obr. 24a (deska W211)

vstupy integrovaného obvodu, který pracuje jako kmitající směšovač s krystalem řízeným oscilátorem. Řídicí krystal s kmitočtem 10 MHz je připojen mezi vývody 11 a 13 integrovaného obvodu, paralelně k němu je připojen doladovací kondenzátor s kapacitou 6 až 60 pF, jímž se může jemně doladit kmitočet oscilátoru, daný krystalem.

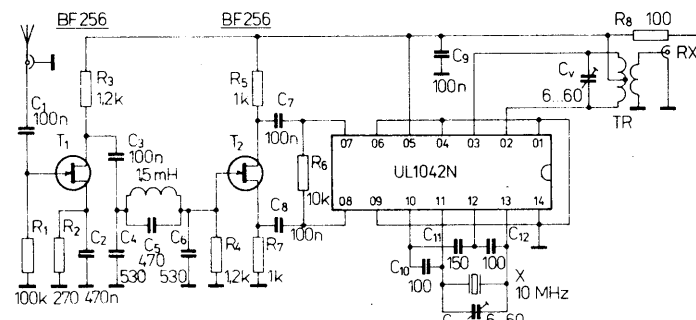
K výstupu integrovaného obvodu je připojen vf transformátor, kterým se přenáší výstupní signál konvertoru k kmitočtu 10 MHz na vstup komunikačního přijímače. Transformátor je navinut na toroidním jádru s vnitřním průměrem 8 mm, vnějším průměrem 26 mm. Primární vinutí má 18 závitů drátu CuL o průměru 0,25 mm, sekundární 10 závitů drátu CuL

o průměru 0,2 mm. Paralelně k primárnímu vinutí je připojen dolaďovací kondenzátor C<sub>2</sub> s kapacitou 6 až 60 pF. Slouží k nastavení největšího výstupního napětí. Otáčením trimru nastavujeme výstupní napětí na maximální výchylku S-metru připojeného komunikačního přijímače.

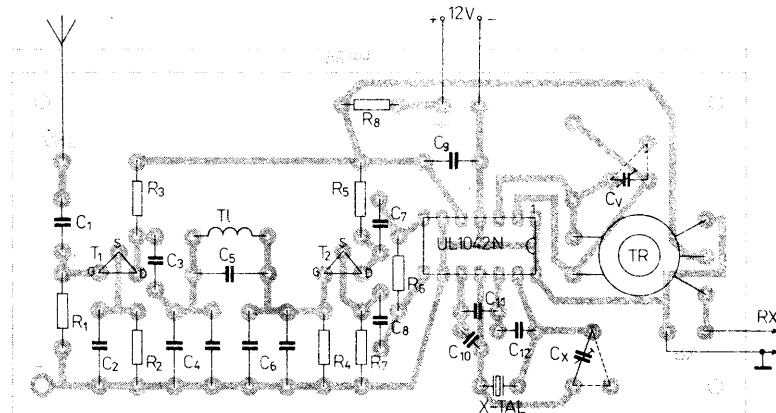
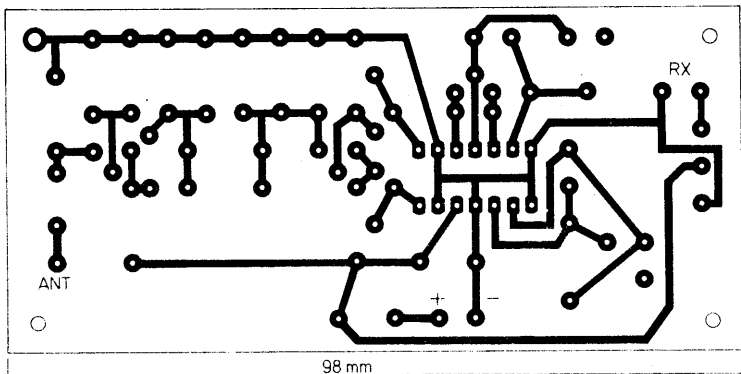
Konvertor VLF se napájí napětím 12 V, při němž odebírá ze zdroje napájecí proud 8,8 mA, nebo napětím 9 V, kdy je odběr proudu 7,8 mA.

Celá konstrukce konvertoru VLF je velmi zajímavá jak z hlediska technického, tak provozního. Proto k praktickým zkouškám poslouží deska s plošnými spoji podle obr. 26a. Montážní výkres rozmístění použitých součástek na desce s plošnými spoji je na obr. 26b.

C<sub>4</sub> až C<sub>8</sub>, C<sub>10</sub> až C<sub>12</sub> — styroflexové, C<sub>4</sub> až C<sub>6</sub> složeny z 470 pF a 56 pF



Obr. 25. Zapojení konvertoru VLF s obvodem UL1042N pro příjem signálů v pásmu velmi nízkých kmitočtů



Obr. 26. a) Deska s plošnými spoji konverzoru VLF s obvodem UL1042N podle obr. 25, b) rozmístění součástek na desce s plošnými spoji podle obr. 25a (deska W212)

### Integrovaný přijímač AM/FM s nízkofrekvenčním zesilovačem, A283D

Integrovaný obvod A283D z výroby podniku VEB Halbleiterwerk Frankfurt/O v NDR obsahuje mimo vstupní jednotku pro příjem kmitočtově modulovaných signálů v pásmu VKV všechny funkční skupiny rozhlasového přijímače pro příjem signálů AM a FM. Funkční zapojení obvodu je na obr. 27. Obvod sdržuje směšovač-oscilátor signálů AM, mezifrekvenční zesilovač AM, demodulátor AM, mezifrekvenční zesilovač FM, demodulátor FM a úplný nízkofrekvenční zesilovač s výstupním výkonem asi 320 mW. Diodový stabilizátor integrovaný na čipu zajišťuje spolehlivou funkci obvodu v širokém rozsahu napájecího napětí od 3 V do 12 V, popř. při proudovém napájení proudem okolo 42 mA.

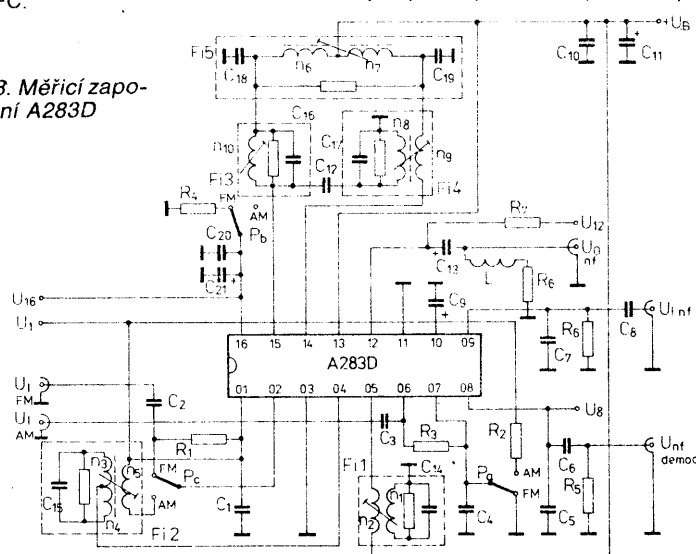
Přijímač konstruovaný s obvodem A283D se vyznačuje dobrou citlivostí při příjmu signálů AM, bodem nasazení omezování signálů FM při vstupním napětí okolo 56 µV. Integrovaný obvod je vybaven vývodem AFC, z něhož lze odebrat napětí pro řízení vstupní jednotky VKV. Přepínání provozu AM/FM zaručuje stabilní funkci a nezpůsobuje žádné rušivé vysokofrekvenční napětí.

Další, celkem nezvyklou předností konstrukce integrovaného obvodu, je možnost proudového napájení, obdobně jako tomu u obvodů tzv. injekční logiky. Při proudovém napájení snáší provozní napětí až 13 V. Toto napětí vyrovňává na

přípustnou velikost vestavěný diodový stabilizátor.

Integrovaný obvod A283D je v plastovém pouzdru DIL-16 s  $2 \times$  osmi vývodech ve dvou řadách typu 21.1.1.2.16 podle normy TGL 26 713. Funkce vývodů: 01 – vyvázání mezifrekvence AM/FM, 02 – vstup mezifrekvenční, 03 – zemnicí bod vysokofrekvenční, 04 – výstup směšovače AM, 05 – přípoj vnějšího oscilačního obvodu AM, 06 – vstup AM, 07 – vyvázání vstupního stupně a směšovače AM, 08 – výstup demodulátoru, 09 – vstup nízkofrekvenční, 10 – zpětná vazba nf, 11 – zemnicí bod nízkofrekvenční, 12 – výstup nf (připoj pracovního zatěžovacího obvodu), 13 – přípoj kladného napájecího napěti  $+U_{CC}$ , 14, 15 – přípoj vnějšího laděného obvodu demodulátoru, 16 – výstup napěti AGC/AFC.

Obr. 28. Měřicí zapojení A283D



Obr. 27. Funkční skupinové zapojení A283D

Mezní a charakteristické údaje obvodu A283D jsou v tab. 5. Platí při zapojení součástky v zapojení podle obr. 28, které uvádí výrobce jako předepsané měřicí zapojení. Toto zapojení se může modifikovat rovněž jako doporučené provozní zapojení. Údaje cívek použitých v měřicím zapojení jsou v tab. 6. Jakost laděných obvodů  $Q_0$  se nastaví v hotovém přístroji připojením paralelního rezistoru potřebného odporu k laděnému obvodu.

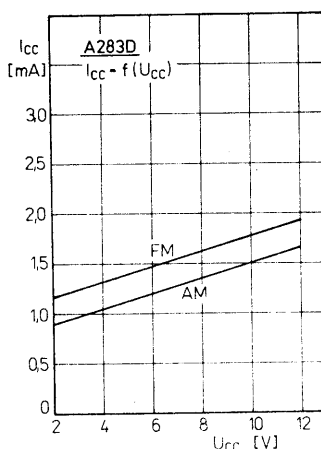
Integrovaný obvod A283D je vhodný pro použití v malých a levných rozhlasových přijímačích kabelkového typu, kde odevzdává poměrně velký výkon při malé spotřebě napájecího proudu. Z obr. 29 je patrný skutečně velmi malý klidový napájecí proud při příjmu signálů AM a FM. S napájecím napětím se klidový proud mění jen nepatrně. Závislost na obr. 30 ukazuje změnu výstupního napětí na výstupu AFC (vývod 16) při rozladení mf kmitočtu 10,7 MHz o  $\pm 0,3$  MHz a konstantním vstupním napětí 1 mV.

Napáťové zesílení napravidlo nf zesilovače na závislosti na přenášeném kmitočtu je na obr. 31. Z průběhu je patrné velké konstantní zesílení 40 dB v rozsahu kmitočtu 1000 až 12 000 Hz, při nižších a vyšších kmitočtech se zesílení prudce zmenší až na 37 dB. Uvedená závislost platí při typických pracovních podmínkách při napájecím napětí 5,5 V, zatěžovacím odporu  $8 \Omega$  a výstupním výkonu 300 mW. Dovolený pracovní rozsah obvodu A283D je na obr. 32. Z diagramu lze stanovit vhodné napájecí napětí v závislosti na použitém zatěžovacím odporu při teplotě okolo  $+25^\circ\text{C}$ . Závislost spotřeby napájecího proudu celého přijímače na výstupním výkonu ve třech typických pracovních podmínkách je na obr. 33. Největší napájecí proud (asi 100 mA) odebírá přístroj při

Tab. 5. Elektrické údaje A283D

Mezní údaje	
Napájecí napětí: $U_B = 3^1$ až $12^2$ V.	$I_B = 50^4$ mA.
Napájecí proud: $\theta_a = -10$ až $+55$ °C: $I_B \leq 39$ mA.	$\theta_a = +70$ °C: $I_B \leq 400$ mA.
Výstupní proud vrcholový: Ztrátový výkon celkový: $\theta_a = +70$ °C: Rozsah provozních teplot:	$P_{tot} \leq 600$ mW. $\theta_a = -10$ až $+70$ °C.
Charakteristické údaje	
Statické údaje. (Platí při $\theta_a = 25$ °C — 5 K.)	
Celkový napájecí proud, $U_B = 5,5$ V, při FM: Napájecí napětí při proudovém napájení, $I_B = 42$ mA ± 0,42 mA, při FM: Střední napětí zesilovače NF, $U_B = 3$ V, při AM: $U_B = 3$ V, při FM: $I_B = 42$ mA, při AM: $I_B = 42$ mA, při FM: Stejnosměrné napětí na výstupu AGC/AFC, $U_B = 3$ V, při AM: $U_B = 3$ V, při FM: $I_B = 42$ mA, při AM: $I_B = 42$ mA, při FM:	$I_B =$ jmen. 12,4; ≤ 20 mA. $U_B =$ jmen. 12,3; ≤ 14,3 V. $U_{12} \leq 1,16$ V, $U_{12} \leq 1,16$ V, $U_{12} \leq 6,8$ V, $U_{12} \leq 6,8$ V. $U_{16} \leq 1,56$ V, $U_{16} \leq 2,21$ V, $U_{16} \leq 1,55$ V, $U_{16} \leq 2,49$ V.
Dynamické údaje	
Zesilovač AM: $f_{AM} = 1$ MHz ± 1 kHz, $f_{MF} = 455$ kHz ± 5 kHz, $f_{NF} = 1$ kHz ± 30 Hz, mod. = 0,3, při AM	$U_{NF} =$ jmen. 56; ≥ 30 mV, $U_{NF} =$ jmen. 128; ≤ 200 mV. (S+N)/N = jmen. 19,5; ≥ 16 dB. $k_{NF} =$ jmen. 1,4; ≤ 6 %.
Nízkofrekvenční napětí na výstupu demodulátoru, $U_{1AM} = 20 \mu$ V ± 4 $\mu$ V; $U_{1AM} = 100$ mV ± 20 mV: Odstup signálu k šumu na výstupu demodulátoru, $U_{1AM} = 20 \mu$ V ± 4 $\mu$ V: Zkreslení na výstupu demodulátoru, $U_{1AM} = 100$ mV ± 20 mV:	$U_{1AM} = 10,7$ MHz ± 103,5 kHz, $f_{NF} = 1$ kHz ± 30 Hz, $f = \pm 22,5$ kHz ± 675 Hz, při FM
Nízkofrekvenční napětí na výstupu demodulátoru, $U_{1FM} = 1$ mV ± 0,2 mV: Zkreslení na výstupu demodulátoru, $U_{1FM} = 1$ mV ± 0,2 mV: Potlačení AM, $U_{1FM} = 1$ mV ± 0,2 mV, mod. = 0,3 Vstupní napětí pro nasazení omezování:	$U_{NF} =$ jmen. 99; ≥ 65 mV. $k_{NF} =$ jmen. 0,24; ≤ 1,5 %. $a_{AM} =$ jmen. 49; ≤ 32 dB. $U_{IT} =$ jmen. 56; ≤ 120 $\mu$ V.

malém napájecím napětí 5,5 V. Se zvětšením napětí na 12 V se spotřeba proudu zmenší asi na polovinu, ovšem musí se

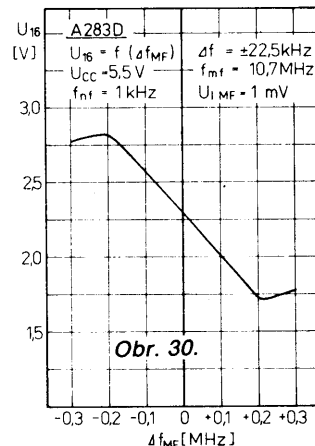


Obr. 29. Závislost klidové spotřeby napájecího proudu obvodu A283D v závislosti na napájecím napětí při příjmu signálů FM a AM

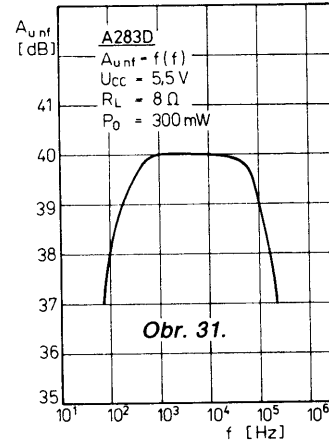
Zesilovač NF: $f_{NF} = 1$ kHz ± 30 Hz, $R_L = 8 \Omega$ , při FM	$P_O =$ jmen. 322; ≥ 300 mW.
Výstupní výkon, $k = 10\% \pm 2\%$ :	$P_O =$ jmen. 322; ≥ 300 mW.
Vstupní napětí, $U_0 = 1,55$ V ± 0,23 V:	$U_{IT} =$ jmen. 17,5; ≤ 30 mV.
Napěťový zisk naprázdně:	$A_{uo} =$ jmen. 40 dB.
Vstupní odpor:	$R_i =$ jmen. 350 kΩ.

- 1) Při menším napětí není zaručena funkce obvodu.
- 2) Při napájení z napěťového zdroje.
- 3) Při použití integrovaného stabilizačního zapojení.
- 4) Při napájení z proudového zdroje.
- 5) Veličina  $U_{IT}$  je takové vstupní napětí, pro které platí

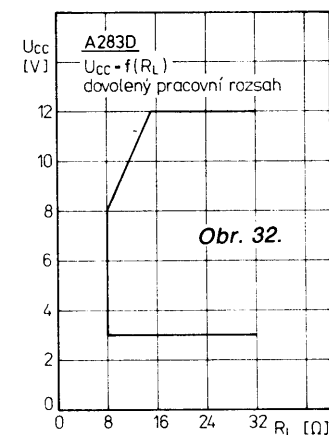
$$\frac{U_{NF}(U_{IT})}{U_{NF}(1 \text{ mV})} = 0,71.$$



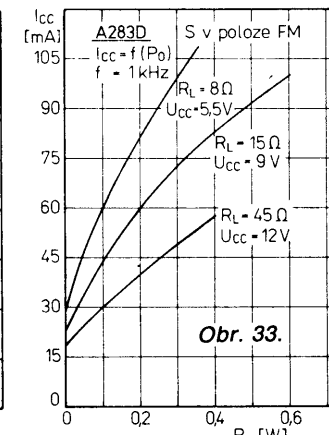
Obr. 30.



Obr. 31.



Obr. 32.



Obr. 33.

použít podstatně větší zatěžovací impedanci k dosažení stejněho výstupního výkonu.

Na obr. 34 je uveden příklad doporučeného zapojení integrovaného obvodu A283D v úplném dvourozsařovém přijímači pro příjem velmi krátkých a středních vln. Ve vstupní části pro příjem VKV je použit na vf předesilovacím stupni tranzistor n-p-n BF314, další tranzistor BF255 pracuje jako kmitající směšovač. Použity mf filtr 10,7 MHz je keramický (např. Stettner SFE 10,7 MA, Componex 10,7MF-18 či jiný vhodný typ). Výstup

Tab. 6. Údaje použitých cívek v měřicím zapojení obvodu A283D podle obr. 28

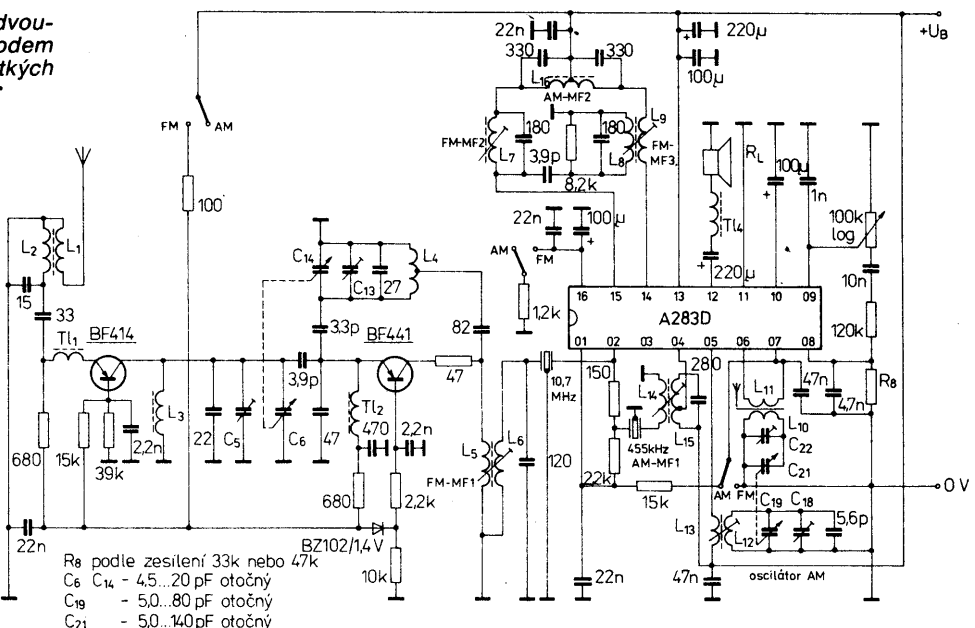
Filtr	$f_0$	$Q_0$	Počet závitů
1	1455 kHz	60	$n_1 : n_2 = 105 : 9$
2	455 kHz	100	$n_3 : n_4 : n_5 = 69 : 126 : 8$
3	10,7 MHz	72,6	
4	10,7 MHz	30	$n_8 : n_9 = 18 : 13$
5	455 kHz	60	$n_6 : n_7 =$ vinuto bifilárně

L = 5 z drátu CuL o Ø 0,35 mm na vzduchové cívce o Ø 3 mm

filtru je přímo připojen ke vstupu mf zesilovače (vývod 02). Údaje cívek přijímače jsou v tab. 7.

Při příjmu stanic v pásmu středních vln se přivádí signál z feritové antény indukční vazbou na pásmovou propust  $L_{10}, L_{11}$ , jejíž vinutí  $L_{11}$  je připojeno přímo ke vstupu AM (vývody 06 a 07). Vinutí  $L_{10}$  tvoří spolu s ladícím kondenzátorem  $C_{21}$  a doladovacím trimrem  $C_{22}$  laděný rezonanční obvod. Oscilační obvod pro pásmo středních vln tvoří cívka  $L_{12}$  s ladícím kondenzátorem  $C_{19}$  (je spřázen s  $C_{21}$ ), doladovacím trimrem  $C_{18}$  a pevným kondenzátorem 5,6 pF. Cívka  $L_{13}$  přenáší oscilační kmitočet na vstup oscilátoru integrovaného obvodu. Mezifrekvenční pásmová propust 455 kHz je dvojitá. Tvoří ji mf transformátor  $L_{14}, L_{15}$ , připojený odbocou asi ve třetině vinutí k výstupu oscilátoru (vývod 04). K výstupu sekundárního vinutí transformátoru je připojen keramický filtr 455 kHz (např. Stettner CFU445H, Componex LBF6 nebo podobný), kterým se

Obr. 34. Návrh zapojení úplného dvou-rozsahového přijímače s obvodem A283D pro příjem velmi krátkých a středních vln



Tab. 7. Údaje cívek použitých v přijímači s A283D podle obr. 34.

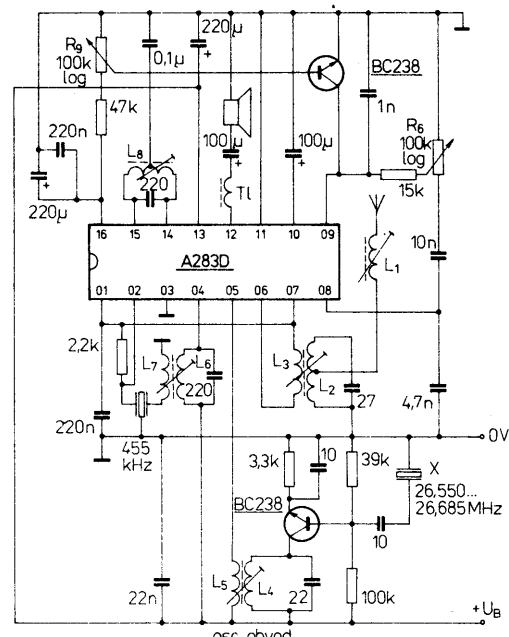
Cívka	Počet závitů	Drát Cu/ø [mm]	Jádro
L <sub>1</sub>	4	0,45	7,5 × 3 mm se závitem
L <sub>2</sub>	5	0,45	
L <sub>3</sub>	5	0,45	vzduchová cívka o ø 3,5 mm
L <sub>4</sub>	3 + 3	0,45	vzduchová cívka o ø 2,7 mm
L <sub>5</sub>	12	0,25	
L <sub>6</sub>	2	0,25	7,5 × 3 mm se závitem
L <sub>7</sub>	7	0,25	pásmový filtr 10,7 MHz
L <sub>8</sub>	7	0,16	pásmový filtr 10,7 MHz
L <sub>9</sub>	5	0,16	
L <sub>10</sub>	96	0,25	feritová anténa
L <sub>11</sub>	6	0,25	ø 8 × 130 mm
L <sub>12</sub>	78	0,09	filtér oscilačního obvodu
L <sub>13</sub>	7	0,09	
L <sub>14</sub>	18	0,09	mf filtr 455 kHz
L <sub>15</sub>	46 + 100	0,09	
L <sub>16</sub>	72 + 72	0,09	mf filtr 455 kHz
Tl <sub>1</sub> , Tl <sub>3</sub>			feritová perlička o ø 2,1 × 3 mm na vývodu tranzistoru
Tl <sub>2</sub>	16	0,25	vzduchová cívka o ø 2 mm
Tl <sub>4</sub>	6	0,15	feritová perlička o ø 2,1 × 3 mm

dosažuje velké selektivity přijímače. Výstup keramického filtru je připojen ke společnému vstupu mf zesilovače (vývod 02).

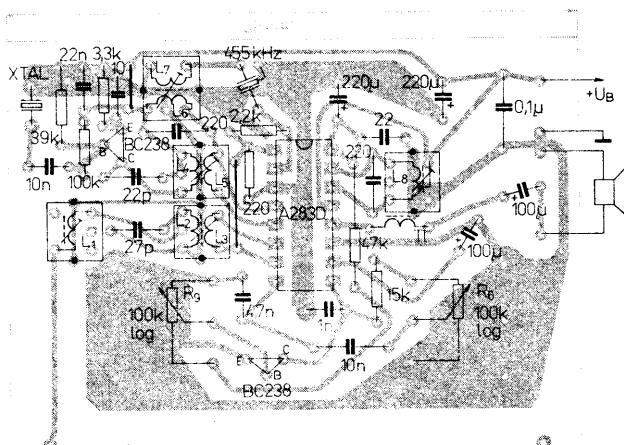
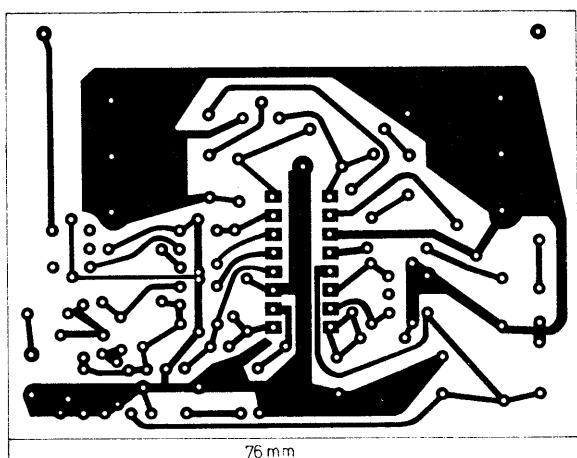
Jiný příklad použití integrovaného přijímače A283D ukazuje zajímavé zapojení úplného přijímače pro poslech stanic v pásmu 27 MHz podle obr. 35. Signál z antény se přivádí přes tlumivku L<sub>1</sub> na odbočku cívky L<sub>2</sub> laděného obvodu, vývody vazební cívky L<sub>3</sub> jsou připojeny na vstup prvního stupně AM a směšovače

Tab. 8. Údaje použitých cívek v přijímači signálů 27 MHz s obvodem A283D podle obr. 35

Cívka	Počet závitů	Drát Cu/ø [mm]	Jádro
L <sub>1</sub>	3	0,25	7,5 × 3 mm se závitem
L <sub>2</sub>	3 + 4	0,25	na společném jádru
L <sub>3</sub>	3	0,25	7,5 × 3 mm se závitem
L <sub>4</sub>	8	0,25	na společném jádru
L <sub>5</sub>	1	0,25	7,5 × 3 mm se závitem
L <sub>6</sub>	154	0,08	mf filtr 455 kHz
L <sub>7</sub>	30	0,08	
L <sub>8</sub>	76 + 76	0,08	mf filtr 455 kHz
Tl	4	0,25	feritová perlička o ø 2,1 × 3 mm



Obr. 35. Návrh zapojení kryštalem řízeného přijímače pro příjem signálů v pásmu 27 MHz s obvodem A283D



Obr. 36. a) Deska s plošnými spoji kryštalem řízeného přijímače pro příjem signálů 27 MHz podle obr. 35, b) rozmištění součástek na desce s plošnými spoji podle obr. 36a (deska W213)

(vývody 06 a 07). Integrovaný obvod pracuje s vnějším, krystalem řízeným oscilátorem, pracujícím na kmitočtu 26,550 až 26,685 MHz, který je osazen křemíkovým tranzistorem n-p-n typu BC238 (nebo TESLA KC238). K výstupu směšovače je přímo připojen vstup prvního mf zesilovače který pracuje se selektivním keramickým filtrem 455 kHz a následným mf transformátorem, tvořeným vazebním vinutím  $L_7$  a laděným obvodem  $L_6$  s kondenzátorem 220 pF.

K výstupu mf zesilovače (vývody 15 a 14) je připojen laděný obvod demodulátoru. Z mf zesilovače se odebírá signál pro obvod potlačení šumu (skvelič). Tento obvod tvoří tranzistor BC238 (KC238), na jehož bázi se přes potenciometr  $R_9$  (100 k $\Omega$ , logaritmický) přivádí signál odebrávaný z mf stupně. Demodulovaný signál z vývodu 08 se kapacitním vazbou přivádí přes regulátor hlasitosti  $R_6$  (100 k $\Omega$ , logaritmický) na vstup nízkofrekvenčního zesilovače. K jeho výstupu je přes tlumivku a elektrolytický kondenzátor připojen reproduktor s impedancí 8  $\Omega$  (proti zemi).

Několik informací k použitým článkům (tab. 8):

$L_1$  – 3 závitů,  $L_2$  – 3 + 4 závity,  $L_3$  – 3 závity,  $L_4$  – 8 závitů,  $L_5$  – 1 závit, navinuto drátem CuL o průměru 0,25 mm, železové šroubovací jádro Neosid 7F1;

$L_6$  – 154 závitů,  $L_7$  – 30 závitů,  $L_8$  – 76 + 76 závitů, navinuto drátem CuL o průměru 0,08 mm na hrnčíkových jádřech Neosid 7A1. Tlumivka TL – 4 závity drátu CuL o průměru 0,25 mm na feritové perličce.

Při použití železových jader z jiných materiálů by se mohlo pravděpodobně počet závitů upravit podle potřeby.

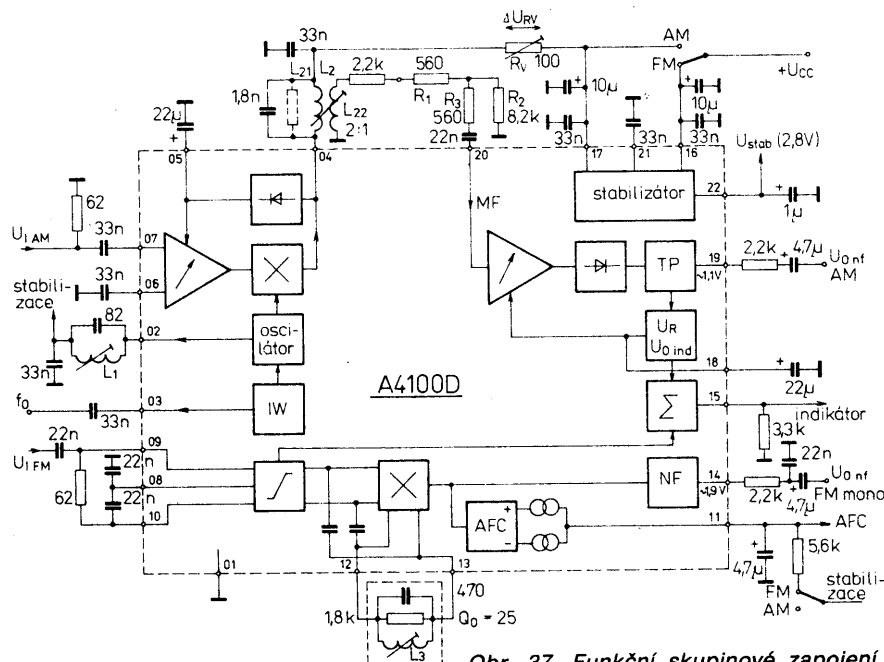
K praktickým zkouškám popsaného přijímače je určena deska s plošnými spoji podle obr. 36a. Montážní výkres rozmístění použitých součástek na desce s plošnými spoji je na obr. 36b.

Integrovaný obvod A283D je celkem zdařilým analogonem obvodu TDA1083 firmy Telefunken, od něhož se v některých elektrických údajích mírně odchyluje. Funkčně je však úplným analogonem. Oba obvody jsou vnějším provedením a zapojením vývodů zaměnitelné.

## Integrovaný obvod pro přijímače AM – FM A4100D

Systém integrovaného obvodu A4100D, jehož výrobcem je VEB Halbleiterwerk, Frankfurt/Oder v NDR, sdružuje úplný přijímač pro příjem rozhlasových vysílačů s modulací AM až do kmitočtu 30 MHz, vybavený vnitřním demodulátorem signálů AM, a zcela odděleným zesilovačem mf signálů FM s koincidenčním demodulátorem, indikátorem pole a výstupním stupněm AFC. Integrovaný obvod je navržen pro použití především v kufříkových a domácích přijímačích tak, že jej lze napájet napětím v širokém rozsahu od 4,5 V do 15 V.

Vše uvedených vlastností se dosáhlo podstatně zlepšenou technologií výroby čipu. Použitím různých úprav v zapojení jako je samočinně řízený vysokofrekvenční předzesilovač, výstup oscilátoru, kapacitními diodami vázaný mezfrekvenční zesilovač signálů AM s demodulátorem a aktivní nízkofrekvenční pásmovou propustí, společný výstup napětí, úměrného intenzitě pole signálů AM a FM a prepínání druhu provozu nabízí výrobce konstruktérům přístrojů součástku, po které dlouho touží. Navíc přijímač AM a mf zesilovač FM sdružený do jedné součástky přináší technické a ekonomické přednosti.



Obr. 37. Funkční skupinové zapojení A4100D

Funkční skupinové zapojení obvodu A4100D je na obr. 37. Celý obvod se aktivuje jednoduchým připojením napájecího napětí k vývodu 16, popříp. 17. Vnitřní oddělené zapojení slouží ke stabilizaci pracovního bodu a tím i dynamických vlastností v celém rozsahu napájecího napětí. Součástka je v plastovém pouzdu DIL-22 s 2x jedenácti vývody ve dvou řadách s rastrem 2,54 mm a odstupem řad 10,16 mm.

Funkce vývodů: 01 – zemnicí bod, 02 – přípoj vnějšího obvodu LC oscilátoru, 03 – výstup čítače, 04 – výstup mf, 05 – vysokofrekvenční regulační časová konstanta, 06, 07 – vstup signálů AM, 08, 09 – mf vstup signálů FM, 10 – přípoj blokovacího kondenzátoru, 11 – výstup AFC, 12, 13 – přípoj vnějšího obvodu LCR pro posuv fáze, 14 – nízkofrekvenční výstup části mf FM, 15 – výstup pro připojení měřicího přístroje, 16 – přípoj kladného napájecího napětí FM, 17 – přípoj kladného napájecího napětí části AM, 18 – přípoj kondenzátoru mf regulační časové konstanty části AM, 19 – nízkofrekvenční výstup části AM, 20 – vstup mf části AM, 21 – přípoj blokovacího kondenzátoru 1  $\mu$ F, 22 – výstup stabilizovaného napětí 2,8 V.

### Provoz přijímače signálů AM

Vstupní signál se zesiluje v symetrickém vysokofrekvenčním zesilovači s malým šumem (diferenciální stupeň) s emitorovým a kolektorovým diodovým řízením s regulačním rozsahem okolo 45 dB (podobně jako je tomu u obvodu A244D). Zesílený signál se přivádí přes integrovanou pásmovou propust 30 MHz (slouží k potlačení rušivých signálů s vyšším kmitočtem, např. silných vysílačů VKV) na čtyřkvadrantový násobič, který pracuje jako směšovač.

Na výstupu směšovače (proudový zdroj) je integrován usměřovač mezfrekvenčního signálu, který zpozděně řídí přes regulační zesilovač vysokofrekvenční předzesilovač. Tím se dosáhlo dobrého poměru signálu k šumu. Změnou rozdílu stejnomsíreného napětí z vývodu 04 na vývod 17 v důsledku úbytku napětí na odporu  $R_V$  lze nastavit bod nasazení regulačního napětí mezfrekvenčního signálu (např.  $\Delta U_{RV} = 25$  mV určuje bod nasazení regulačního napětí na výstupu indikátoru sily pole).

Výstupní signál integrovaného oscilátoru s vnitřním zpětnou vazbou je amplituďovod stabilizován regulačním zapojením, takže k vývodu 02 připojený laděný oscilátor může mít impedanci v poměrně širokém rozsahu. S připojeným laděným obvodem se efektivní napětí oscilátoru omezuje asi na 200 mV. Výsledkem je rovněž omezení rušivého využívání oscilátoru přijímače na minimum. Z oscilátoru se signál vede přes dobu navržený emitorový sledovač s proudem emitoru okolo 110  $\mu$ A; proto je možné odebrávat z oscilátoru signál oscilačního kmitočtu a přivádět jej na další funkční celky (jako je zapojení pro zobrazení kmitočtu, zapojení PLL apod.), aniž by se tím činnost oscilátoru ovlivňovala nežádoucím způsobem.

Mezfrekvenční signál se po příslušné selekcii zesiluje v třístupňovém, kapacitními diodami vázaném mezfrekvenčním zesilovači s vlastnostmi pásmové propusti. Prvním mf tranzistorem se signál regulauje až na úroveň 55 dB. Vazba mezfrekvenčních stupňů s kapacitními diodami dovoluje kvalitně zpracovat signály při minimálních nákladech na vnější součástky. Za mf zesilovačem následuje vnitřní demodulátor obalové křivky signálu s nezkršleným usměřením signálu s vrcholovou hodnotou (emitorový sledovač s nabíjecím kondenzátorem).

K dalšímu vyhlazení demodulovaného mf signálu slouží integrovaná aktivní třístupňová nf dolní propust ve speciálním zapojení (pracuje bez vnějšího kondenzátoru) s celkovým mezním kmitočtem asi 6,5 kHz. Tím je dán dostatečný útlum rušivého využívání mf signálu při malém nf výstupním odporu (asi 270  $\Omega$ ). Stejnosměrné napětí, vznikající při demodulaci, se používá v regulačním zesilovači pro řízení mezfrekvenčního signálu. Časovou konstantu regulačního napětí lze nastavit vnějším kondenzátorem, který se připojí k vývodu 18 (kapacita kondenzátoru asi 22  $\mu$ F). Regulační napětí slouží rovněž jako indikační napětí na výstupu indikátoru sily pole.

## Provoz přijímače signálů FM

Z kanálového voliče odebíraný mezipřekvovenční signál se zesiluje a omezuje v šestistupňovém omezovacím zesilovači se vstupním stupněm s malým šumem. Koincidenční demodulátor demoduluje spolu s vnějším laděným obvodem, zapojeným jako posunovač fáze, kmitočtově modulovaný signál přiváděný na demodulátor přes integrované kapacitní diody. Demodulátor nevyžaduje žádné speciální úpravy ke zmenšení zkreslení průběhu fáze (pracuje jako čistý násobič, podobně jako v obvodu A225D).

Nízkofrekvenční signál pak postupuje přes vf vyhlašovací člen s kapacitními diodami přes obvod „proudového zrcadla“ na nf výstup s výstupním odporem asi  $180\ \Omega$ .

Z demodulátoru řízený dvojčinný proudový výstup s libovolně volitelným kmitočtem napětím působí jako zapojení AFC. Napětí pro indikátor síly pole vzniká v mezipřekvovenčním zesilovači a demodulátoru. Toto napětí se může odebírat na společném výstupu při provozu AM a FM (vývod 15) a používat jak pro indikaci, tak pro případné další zpracování.

Integrací dvou úplných, na sobě funkčně nezávislých funkčních skupin přijímače na společný čip, se podstatně zlepšila hustota součástek celého obvodu A4100D, takže se musel zvolit kompromis mezi velikostí čipu a počtem potřebných vývodů, které obvod vyžaduje z hlediska konstruktéra přijímače. Skutečně dosažené funkce a dobré vlastnosti obvodu představují optimální řešení.

Elektrické údaje integrovaného přijímače A4100D jsou uvedeny ve třech tabulkách (zvlášť mezní údaje a provozní podmínky, zvlášť základní a provozní údaje funkční skupiny pro příjem signálů AM a FM). Údaje platí v měřicím zapojení podle obr. 38. V zapojení jsou použity laděně obvody: F1; Oscilační obvod s kmitočtem  $1,445\text{ MHz}$ ,  $Q_0 = 50$ . F2; MF pásmový filtr  $455\text{ kHz}$ . Odporem  $R_{p2}$  se nastaví rezonanční odpor obvodu naprázdno  $R_{p0} = 11\text{ k}\Omega$  při nezapojeném vinutí  $L_{22}$ . Vinutí  $L_{22}$  se využívá tak, že při zatížení náhradním odporem  $3\text{ k}\Omega$  (rezistor zapojen z vývodu 20 na zem) se dosáhne převodního poměru z vývodu 04 na vývod 20 typicky  $-18\text{ dB}$ .

F3: Obvod pro posuv fáze části přijímače FM; mf kmitočet  $10,7\text{ MHz}$ ,  $Q_0 = 25$ .

Mezipřekvovenční část pro zesilování signálů FM pracuje na kmitočtu  $10,7\text{ MHz}$  se šířkou pásmu  $\pm 75\text{ kHz}$ . Nf výstupní napětí při vstupním signálu  $1\text{ mV}$  je  $450\text{ mV}$ . Zesilovač má velmi dobré vlastnosti při potlačování signálů AM (výrobce udává potlačení průměrně  $63\text{ dB}$ ). Cást AM a FM pracuje s malým zkreslením, které nepřesahuje při střední úrovni modulace 1 %.

Velmi cennou vlastností popsaného obvodu je možnost využít proměnného výstupního napětí na vývodu 15, např. při příjem kmitočtově modulovaných signálů k buzení vhodného indikátoru síly pole (ručkového měřidla, zapojení se světelnými diodami apod.), popříp. se může toto napětí přivádět na pomocný vstup pro referenční napětí stereofonního dekodéru typu A4510D pro řízení šířky báze. Závislost výstupního napětí vývodu 15 na vstupním napětí FM je na obr. 39 a to pro zatěžovací odpor  $3,3\text{ k}\Omega$  a pro výstup naprázdno. Na obr. 40 je další důležitý průběh proudu AFC v závislosti na rozložení mf části  $10,7\text{ MHz}$ .

## Příklady zapojení

Na obr. 41 je typické zapojení integrovaného obvodu A4100D v rozhlasových přijímačích kufříkového a stolního typu. Zapojení části AM má vzhledem k použitému mf filtru asi o  $4\text{ dB}$  menší vysokofrekvenční zesílení než má typické zapojení podle obr. 37. Daný bod nasazení regulače při vstupním napětí  $10\text{ až }15\text{ mV}$  upravuje při použití feritové antény optimální vlastnosti při rušivých signálech z průmyslových zdrojů, aniž by se přitom zhoršil odstup s/š. Připojení běžné feritové antény nečiní žádné problémy. S běžnou feritovou anténou se v pásmu středních vln dosahuje citlivosti  $500\text{ }\mu\text{V/m}$ , což je u přijímače s IO velmi dobrá citlivost. Zapojení oscilátoru se proti jiným návrhám zjednodušilo, neboť využívá cívek bez odboček a vazebních vinutí.

Zapojení kmitočtově modulované části integrovaného obvodu A4100D podle obr. 41 s moderními funkčními skupinami jako je posuv fáze pásmového filtru, vyvážení nesymetrie AFC, monofonní a stereofonní výstup, regulovatelná spinací úroveň stereofonního dekodéru (rezistor  $R_3$ ) dovoluje všeobecně využít této moderní součástky v nejrůznějších typech rozhlasových přijímačů. Spolu s diskrétním mf zesilovačem FM s tranzistorem SF225 se zesílením  $10\text{ až }15\text{ dB}$  se dosáhne celkově dobrého odstupu při dobrých vlastnostech obvodu při potlačování signálů AM.

Jestliže se nepřipojí (nebo odpojí) napájecí napětí na jednu z nepoužívaných částí přijímače (AM nebo FM), bude nf výstupní stupeň ve stavu velké impedance u nepoužívané části. Toto uspořádání dovoluje používat společný vývod jak pro část AM, tak FM přijímače.

Další zapojení obvodu A4100D podle obr. 42 má odlišně navrženou vysokofrekvenční část, dovolující lineární provoz. Rezistorem  $R$  se nastavuje zpětná vazba na konečnou stabilní velikost, vstupní signál se pomocí „oscilačního kmitočtu“  $0\text{ Hz}$  násobí (lineární provoz).

Při zvýšených požadavcích na stabilitu chodu oscilátoru se může použít vnější oscilátor podle zapojení na obr. 43. U tohoto zapojení se musí volit impedance na vývodu 02 tak malá, aby se nedosáhlo podmínek pro vznik oscilací vnitřního oscilátoru.

## Několik doporučení pro správné použití obvodu A4100D

Výrobce doporučuje konstruktérům volit provozní napětí integrovaného obvodu A4100D v rozsahu  $4,5\text{ V až }15\text{ V}$ , v němž zaručuje spolehlivou činnost obvodu. Všechny základní a typické údaje jsou však měřeny a v tabulkách uváděny při středním napájecím napětí  $10\text{ V}$ . Přestože oba přijímače signálů AM a FM se vyznačují velmi malou spotřebou proudu v klidu (při nulovém vstupním signálu), hodí se obvod rovněž pro malé přenosné kabelkové nebo kufříkové rozhlasové přijímače napájené z baterií  $9\text{ V}$ .

Přijímač signálů AM může pracovat v kmitočtovém rozsahu od  $100\text{ kHz}$  do  $30\text{ MHz}$ . Mezipřekvovenční kmitočet se může volit v rozsahu od  $200\text{ kHz}$  do  $700\text{ kHz}$ , proto využijte běžné mf transformátory  $455\text{ kHz}$ , popříp. keramické filtry se stejným kmitočtem.

Deska s plošnými spoji se musí navrhovat jako vždy tak, aby byla využita maximální plocha desky. Přívod a rozvody napájecího napětí se doporučuje blokovat kondenzátory  $33\text{ nF}$  a  $10\text{ }\mu\text{F}$  proti zemi.

K zamezení rušivých proudu v integrovaném obvodu při provozu AM se doporučuje připojit referenční napětí pro pracov-

Tab. 9. Elektrické údaje A4100D

Mezní údaje	
Napájecí napětí části AM:	$U_{CC\ 17} \leq 16,5\text{ V}$
Napájecí napětí části FM:	$U_{CC\ 16} \leq 16,5\text{ V}$
Proud vývodu 15:	$I_{15} \leq 1,5\text{ mA}$
Proud vývodu 22:	$I_{22} \leq 1,0\text{ mA}$
Rozsah provozních teplot okolí:	$\theta_a = -10\text{ až }+70^\circ\text{C}$
Provozní podmínky	
Napájecí napětí části AM:	$U_{CC\ 17} = 4,5\text{ až }15\text{ V}$
Napájecí napětí části FM:	$U_{CC\ 16} = 4,5\text{ až }15\text{ V}$
Kmitočet oscilátoru:	$f_{osc} = 0,5\text{ až }30\text{ MHz}$

ní rezistor AFC k vývodu 11. Průchod signálu při provozu FM je nejvhodnější volit napříč deskou vůči poloze integrovaného obvodu.

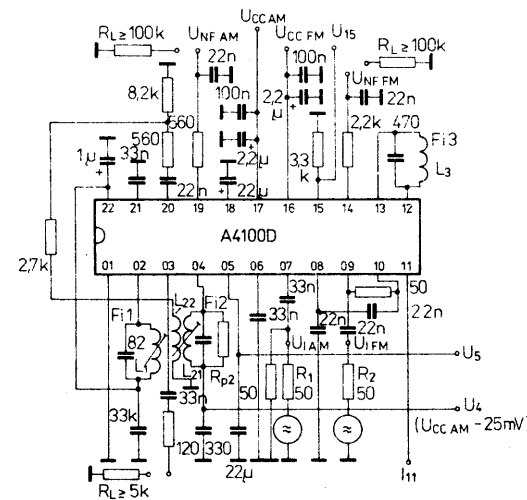
## Vysokofrekvenční část AM

Vstupy 06 a 07 jsou funkčně rovnocenné. Symetrické buzení vstupu je možné. Vyzkoušené zapojení mf filtru je na obr. 41. Z důvodu dobré regulační schopnosti vstupního stupně se doporučuje volit zatěžovací impedanci na výstupu směšovače (vývod 04) v rozmezí  $10\text{ až }15\text{ k}\Omega$ .

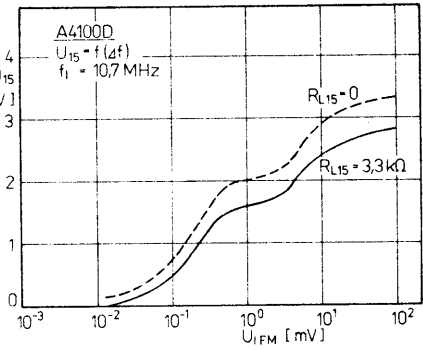
Převodní poměr se doporučuje volit tak, aby v f zesílení  $A_{UHF}$  (6 až 20) bylo 20 až  $25\text{ dB}$ .

Volbou vf zesílení  $A_{UHF}$  lze nastavit bod nasazení regulace celého přijímače.

Do přívodu napájecího napětí obvodu vyvážení směšovače (vývod 04) se má zásadně zapojit pokud možno regulovatelný rezistor  $R_v$  (k vývodu 17), přičemž se doporučuje dodržet úbytek na tomto re-



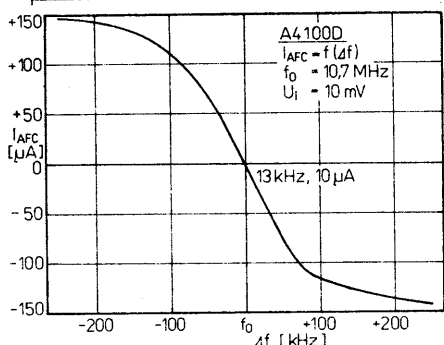
Obr. 38. Měřicí zapojení integrovaného obvodu A4100D



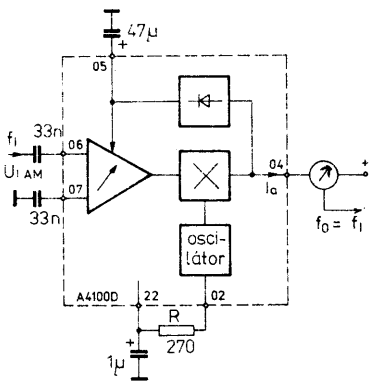
Obr. 39. Závislost výstupního napětí  $U_{15}$  na vstupním napětí FM obvodu A4100D

Tab. 10. Základní a provozní údaje A4100D — část AM

Základní údaje	
Platí při $\theta_a = 25^\circ\text{C} - 5\text{ K}$ , $U_{CC} = 10\text{ V}$ , $U_4 = U_{CC} - 25\text{ mV}$ , $f = 1\text{ MHz}$ , $f_{mod} = 1\text{ kHz}$ , $f_{mt} = 455\text{ kHz}$	
<b>Spotřeba v klidu,</b> $U_i = 0\text{ V}$ , $R_1 = 50\Omega$ : Výstupní napětí nf, $U_i = 20\mu\text{V}$ , mod. = 30 %: $U_i = 10\text{ mV}$ , mod. = 30 %: <b>Zkreslení,</b> $U_i = 10\text{ mV}$ , mod. = 80 %: <b>Odstup s/š k šumu,</b> $U_i = 20\mu\text{V}$ , mod. = 30 %:	$I_{CC} \leq 20\text{ mA}$ . $U_{nf} \geq 30\text{ mV}$ , $U_{nf} \leq 130\text{ mV}$ . $k \leq 4,5\%$ . $S+N/N \geq 20\text{ dB}$ .
<b>Provozní údaje v doporučeném měřicím zapojení (obr. 28)</b> Platí při $\theta_a = 25^\circ\text{C}$ , $U_{CC} = 10\text{ V}$ , $f = 1\text{ MHz}$ , $\Delta U_{RV} = 25\text{ mV}$	
Klidový proud, $U_i = 0\text{ V}$ : <b>Stabilizované napětí:</b> Výstupní napětí nf, $U_i = 20\mu\text{V}$ , mod. = 30 %: $U_i = 10\text{ mV}$ , mod. = 30 %: <b>Zkreslení,</b> $U_i = 10\text{ mV}$ , mod. = 30 %: $U_i = 10\text{ mV}$ , mod. = 80 %: <b>Odstup s/š k šumu,</b> $U_i = 20\mu\text{V}$ , mod. = 30 %: <b>Bod nasazení regulace,</b> $\Delta f = 10\text{ dB}/\Delta f = 3\text{ dB}$ : <b>Rozsah regulace,</b> $\Delta f = 6\text{ dB}$ , měřeno od bodu $U_{RV}$ : <b>Maximální výstupní napětí vf,</b> mod. = 30 %, $k = 10\%$ : mod. = 80 %, $k = 10\%$ : <b>Napětí oscilátoru — vývod 02,</b> efektivní hodnota: Výstupní napětí oscilátoru — vývod 3, efektivní hodnota: <b>Vstupní impedance:</b> <b>Vstupní kmitočet vf AM:</b> <b>Vstupní kmitočet mf AM:</b> <b>Vstupní kmitočet FM:</b> <b>Šířka pásma nf,</b> $U_{nf} = 1\text{ mV}$ : Výstupní napětí pro indikátor — vývod 15, $U_i = 10\text{ mV}$ :	$I_{CC} = 13\text{ mA}$ . $U_{22} = 2,9\text{ V}$ . $U_{nf} = 65\text{ mV}$ , $U_{nf} = 85\text{ mV}$ . $k = 1\%$ , $k = 2\%$ . $S+N/N = 25\text{ dB}$ . $U_{RV} = 7\mu\text{V}$ . $A_u = 85\text{ dB}$ . $U_{IM} = 160\text{ mV}$ , $U_{IM} = 120\text{ mV}$ . $U_{osc\ 2} = 200\text{ mV}$ . $U_{osc\ 3} = 250\text{ mV}$ . $R_{1\ VL} = 2,2\text{ k}\Omega$ . $f_{1\ AM} = 0,1$ až $30\text{ MHz}$ . $f_{mt} = 0,2$ až $0,7\text{ MHz}$ . $f_{1\ MF} = 0$ až $15\text{ MHz}$ . $\Delta f_{nf} = 7\text{ kHz}$ . $U_{15} = 2,4\text{ V}$ .



Obr. 40. Závislost proudu  $I_{AFC}$  na rozladení mf části  $10,7\text{ MHz}$  obvodu A4100D



Obr. 41. Typické zapojení kufříkového nebo stolního přijímače s obvodem A4100D

### Informativní údaje

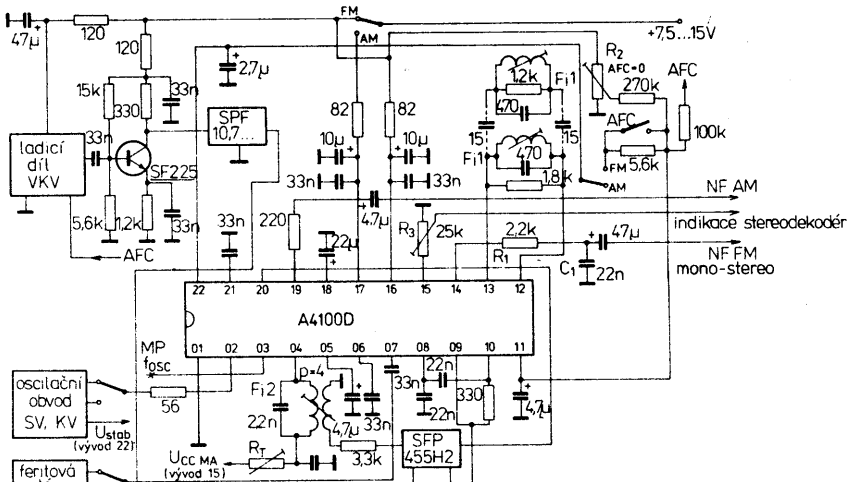
<b>Směšovací strmost:</b> <b>Šířka pásma vf (~9 dB):</b> <b>Průrazová pevnost mf,</b> $U_i = 20\mu\text{V}$ :	$S_C = 18\text{ mS}$ . $\Delta f_v = 30\text{ MHz}$ .
<b>Mezifrekvenční část</b>	$D = 36\text{ dB}$ .
<b>Vstupní odpor:</b>	$R_{1\ mt} = 2,5\text{ k}\Omega$ .
<b>Bod nasazení regulace:</b>	$U_{RV} = 50\mu\text{V}$ .
<b>Regulační rozsah:</b>	$\Delta RV = 49\text{ dB}$ .
<b>Vstupní napětí maximální:</b>	$U_i \leq 32\text{ mV}$ .
<b>Výstupní zvucirochové napětí čítače,</b> $f_{osc} = 1,445\text{ MHz}$ :	$U_{3\ M/M} = 200\text{ mV}$ .
<b>Zkreslení,</b> $U_i = 100\text{ mV}$ , mod. = 80 %:	$k \leq 10\%$ .

Tab. 11. Základní provozní údaje A4100D — část FM

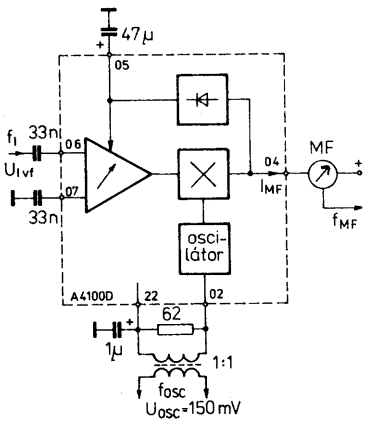
Základní údaje	
Platí při $\theta_a = 25^\circ\text{C} - 5\text{ K}$ , $U_{CC} = 10\text{ V}$ , $f = 10,7\text{ MHz}$ , $f_{mod} = 1\text{ kHz}$ ,	$\Delta f = \pm 75\text{ kHz}$ , $Q_0 = 25$
<b>Výstupní napětí nf,</b> $U_i = 10\text{ mV}$ :	$U_{nf} \geq 300\text{ mV}$ .
<b>Potlačení AM,</b> $U_i = 10\text{ mV}$ , mod. = 30 %:	$a_{AM} \geq 55\text{ dB}$ .
<b>Zkreslení,</b> $U_i = 10\text{ mV}$ :	$k \leq 2\%$ .
<b>Spotřeba proudu v klidu,</b> $U_i = 0\text{ V}$ , $R_2 = 50\Omega$ :	$I_{CC} \leq 14\text{ mA}$ .

### Provozní údaje v doporučeném zapojení (obr. 38)

Platí při $\theta_a = 25^\circ\text{C}$ , $U_{CC} = 10\text{ V}$ ,	
$f = 10,7\text{ MHz}$ , $\Delta f = \pm 75\text{ kHz}$ , $I_{AFC} = 0\text{ mA}$	
<b>Klidový proud,</b> $U_i = 0\text{ V}$ :	$I_{CC} = 10\text{ mA}$ .
<b>Stabilizované napětí — vývod 22:</b>	$U_{22} = 2,8\text{ V}$ .
<b>Vstupní efektivní napětí pro nasazení omezování,</b> $\Delta f = -3\text{ dB}$ :	$U_{1\ om} = 25\mu\text{V}$ .
<b>Výstupní napětí nf,</b> $U_i = 10\text{ mV}$ :	$U_{9\ nf} = 450\text{ mV}$ .
<b>Zkreslení,</b> $U_i = 10\text{ mV}, f = \pm 22,5\text{ kHz}$ :	$k = 0,25\%$ , $k = 1,1\%$ .
<b>Potlačení AM,</b> mod. = 30 %, $\Delta f = 22,5\text{ kHz}$ :	$a_{AM} = 63\text{ dB}$ .
<b>Výstupní proud maximální AFC,</b> $\Delta f = \pm 400\text{ kHz}$ :	$I_{AFC} = \pm 150\mu\text{A}$ .
<b>Odstup s/š k šumu,</b> $U_i = 10\text{ mV}, \Delta f = 22,5\text{ kHz}$ :	$S+N/N = 77\text{ dB}$ .
<b>Výstupní napětí pro indikátor — vývod 15,</b> $U_i = 10\text{ mV}$ :	$U_{15} = 2,3\text{ V}$ .
<b>Bod nasazení omezování:</b>	$U_{1\ om} \leq 50\mu\text{V}$ .



Obr. 42. Zapojení vf části obvodu A4100D pro lineární provoz; vysokofrekvenční strmost (poměr  $I_a/U_i$ ) je  $25\text{ mS}$



Obr. 43. Připojení oscilačního napětí k obvodu A4100D z cizího zdroje při provozu s modulací AM; vysokofrekvenční strmost (poměr  $I_{MF}/U_{IF}$ ) je 17 mS

zistoru (mezi vývody 04 a 17) v rozmezí 5 mV až 30 mV. Rezistorem  $R_V$  se může nastavovat bod nastavení regulace vstupního napětí  $U_{IF} = 150 \mu V$  ( $U_s$  asi 0,7 V). V důsledku napěťové nesymetrie je  $R_V$  v řízeném zesilovači bezpodmínečně nutný. Protože v obvodu je zavedena vnitřní vf regulace, není možno zavést odporovou vazbu na výstupu směšovače ( $\Delta U$  pouze z rezistoru  $R_V$ ).

Kondenzátor regulační časové základny, připojený k vývodu 05, musí mít kapacitu nejméně 22  $\mu F$  (z důvodu zkreslení), jako optimální se doporučuje 47  $\mu F$ .

Přívod napájecího napětí obvodu oscilátoru se má připojit k vývodu 22. K potlačení parazitních kmitů je vhodné do vývodu 02 zapojit útlumový rezistor (např. s odporem 47  $\Omega$ ), příp. feritovou perličku.

Větším kapacitnímu zatížení vývodu 03 se musí zamezit, neboť zmenšuje amplitudu výstupního signálu.

#### Mezifrekvenční zesilovač AM

Kondenzátor časové regulační konstanty, připojený k vývodu 18 má mít kapacitu nejméně 22  $\mu F$ . K výstupu indikace síly pole se doporučuje připojit regulovatelný rezistor 25 k $\Omega$ , který lze přizpůsobit úroveň pro řízení následujícího stupně.

Signály rušivých vysílačů, které proniknou do mf zesilovacích stupňů, jsou přímo demodulovány, proto se doporučuje dobře odstínit celé funkční skupiny. Rušivá napětí v pásmu dlouhých a středních vln mohou vznikat tím, že oscilátorem vyzařovaný signál z vývodu 04 projde přes laděný obvod mf zesilovače. Indikátor síly pole pak ukazuje napětí i při nulovém vstupním signálu. Takto zobrazené napětí rušivého signálu závisí na kvalitě použitých selektivních obvodů.

Šířku demodulace mf zesilovače se doporučuje omezit nf pásmovou propustí na 5 až 7 kHz.

#### Mezifrekvenční zesilovač FM

Jakost obvodu pro posuv fáze má být v rozmezí 20 až 30, neboť její velikost značně ovlivňuje zkreslení. Lepšího zkreslení lze dosáhnout pouze s pásmovým filtrem pro posuv fáze.

Strmost AFC lze volit pracovním rezistorem na vývodu 11. Tento vývod má být blokován kondenzátorem s kapacitou

nejméně 2,2  $\mu F$ . Při dokonalém návrhu pracovních podmínek lze dosáhnout AFC = 0 a minimálního zkreslení, jestliže se využije přídavného proudu, kterým se napájí vývod 11.

Integrovaný obvod A4100D je koncepcně velmi dobrý přijímač pro všeobecné použití v nejrůznějších rozhlasových přijímačích. K provozu vyžaduje minimální počet vnějších součástek, společný provoz AM a FM má řadu ekonomických výhod a přednosti, přijímač se může napájet stejnosměrným napětím v širokém rozsahu. Další předností obvodu je vnitřní demodulace AM, řízený oscilátor, dobré regulační vlastnosti, dobrá citlivost při příjemu jak AM, tak FM signálů a aktivní nf pásmová propust při provozu AM.

Z hlediska světové ekivalence je popsán integrovaný obvod dobrým analogem výrobku Siemens TDA4100, od kterého se prakticky funkčně neliší.

#### Integrovaný dekodér stereofonních signálů A4510D, A4510D1

V literatuře bylo popsáno několik typů dekodérů stereofonních signálů, které byly více či méně dokonalé, čímž bylo dánou jejich praktické využití. Nový integrovaný obvod – dekodér stereofonních signálů A4510D z výroby VEB Halbleiterwerk, Frankfurt/Oder, NDR, je určen pro použití při menších napájecích napětích, má menší spotřebu napájecího proudu, proto se hodí pro použití v přenosných rozhlasových přijímačích pro příjem stereofonního (i monofonního) vysílání v pásmu VKV.

Integrovaný obvod A4510D dekóduje stereofonní signál z rozhlasových vysílačů a rozděluje jej do dvou kanálů – pravého R a levého L. Obvod je určen pro dva postupy dekódování – pro postup spínací a postup maticování. Postup maticování je nákladnější, neboť vnější zapojení obvodu vyžaduje více součástek. Využívá oddělování přídavného stereofonního signálu z komplexního signálu MPX laděným obvodem LC. Při spínacím postupu není zapotřebí žádných vnějších součástek pro vnější oddělení signálu.

Cinnost dekodéru je velmi stabilní a nepodléhá vlivu změn napájecího napětí, neboť vnitřní stabilizační zapojení napájí napětím 3 V všechny důležité funkční skupiny obvodu. Proto jsou všechny charakteristické údaje obvodu v širokém měří nezávislé na napájecím napětí. Při monofonním provozu se musí obvod napájet napětím větším než 4,5 V, při stereofonním provozu napětím větším než 5 V.

Funkční skupinové zapojení obvodu A4510D je uvedeno na obr. 44. Dekodér sdružuje tyto funkční skupiny:

- napájecí zdroj jednotlivých funkčních skupin,
- vstupní operační zesilovač,
- zapojení PLL k výrobě pomocné nosné větřné děliče,
- zapojení pro porovnávání fáze k aktivaci prolínání signálů mono – stereo a indikaci provozu stereo,
- dekodér, složený z demodulátoru a matici,
- zapojení k prolínání provozu mono a stereo.

Integrovaný obvod A4510D je vyroben technologií bipolární analogové injekční techniky  $I^2L$ . Dodává se v plastovém pouzdru DIL-18 s 2x devíti vývody ve dvou řadách s rastrem 2,54 mm. Funkce vývodů: 01 – zemnický bod, 02 – oscilátor RC, 03, 04 – přípoj dolní propusti pro PLL (porovnávání fáze 1), 05 – vstup pilotního signálu, 06, 07 – přípoj dolní propusti

k identifikaci stereofonního signálu (porovnávání fáze 2), 08 – výstup signálu 19 kHz, popř. prolínání stereo – mono, 09 – výstup nf, levý kanál L, 10 – výstup nf, pravý kanál R, 11 – vstup L+R, 12 – vstup L-R, 13 – referenční napětí, 14 – výstup operačního zesilovače, 15 – invertující vstup operačního zesilovače, 16 – neinvertující vstup operačního zesilovače (vstup signálu MPX), 17 – přípoj kladného napájecího napětí  $U_{CC}$ , 18 – přípoj indikační žárovky stereofonního provozu.

#### Popis činnosti

Napájecí napětí, které se přivádí na vývod 17, se uvnitř obvodu stabilizuje ve dvou nezávislých, konstrukčně shodných stabilizačních zapojeních na napětí 3 V. Jeden stabilizátor napájí vstupní operační zesilovač, demodulátor, matici a nf výstupní zapojení. Druhý stabilizátor napájí oscilátor, dělící zapojení, stupně pro porovnávání fáze a prolínání mono – stereo. Cinnost stabilizátoru lze přerušit zmenšením napětí na vývodu 18 na napětí menší než 0,4 V. Uvedeným vnitřním napájecím napětím se napájí všechny funkční skupiny dekodéru, které spolehlivě pracují až do menšího přípustného vnějšího napětí 4,5 V.

Vstupní stereofonní signál MPX se přivádí kapacitním vazbou přes vývod 16 na neinvertující vstup operačního zesilovače. Vstupní odpor je udáván typicky 100 k $\Omega$ . Podle způsobu zapojení operačního zesilovače lze linearizovat kmitočtovou charakteristiku zpracovávaného signálu.

Vnějším zapojením vývodu 15 lze upravovat amplitudu a fázový průběh signálu MPX podle vztahu:

$$A_u = \frac{1 + j\omega C_K (R_1 + R_K)}{1 + j\omega C_K R_K}$$

Vnitřní zapojení PLL, integrované na čipu obvodu A4510D, se skládá z porovnávacího zapojení fáze 1 s dolní propustí, zesilovače regulačního napětí, oscilátoru a děliče  $I^2L$ .

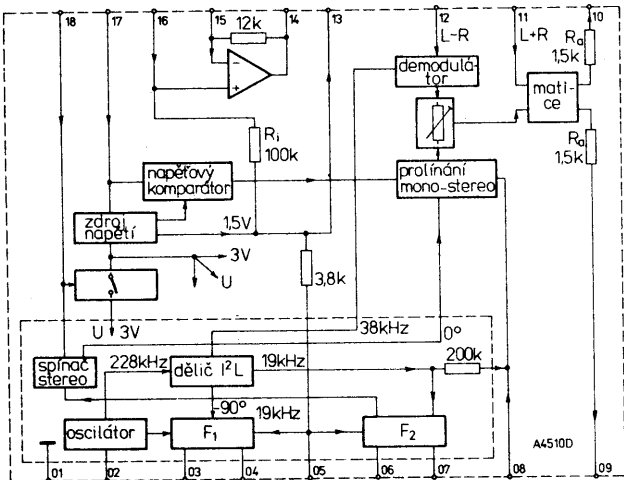
Oscilátor pracuje na principu spínače prahových napětí, přičemž se střídavě nabíjí a vybíjí vnější kombinace  $RC$  na vývodu 02. Proměnným rezistorem lze nastavit pilovité napětí na volnoběžný kmitočet 228 kHz. Následující spouštěcí obvod dodává na vstup dělče obdélníkové impulsy. Dělíc  $I^2L$ , složený z dělče v poměru 2:1, Johnsonova kruhového čítače a logického člena, dodává na výstup pomocnou nosnou s kmitočtem 38 kHz ( $Q_1$ ) pro demodulátor ( $Q_2$ ), signály 19 kHz ( $Q_3, Q_4$ ) pro porovnávání fáze 1 a ( $Q_5, Q_6$ ) pro porovnávání fáze 2. Průběhy spínacích signálů jsou na obr. 45.

Mimoto je pro vyvážení signálu 19 kHz k dispozici na vývodu 08 signál o kmitočtu oscilátoru, dělený dvanácti (výstup s velkou impedancí, asi 200 k $\Omega$ ).

Při porovnávání fáze 1 se signál 19 kHz porovnává s pilotním signálem úplného signálu MPX. Výsledné napětí je po průchodu dolní propustí vyfiltrováno vnějším členem, připojeným k vývodům 03 a 04, dále zesíleno v řízeném zesilovači, přeměněno na regulační proud a ten synchronizován oscilátorem. Synchronizační signál oscilátoru je vůči pilotnímu fázově posunut o  $-90^\circ$ .

V porovnávacím obvodu fáze 2 se porovnává spínací signál 19 kHz s pilotním signálem. Výsledné napětí se filtrace dolní propustí, připojenou k vývodům 06 a 07.

Ve stavu klidu vzniká maximum napětí na následujícím spouštěcím obvodu, takže při pilotním signálu dostatečné amplifi-

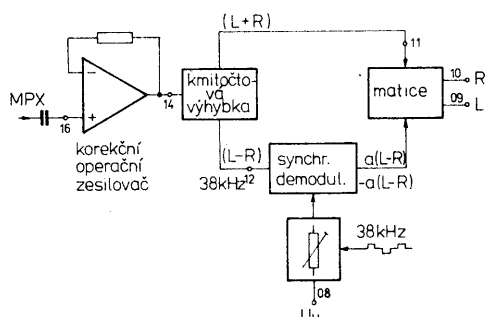


Obr. 44. Funkční skupinové zapojení obvodů A4510D, A4510D1

tudy (asi 10 mV) sepne spouštěcí obvod a aktivuje se budič indikátoru stereo spolu se zapojením k prolínání mono – stereo (řízení šírky báze).

Budič indikátoru se skládá z omezovaného proudového zdroje, který chrání integrovaný obvod před přetížením nadměrným proudem. Maximum proudu indikátorem (zárovkou) se pohybuje okolo 50 mA. Z technologických důvodů je stanoven jeho rozptyl od 35 mA do 60 mA. Aktivovaný regulátor šírky báze dodává pracovní proud pro spínač 38 kHz v demodulátoru.

Integrovaný obvod A4510D dekóduje signál MPX na oba nrf signály L a R dvěma postupy. Funkce obou postupů je v podstatě shodná a je patrná ze zjednodušeného funkčního zapojení na obr. 46.

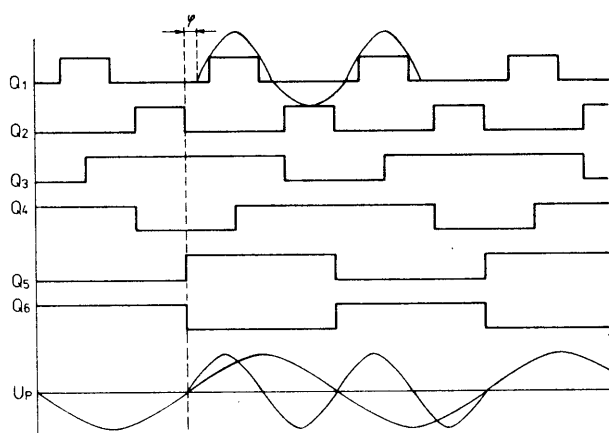


Obr. 46. Zjednodušené zapojení dekódérů obvodů A4510D, A4510D1

U spínacího postupu (rádkový multiplexní provoz) se signál MPX přivádí z výstupu operačního zesilovače (vývod 14) do spínacího demodulátoru (vývod 12) a do matice (vývod 11). V synchronním demodulátoru se demoduluje signál (L-R) z přídavného stereofonního signálu a přivádí se na matici. V matici se sčítá součtový signál (L+R), takže na nf výstupu jsou pak signály L a R. Horní a dolní postranní pásmo MPX (v matici jsou spojovány stejně jako zbytek nosné) budou na výstupu po deefázaci 50 µs dostatečně silně potlačena.

Při maticovém postupu (kmitočtové multiplexní provoz) se laděným obvodem LC (rezonanční kmitočet 38 kHz) oddělí přídavný stereofonní signál z komplexního signálu MPX a je navázán k synchronnímu demodulátoru indukčně. Součtový signál se ze signálu MPX oddělí dolní propustí a přivádí do matice.

Demodulace probíhá stejným způsobem jako u spínacího postupu. Oddělení se



Obr. 45. Průběhy spínacích kmitočtů v obvodu A4510D, A4510D1; Q<sub>1</sub>, Q<sub>2</sub> — spínací kmitočet 38 kHz, Q<sub>3</sub>, Q<sub>4</sub> — spínací kmitočet 19 kHz pro PLL, Q<sub>5</sub>, Q<sub>6</sub> — spínací kmitočet 19 kHz pro určení stereo, U<sub>P</sub> — pilotní signál 19 kHz (včetně pomocné nosné 38 kHz)

součtový signál a přídavný stereofonní signál a před demodulací se musí k potlačení zbytku nosné použít vyhlašovací člen s malou časovou konstantou (1 až 1,5 µs).

Matice pracuje podle následujících vztahů:

$$U_L = (L + R) + a(L - R) = L(1 + a) + R(1 - a)$$

$$U_R = (L + R) - a(L - R) = L(1 - a) + R(1 + a)$$

Pomocí prolínacího zapojení mono – stereo lze zmenšit amplitudu prolínacího signálu 38 kHz a tím demodulovanou rozdílový signál (L – R) měnit o činitele a. Jak je patrné z obr. 45, není zeslabený signál pomocné nosné 38 kHz ze signálu MPX ve fázi se spínacím systémem 38 kHz při „rozrádkované“ PLL. Způsobuje to Johnsonův kruhový čítač, který dodává pravouhlé signály 38 kHz, které mají definovaný posuv fáze φ = π/6 popříp. φ = π/12 vůči pilotnímu signálu 19 kHz.

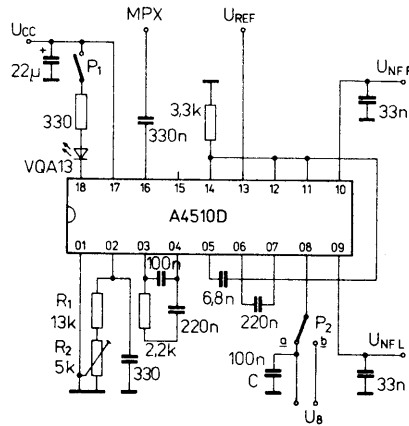
Aby se optimálně vyklíčoval přídavný stereofonní signál v demodulátoru, je fázově o π/12 posunut pilotní signál pro PLL (vývod 05) vůči pilotnímu signálu v úplném signálu MPX kondenzátorem C (8,2 nF) a integrovaným rezistorem R (3,8 kΩ).

Spínací impulsy 38 kHz (Q<sub>1</sub> a Q<sub>2</sub>) se specifickým klíčovacím poměrem 3:1 jsou fázově posunuty o 180°. Dekódovací stereofonní signál je tím oproštěn od nežádoucí třetí harmonické signálu 38 kHz.

Při stereofonním příjmu signálů FM se zhorší odstup signálů k šumu, jakmile se začne zmenšovat úroveň vysokofrekvenčního signálu. Natáčením přijímací antény, což je běžný případ u autopřijímačů, může být v důsledku různých odrazů a útlumu signál z antény velmi rozdílný. Odstup stereofonního signálu od šumu se může udržet na přijatelné úrovni regulací šírky báze.

Protože v přídavném stereofonním signálu vznikají rušivé šumy, udržuje se úroveň šumu na přípustné velikosti pomocí polem závislé amplitudové regulace signálu (L – R). Tato regulace se realizuje změnou amplitudy spínacích impulsů 38 kHz stejnosměrným řidicím napětím na vývodu 08. Stejnosměrným řidicím napětím závislým na síle pole (s úrovní 0 až 1 V) lze řídit činitel a v maticových vztazích (1) a (2) přeslechového útlumu v mezích  $a_p = 0$  (při monofonním provozu) až  $a_{p\max} \geq 3$  dB (při provozu stereofonním).

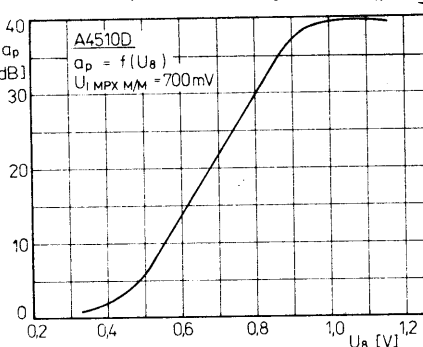
Elektrické údaje obvodů A4510D, A4510D1 v tab. 12 platí v měřicím zapojení podle obr. 47; a to v časově multiplexním



Obr. 47. Měřicí zapojení obvodů A4510D, A4510D1 v časově multiplexním provozu

provozu. Jak již bylo uvedeno, velkou předností konstrukce popsaného dekodéru je dokonalá provozní schopnost pracovat v širokém rozsahu napájecího napětí od 5 V do 18 V, což je ideální jak pro použití součástky v rozhlasových přijímačích pro motorová vozidla, tak v přenosových přijímačích.

Některé doplňující údaje k charakteristickým údajům v tab. 12 jsou v grafických závislostech. Z obr. 48 je patrný rozsah regulace šírky báze obvodu A4510D. Průběh regulace je lineární přibližně od napětí 0,5 V na vývodu 08 (pro



Obr. 48. Regulační charakteristika šírky báze obvodu A4510D (závislost přeslechového útlumu na napětí vývodu U<sub>8</sub>)

Tab. 12. Elektrické údaje A4510D, A4510D1

Mezní údaje		Nízkofrekvenční výstupní napětí provoz stereo, signál MPX <sup>1)</sup> , $U_8 = 1 \text{ V}$ , $S_1$ sepnut, $S_2$ v poloze a levý kanál: pravý kanál: Rovnává zesílení kanálů provoz mono, signál MPX <sup>1)</sup> , vývod 18 nezapojen, $S_1$ otevřen: Přeslechový útlum $U_8 = 1 \text{ V}$ , signál MPX <sup>1)</sup> , $S_1$ sepnut, $S_2$ v poloze a: Zkreslení $U_{\text{IMPX M/M}} = 700 \text{ mV}, f = 1 \text{ kHz}$ vývod 18 nezapojen, $S_1$ otevřen provoz mono: provoz stereo: Potlačení signálu 19 kHz $U_{\text{P M/M}} = 70 \text{ mV}, f_p = 19 \text{ kHz}$ $S_1$ sepnut, $S_2$ v poloze a: Odstup signálu k šumu $R_1 = 2,7 \text{ k}\Omega$ , $S_1$ otevřen: Výstupní odpory levý kanál: pravý kanál: Prahová úroveň stereo zapnuto A4510D (A4510D1) vypnuto A4510D (A4510D1) Přepnuto na provoz mono A4510D: A4510D1: Rozsah zachycování A4510D: A4510D1:
Doporučené provozní podmínky		
Napájecí napětí A4510D: A4510D1:		$U_{\text{CC}} = 4,5 \text{ až } 18 \text{ V}$ , $U_{\text{CC}} = 3,5 \text{ až } 18 \text{ V}$ .
Minimální napájecí napětí pro stereofonní provoz A4510D: A4510D1:		$U_{\text{CC}} \geq 5,0 \text{ V}$ , $U_{\text{CC}} \geq 4,0 \text{ V}$ .
Vstupní napětí maximální na vývodu 16 signál MPX, mezihradlová velikost:		$U_{\text{IMPX M/M}} \leq 1 \text{ V}$ .
Charakteristické údaje A4510D, A4510D1 Údaje platí při $\theta_a = 25^\circ \text{ C} - 5 \text{ K}$ , $U_{\text{CC}} = 8 \text{ V}$		
Spotřeba proudu (bez žárovky) spínač $S_1$ sepnut: Spotřeba proudu při provozu mono spínač $S_1$ rozpojen:		$I_{\text{CC}} = 10; \leq 15 \text{ mA}$ .
Spotřeba proudu budiče indikační žárovky (kontrola odpojení oscilátoru), $S_1$ otevřen, $S_2$ v poloze a: $S_2$ sepnut, $S_1$ v poloze b: Nízkofrekvenční výstupní napětí provoz mono, signál MPX <sup>1)</sup> , vývod 18 nezapojen, $S_1$ otevřen levý kanál: pravý kanál:		$I_{\text{CC OFF}} \leq 0,4 \text{ V}$ , $I_{\text{CC ON}} \geq 0,9 \text{ V}$ .
$U_{\text{9ML M/M}} = 390; 250 \text{ až } 500 \text{ mV}$ , $U_{\text{10MR M/M}} = 390; 250 \text{ až } 500 \text{ mV}$ .		
Informativní údaje		
Vstupní odpory: Potlačení signálu 38 kHz:		$R_1 = 100 \text{ k}\Omega$ . $a_{38} = 40 \text{ dB}$ .

1) Signál MPX na vstupu  $U_{\text{IMPX M/M}} = 700 \text{ mV}, f_{\text{mod}} = 1 \text{ kHz}$ ,  $U_{\text{P M/M}} = 70 \text{ mV}, f_p = 19 \text{ kHz}$ . 2)  $U_{\text{P}}$  — pilotní signál.

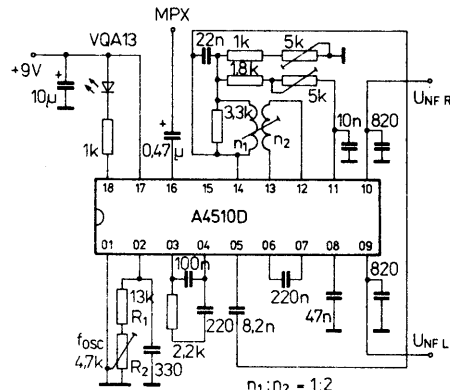
přeslechový útlum 5 dB) do 0,85 V (pro útlum 34 dB). Přeslechový útlum v závislosti na kmitočtu oscilátoru se naproti tomu mění v rozsahu 18,6 kHz do 19,4 kHz pouze o 4 dB (maximum přeslechového útlumu 39 dB je na kmitočtu 18,9 kHz).

Závislost přeslechového útlumu a nízkofrekvenčního výstupního napětí na modulačním kmitočtu obvodu A4510D je na obr. 49. Oba průběhy platí při vstupním signálu MPX s kmitočtem 15 kHz a napětím 1,1 V, preemfázi 50  $\mu$ s a konstantním napětí 1 V na vývodu 08. Činitel zkreslení se zvětšuje v rozsahu vstupního napětí MPX od 200 mV do 600 mV jen nepatrně. Střední hodnota zkreslení při jmenovitém vstupním napětí je 0,1 %. Se zvětšujícím se

vstupním napětím se při 800 mV zvětšuje na 0,16 %, při napětí 1 V je 0,25 %, při napětí 1,1 V se prudce zvětší na 0,4 %.

#### Doporučená zapojení

V praxi se používají pouze dvě základní provozní zapojení integrovaných obvodů A4510D. Na obr. 50 je zapojení obvodu s časově multiplexním provozem a regulací šířky báze. V podstatě je to nejjednodušší a nejlevnější zapojení, které vyžaduje jen velmi málo vnějších součástek. Zapojení je vybaveno regulátorem kmitočtu oscilátoru (pro doladění). Jako regulační napětí, potřebné k řízení prolínání mono – stereo, se používá výstupní napě-

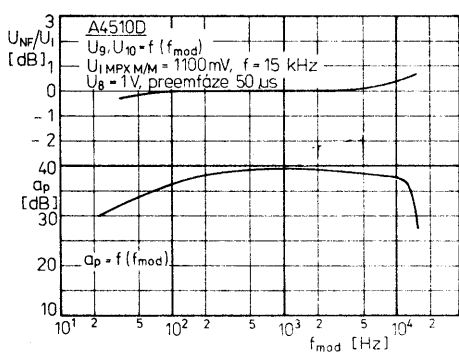


Obr. 51. Typické provozní zapojení obvodů A4510D, A4510D1 jako stereofonní dekodér v časově multiplexním provozu bez regulace šířky báze

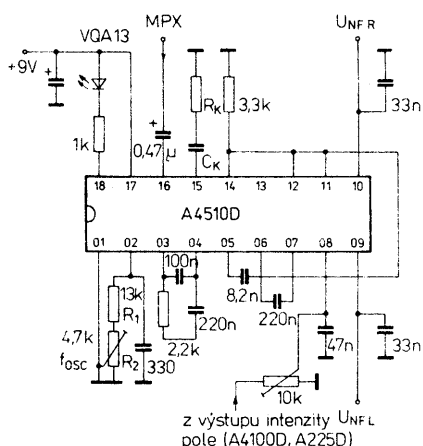
tí, úměrné intenzitě pole (z vývodu integrovaného obvodu, např. A4100D nebo A225D).

Druhé provozní zapojení podle obr. 51 využívá časově multiplexního provozu bez regulace šířky báze. Zapojení je složitější a nákladnější. Na výstup operačního zesilovače je připojen pásmový filtr – transformátor s převodním poměrem 1:2. Sekundární vinutí transformátoru je připojeno na vstup referenčního napětí, druhým koncem na vstup L-R. S oběma popsanými typickými zapojeními lze dosáhnout v podstatě stejně dobrých výsledků.

Ještě několik doporučení k použití obvodů A4510D:



Obr. 49. Závislost přeslechového útlumu  $a_p$  a nf výstupního napětí na modulačním kmitočtu obvodu A4510D



Obr. 50. Typické provozní zapojení obvodů A4510D, A4510D1 jako stereofonní dekodér v časově multiplexním provozu s regulací šířky báze

Tab. 13. Elektrické údaje μA758PC

Mezní údaje	
Napájecí napětí:	$U_{CC} = 18 \text{ V}$ .
Napájecí napětí po dobu max. 15 s:	$U_{CC} = 22 \text{ V}$ .
Napětí na sverce žárovkového budiče při vypnuté žárovce STEREO:	$U_7 = 22 \text{ V}$ .
Ztrátový výkon celkový:	$P_{tot} = 730 \text{ mW}$ .
Rozsah provozních teplot okolí:	$\theta_a = 0 \text{ až } 70^\circ\text{C}$ .
Rozsah skladovacích teplot:	$\theta_{sig} = -55 \text{ až } +125^\circ\text{C}$ .
Teplota vývodu při pájení po dobu max. 10 s:	260 °C.
Charakteristické údaje (jmenovité, popř. min., max.)	
Plati při $\theta_a = 25^\circ\text{C}$ , $U_{CC} = 12 \text{ V}$ , pilot 30 mV ef., $U_{IMPX}$ ( $L = R$ , bez pilotního signálu) = 300 mV ef., $f_{mod} = 400 \text{ Hz}$ nebo 1 kHz, není-li uvedeno jinak	
Příkon proudu (indikační žárovka vypnuta):	$I_{CC} = 26; \leq 35 \text{ mA}$ .
Proud indikační žárovky stereo:	$I_7 = 150; \geq 75 \text{ mA}$ .
Napětí na vývodech budiče žárovky $I_L = 50 \text{ mA}$ :	$U_7 = 1,3; \leq 1,8 \text{ V}$ .
Posuv stejnosměrného napětí na každém výstupním vývodu:	
provoz stereo → mono:	$U_4, U_5 = 30; \leq 150 \text{ mV}$ .
Potlačení zvlnění napájecího napětí $f = 200 \text{ Hz}, U_{ef} = 200 \text{ mV}$ :	SVR = 45; $\geq 35 \text{ dB}$ .
Vstupní odpor:	$R_i = 35; \geq 20 \text{ k}\Omega$ .
Výstupní odpor:	$R_o = 1,3, 0,9 \text{ až } 2 \text{ k}\Omega$ .
Oddělení kanálů	
$f = 100 \text{ Hz}$ :	$S = 40 \text{ dB}$ ,
$f = 400 \text{ Hz}$ :	$S = 45; \geq 30 \text{ dB}$ ,
$f = 1 \text{ kHz}$ :	$S = 45 \text{ dB}$ ,
Vyvážení kanálů:	$0,3; \leq 1,5 \text{ dB}$ .
Napěťové zesílení ( $f = 1 \text{ kHz}$ ):	$A_u = 0,9; 0,5 \text{ až } 1,4$ .
Vstupní úroveň pilotního signálu indikační žárovka zapnuta:	$U_{1 \text{ pilot ef.}} = 15; \leq 20 \text{ mV}$ ,
indikační žárovka vypnuta:	$U_{1 \text{ pilot ef.}} = 7; \geq 2 \text{ mV}$ .
Hystereze vstupní úrovně pilotního signálu — indikační žárovka ze stavu vypnuto do stavu zapnuto:	$\Delta U_{1 \text{ pilot}} = 7; \geq 3 \text{ dB}$ .

Přívod napájecího napětí se musí blokovat kondenzátorem co nejbliže k integrovanému obvodu.

Při navrhování součástek oscilátoru na vývodu 02 se musí volit rezistory a kondenzátory s nejlepšími vlastnostmi, malým tepelným součinitelem a úzkými tolerancemi.

Vazební kondenzátor na vývodu 05 má mít co nejmenší toleranci. Dolní propust, připojená k vývodům 03 a 04, má mít doporučené hodnoty součástek, čímž jsou automaticky dodrženy meze záchravnovacího a přídružného rozsahu.

Malé změny kapacit kondenzátorů, připojených k vývodům 06, 07, nemají žádný vliv na spínací úroveně při stereofonním provozu.

Tolerance kondenzátoru deemfáze ve spínacím provozu se řídí požadavky na kmitočtový průběh. Nedoporučuje se však používat součástek s většími tolerancemi než 10 %.

Funkční rozdíl mezi integrovanými obvody A4510D a A4510D1 není žádný. Obě součástky se odlišují pouze v některých elektrických vlastnostech, rozdíly jsou patrné z tabulky elektrických údajů.

Z hlediska konstrukčního se musí volit odpor rezistoru  $R_1$  u obvodu A4510D 13 kΩ, u A4510D1 16 kΩ. Kondenzátor 330 pF na vývodu 02 má být polystyrenový nebo keramický.

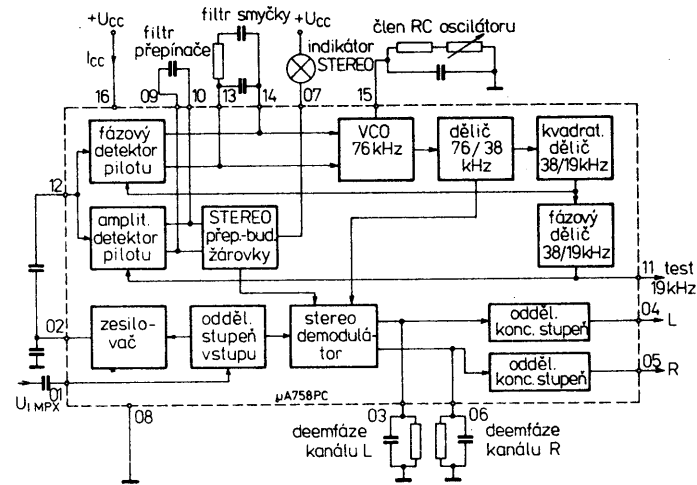
Integrovaný stereofonní dekodér A4510D je přibližně analogem dekodéru Siemens TCA4510, od něhož se některými parametry odlišuje. Funkčně a zapojením vývodů je však obvod A4510D plně sluchátebný a může TCA4510 spolehlivě nahradit. Další obdobný dekodér Siemens TCA4511 je funkčně sice rovněž obdobný,

avšak pracuje s větším napájecím napětím od 8 do 18 V. Dolní mez napětí TCA4511 je vyšší, proto jej dekódér RFT A4510D může nahradit. Pro úplnost je třeba dodat, že dekódér TCA4510 v novém vydání svého katalogu Siemens již neuvádí (vypustil jej z výroby).

### Multiplexní dekodér stereofonního signálu μA758PC

Integrovaný obvod μA758PC Tungsram je monolitický multiplexní dekodér stereofonního kmitočtové modulovaného signálu, vybavený fázovou smyčkou PLL. Obvod dekóduje stereofonní signál do levého a pravého nízkofrekvenčního kanálu při současném potlačení pilotního signálu, který je obsažen v úplném vstupním signálu. Součástí obvodu je automatický přepínač provozu mono-stereo a budič obvodu pro napájení vnějšího indikátoru stereofonního příjemu. Integrovaný obvod se napájí jedním kladným napětím v širokém rozsahu, k provozu IO potřebuje jen malý počet vnějších součástek. Využívá se pouze jedním trimrem (nastavení kmitočtu oscilátoru). K provozu nejsou zapotřebí žádné vnější laděné obvody. Dekódér je vhodný pro použití v síťových a automobilových rozhlasových přijímačích. Funkční skupinové zapojení dekodéru s vyzařením nejpřetebnějších vnějších součástek je na obr. 52. Integrovaný obvod μA758PC je v plastovém pouzdru (P) 9B s 2x osmi vývody ve dvou řadách. Obdobný zařízení typ je výrobek Fairchild μA758.

Funkce jednotlivých vývodů: 01 – vstup zesilovače složeného stereofonního signálu



Obr. 52. Funkční skupinové zapojení obvodu μA758PC

Rozsah zachycení:	4; 2 až 6 %.
Celkové zkreslení harmonickými ef. úrovně signálu MPX = 600 mV, „pilot“ vypnut:	$k = 0,4, \leq 1\%$ .
Potlačení signálu 19 kHz:	$a_{19} = 35, \geq 25 \text{ dB}$ ,
38 kHz:	$a_{38} = 45, \geq 25 \text{ dB}$ .
Potlačení složky signálu SCA <sup>1)</sup> :	$a_{SCA} = 70 \text{ dB}$ .
Odpor ladění VCO <sup>2)</sup> :	$R_{VCO} = 23,3; 21 \text{ až } 25,5 \text{ k}\Omega$ .
Posuv kmitočtu VCO	
$0^\circ\text{C} \leq \theta_a \leq 25^\circ\text{C}$ :	$\Delta = +0,1; \leq \pm 2\%$ ,
$+25^\circ\text{C} \leq \theta_a \leq +70^\circ\text{C}$ :	$\Delta = -0,4; \leq \pm 2\%$ .

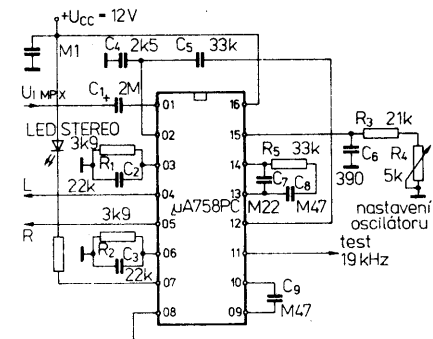
<sup>1)</sup> Měřeno stereofonním signálem obsahujícím 80 % složky stereo, 10 % pilotního signálu a 10 % složky SCA podle definovaných podmínek FCC pro rozhlasové vysílání.

<sup>2)</sup> Celkový odpor z vývodu 15 na zem, potřebný k nastavení referenčního kmitočtu 19 kHz  $\pm 10 \text{ Hz}$  na vývodu 11.

nálu, 02 – výstup zesilovače stereofonního signálu, 03 – deemfáze levého kanálu, 04 – výstup levého kanálu (L), 05 – výstup pravého kanálu (R), 06 – deemfáze pravého kanálu, 07 – výstup pro řízení indikátoru stereo, 08 – zemníci bod, 09, 10 – filtr přepínače, 11 – kontrolní výstup pilotního signálu 19 kHz, 12 – vstup amplitudového detektoru a fázového detektoru pilotního signálu, 13, 14 – přípoj filtru smyčky PLL, 15 – přípoj člena RC oscilátoru, 16 – přípoj napájecího napětí  $+U_{CC}$ .

### Doporučené zapojení

Na obr. 53 je zapojení stereofonního dekodéru s IO μA758PC a samočinným přepínáním provozu mono-stereo. Multiplexní stereofonní signál MPX se přivádí



Obr. 53. Zapojení stereofonního dekodéru s obvodem μA758PC

na vstup obvodu (vývod 01) přes elektrolytický kondenzátor  $2 \mu\text{F}$ . Výstupní signál po dekódování lze odebírat na vývodech 04 a 05 k dalšímu nízkonapěťovému zesílení. Na vývodu 11 je k dispozici testovací signál 19 kHz. Správné lze kmitočet oscilátoru nastavit odporovým trimrem  $R_4$ , připojeným přes člen  $RC$  k vývodu 15. Doporučené napájecí napětí dekodéru je 12 V. Správná funkce obvodu vyžaduje použití přesné rezistoru s tolerancí  $\pm 5\%$ , kondenzátory s tolerancí  $\pm 20\%$  (mimo kondenzátor  $C_1$ , který může mít toleranci až  $+100\%$ ,  $-20\%$ ) a  $C_6$  s tolerancí  $\pm 5\%$ . Tolerance rezistoru  $R_3$  má být  $\pm 1\%$ ,  $R_4 \pm 10\%$ . Doporučené zapojení platí současně jako měřicí zapojení s výslednými elektrickými údaji podle tab. 13.

## INTEGROVANÉ OBVODY PRO TELEVIZNÍ PŘIJÍMAČE

### Integrované obvody pro dekodéry barevných signálů PAL/SECAM

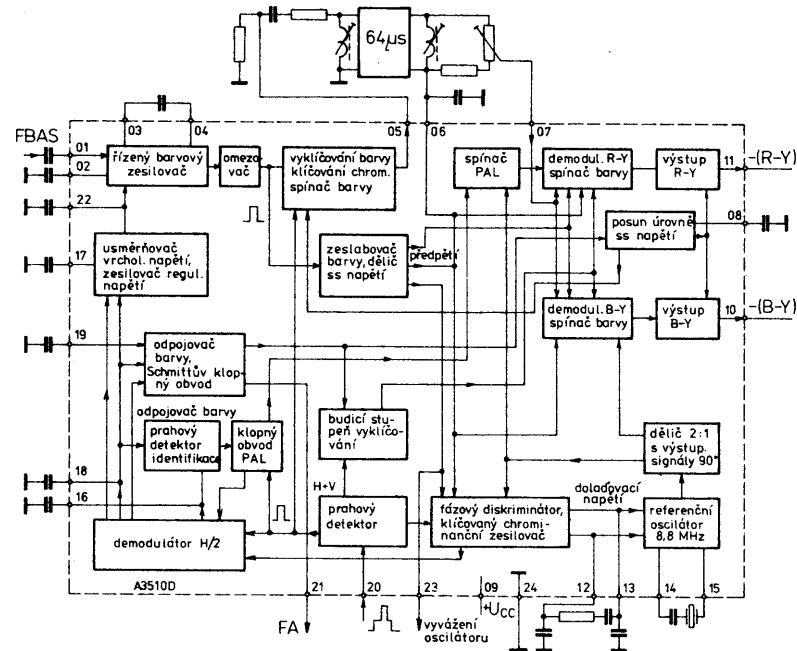
Několikaleté zkušenosti s provozem integrovaných obvodů v dekodérech barevných signálů PAL/SECAM II. generace v televizních přijímačích a pokroky ve výrobě technologií analogových obvodů vysokého stupně integrace umožnily vývoj nových integrovaných obvodů pro dekodéry III. generace. Jejich využitím se jednak zmenšuje pracnost ve výrobě televizních přijímačů a výrobní náklady, jednak zvýšuje spolehlivost provozu. Pro použití v dekodérech barev a obrazové části jsou určeny tři nové integrované obvody z výroby kombinátu VEB Mikroelektronik ve Frankfurtu/O., NDR. Jsou to obvody A3510D — dekodér PAL, A3520 — dekodér SECAM, A3501 — obrazová kombinace.

#### Dekodér PAL A3510D

Integrovaný obvod A3510D obsahuje všechny funkční skupiny potřebné pro úplné dekódování signálu v normě PAL. Funkční skupinové zapojení obvodu je na obr. 54. V podstatě lze rozdělit funkční skupiny obvodu do těchto hlavních oborů:

- řízený zesílovač barev s odpojitelem budiče pro zpožďovací linku a zapojením pro vyklíčování synchronizačního signálu barev;
- napěťová část referenčního a řídícího napětí s referenčním oscilátorem 8,8 MHz, děličem 2:1 s klíčovaným porovnáváním fáze, zapojením pro získávání regulačního napětí barev, zapojením k identifikaci signálu PAL a odštěpení barev;
- demodulační část se synchronním demodulátorem (R-Y) a (B-Y), klopovým obvodem PAL a spínacem PAL, odpojitelným diferenčním stupněm barev.

Integrovaný obvod A3510D lze používat v přijímačích pro příjem pouze barevného signálu PAL i v „dvounormových“ přístrojích pro příjem signálů PAL/SECAM. Elektrické údaje obvodu jsou v tab. 14. Součástka se dodává v plastovém pouzdru DIL s 2x dvanácti vývody ve dvou řadách.



Obr. 54. Funkční skupinové zapojení obvodu A3510D se základními vnějšími součástkami

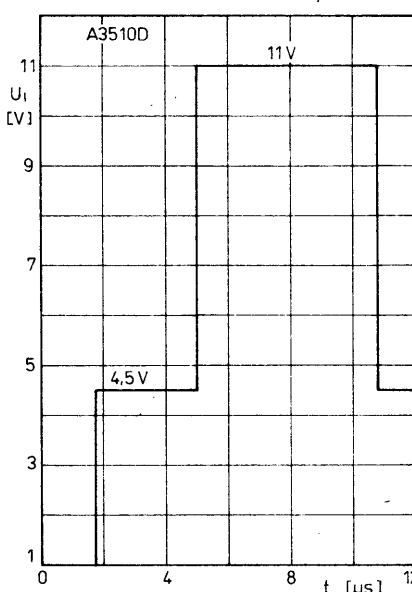
Funkce vývodů: 01 — vstup barvonosného signálu, 02 — blokování zesílovače signálu barev, 03, 04 — přípoj vazebního kondenzátoru zesílovače barev, 05 — výstup budíče zpožďovací linky, 06 — předpětí pro zpožděný kanál, 07 — vstup zpožděného kanálu barev, 08 — přípoj kondenzátoru pro ovládání časové konstanty doby náběhu, příp. doby doběhu stejnosměrně rozdílového signálu barev, 09 — přípoj kladného napájecího napětí  $+U_{CC}$ , 10 — výstup rozdílového signálu barev — (B-Y), 11 — výstup zpožděného signálu barev — (R-Y), 12, 13 — přípoj fázovacího člena doladovacího napětí, 14 — výstup pro připojení krystalu 8,8 MHz, 15 — zpětnovazební vstup pro připojení krystalu 8,8 MHz referenčního oscilátoru, 16 — přípoj kondenzátoru časové konstanty

identifikačního signálu barev a odpojení barev, 17 — přípoj kondenzátoru časové konstanty pro získání regulačního napětí AVC zesílovače barev, 18 — přípoj kondenzátoru pro referenční napětí, 19 — přípoj kondenzátoru časové konstanty pro vypnutí barev, 20 — vstup složeného impulsu synchronizace (SCI), 21 — výstup spínacího odpojovače barev, 22 — přípoj vyhlašovacího kondenzátoru regulačního napětí AVC zesílovače barev, 23 — výstup zesíleného barvonosného signálu, nastavení oscilátoru, 24 — přípoj záporného polu napájecího napětí.

Barevný signál PAL se přivádí na vývod 01 řízeného zesílovače barev. Který je proveden jako diferenční zesílovač se zpětnou vazbou. Vývod 02 se musí pro střídavou složku napětí uzemnit. Mezi emitory diferenčního stupně jsou regulovatelné zpětnovazební rezistory, které ovlivňují zesílení stupně a jsou řízeny ze zesílovače regulačního napětí.

Za zesílovačem barvonosného signálu následuje omezovací stupeň, který omezuje napětí signálu barev při dvojitě jmenovité úrovni, protože příliš velká úroveň signálu by vyžadovala značný útlum signálu v odpojovacím stupni barev. Po omezení se rozdělí signál barev do dvou větví. Jednou větví se přivádí přímo, druhou větví na zpožďovací kanál. Ve zpožďovací věti dorazí signál, když z něj byl vyklíčován synchronizační signál barev, přes emitorový sledovač na vývod 05, ke kterému je připojena ultrazvuková zpožďovací linka. Při „dvounormovém“ provozu (při příjemu signálu PAL/SECAM) se linka paralelně připojí k integrovanému obvodu A3520D, takže se musí dostatečně silně utlumit ne vždy přiměřeně vhodný signál. Proto se budíci stupeň pro zpožďovací linku připojuje přes spínací barev při provozu PAL, zatímco při příjemu signálu SECAM se uzavře. Stejně tak se budíci stupeň uzavře při příjemu černobílého signálu. Druh provozu se v praxi přepíná změnou úrovně stejnosměrného napětí.

Na výstup zpožďovací linky je připojen regulovatelný rezistor, který slouží k vyrovnání tolerancí útlumu. Zpožděný



Obr. 55. Definice tvaru impulsu SCI — složeného tříúrovňového synchronizačního impulsu, kterým se zabezpečuje obnovení a udržování úrovně černé a vyklíčování signálů v době rádkových a snímkových zpětných běhů

Tab. 14. Elektrické údaje dekodéru PAL, A3510D

Mezní údaje Platí v celém rozsahu provozních teplot okolí		Výstupní napětí signálu barvy $U_{1\text{M/M}} = 10 \text{ mV}^{23}$ : Útlum signálu barvy $U_{1\text{M/M}} = 200 \text{ mV}^{234}$ : Spínací napětí barvy barva vypnuta, $U_1 = 0 \text{ V}, U_{20} = 1 \text{ V}, U_{16} = U_{18}$ , $I_{21} = 10 \text{ mA}$ : barva zapnuta, $U_1 = 0 \text{ V}, U_{20} = 1 \text{ V}, U_{16} = 4 \text{ V}$ , $I_{21} = 10 \mu\text{A}$ : Stejnosměrné napětí na výstupech: rozdílového signálu barev a výkonového budiče barva zapnuta, $U_1 = 0 \text{ V}, U_{20} = 1 \text{ V}, U_{16} = 4 \text{ V}$ :	$U_{5\text{M/M}} \leq 2,2 \text{ V}$ . $d_5 \geq 56 \text{ dB}$ .
Napájecí napětí: $U_{CC} = 10,8 \text{ až } 13,2 \text{ V}$ . Napětí na vývodu 19: $U_{19} \text{ až do } U_{CC}$ . Průdu 05: $-I_5 \leq 10 \text{ mA}$ . Průdu 21: $I_{21} \leq 11 \text{ mA}$ . Průdu 10: $-I_{10} \leq 1 \text{ mA}$ . Průdu 11: $-I_{11} \leq 1 \text{ mA}$ . Ztrátový výkon celkový: $P_{tot} \leq 1,1 \text{ W}$ . Rozsah provozních teplot okolí: $\theta_a = 0 \text{ až } +70^\circ\text{C}$ .		$U_{21} \leq 500 \text{ mV}$ , $U_{21} \geq 12 \text{ V}$ .	
Charakteristické údaje ( $\theta_a = 25^\circ\text{C} - 5 \text{ K}, U_{CC} = 12 \text{ V}$ )			
Výstupní napětí rozdílového signálu barvy signál -(R-Y), $U_{1\text{M/M}} \pm v = 100 \text{ mV}$ , signál PAL, $\pm v$ — skok ve středu řádku: signál -(B-Y), $U_{1\text{M/M}} \pm u = 72 \text{ mV}$ , signál PAL, $\pm u$ — skok ve středu řádku: Poměr rozdílových signálů barev: Zeslabení rozdílového signálu barev <sup>1)</sup> $U_{1\text{M/M}} \pm v = 200 \text{ mV}$ , signál PAL, $\pm v$ — skok ve středu řádku: $U_{1\text{M/M}} \pm u = 144 \text{ mV}$ , signál PAL, $\pm u$ — skok ve středu řádku: Spotřeba proudu obvodu $U_1 = 0 \text{ V}, U_{20} = 1 \text{ V}$ : Rozsah vstupního napětí:	$U_{11\text{M/M}} \text{ jmen. } 1,05; 0,74 \text{ až } 1,48 \text{ V}$ , $U_{10\text{M/M}} \text{ jmen. } 1,33; 0,94 \text{ až } 1,88 \text{ V}$ , $U_{11\text{M/M}}/U_{10\text{M/M}} = 0,71 \text{ až } 0,87 \text{ mV}$ . $d_{R-Y} \geq 60 \text{ dB}$ , $d_{B-Y} \geq 60 \text{ dB}$ . $I_{CC} = \text{jmen. } 55; 40 \text{ až } 75 \text{ mA}$ . $U_{1\text{M/M}} = 10 \text{ až } 200 \text{ mV}$ .	$U_{10} = \text{jmen. } 8; 7,5 \text{ až } 8,5 \text{ V}$ , $U_{11} = \text{jmen. } 8; 7,5 \text{ až } 8,5 \text{ V}$ , $U_5 = \text{jmen. } 8,5; 8,0 \text{ až } 9,0 \text{ V}$ . $U_{10} = \text{jmen. } 4; 3,0 \text{ až } 4,5 \text{ V}$ , $U_{11} = \text{jmen. } 4; 3,0 \text{ až } 4,5 \text{ V}$ , $U_5 = \text{jmen. } 4; 3,0 \text{ až } 4,5 \text{ V}$ . $U_{10\text{M/M}} \leq 30 \text{ mV}$ , $U_{11\text{M/M}} \leq 30 \text{ mV}$ . $U_{11\text{M/M}} \leq 10 \text{ dB}$ . $A_{osc} \geq 8 \text{ dB}$ .	

$$U_{..M/M} (\text{s přepnutím fáze chrominance})$$

$$1) d = 20 \lg \frac{U_{..M/M} (\text{s přepnutím fáze chrominance})}{U_{..M/M} (\text{bez přepnutí fáze chrominance})}$$

3) Signál PAL s  $\pm v$  — skokem uprostřed řádku.

signál barvy se pak přivádí přes vývod 07 na synchronizační demodulátor. V příme, nezpožděné větví je zařazen napěťový dělič, který slouží jako zeslabovač barvového signálu. Smyslem jeho funkce je zmenšit úroveň signálu o největší útlum shodně s útlumem zpoždovací linky. Pomocí nastavovacího rezistoru na vývodu 07 lze vždy porovnávat a vyvážovat úroveň signálu ze zpožděného kanálu k signálu z kanálu přímého, který se pak přivádí na synchronizační demodulátor.

Galvanickou vazbu v přímé věti se přenáší na synchronizační demodulátor spolu s nosným kmitočtem barvového rozdílového signálu rovněž úroveň stejnosměrného napětí. Toto stejnosměrné napětí je ve zpožděné věti přerušeno zpoždovací linkou. Proto se stejnosměrné napětí na vývodu 06 z přímého signálu používá jako předpětí pro zpožděný signál. Nosná rozdílová signál barvy se synchronizovaně demoduluje v dvojčinném spínacím stupni, konstruovaném jako křížově vázaný diferenční zesilovač. Jeho emitoru se řídí z prourových zdrojů, které jsou modulovány signálem nosného kmitočtu rozdílových signálů barvy. Křížově vázané dvojčinné stupně jsou řízeny referenčním signálem získaným ze signálu pomocného nosného kmitočtu barvy.

Součet a rozdíl nosného rozdílového signálu barvy se vytváří vhodně zapojeným rozdílovým zesilovačem v synchronním demodulátoru, v němž se bifilárním vinutím rozděluje v důsledku paralelního provozu zpoždovací linky „dvounormového“ dekodéru. Demodulované signály přicházejí přes koncový

stupeň jako záporné rozdílové signály barvy na výstupy (vývody 10 a 11), od kud je můžeme odebírat k dalšímu zpracování v integrovaném obvodu A3510D, který slouží jako „obrazová kombinace“.

Synchronní demodulátory vyklikují během řádkového a zatemňovacího intervalu v impulsním klíčovacím stupni (a společně s výstupním stupněm přepojí posuvem stejnosměrné úrovně na výstupní emitorové sledovače) ty vstupní signály, které nemají charakter signálu PAL.

Odpojovat výstupy obvodu A3510D je nutné v důsledku paralelního provozu s obvodem dekodéru SECAM A3520D, jak již bylo uvedeno při přepínání budiče pro zpoždovací linku. Stejnosměrné napěťové skoky na rozdílových výstupech barev musí být dostatečně pomalé, čímž se zamezí rušivému zbarvení obrazu — toho se dosáhne přepínáním zvláštěho stupně pro posuv úrovně stejnosměrného napětí. Rychlostní skok je určen kapacitou použitého vnějšího kondenzátoru na vývodu 08.

Referenční signály nosného kmitočtu s určitou fází, potřebné pro synchronní demodulaci (je to vlastně spínací napětí), se získávají pomocí krystalem řízeného referenčního oscilátoru s kmitočtem o dvojnásobku kmitočtu nosné barvy, z přivedeného synchronizačního signálu barev přes fázovou regulační smyčku. Fáze se porovnává na kmitočtu nosné barvy, který se získá dělením 2:1 při požadované fazi 90°. Jako referenční signál (R-Y) a (B-Y) se pak přivádí na synchronizační demodulátor. Synchronní signál barev, potřebný pro

porovnávání fáze, se získá v klíčovém zesilovacím stupni burstu. Dodačovací napětí, odvozené z fázového diskriminátoru, se filtrace na vývodech 12 a 13 připojených členem RC, čímž jsou pevně dány dynamické vlastnosti fázovacího regulačního obvodu.

Předtím než referenční signál (R-Y) vybudí synchronní demodulátor, realizuje spínač PAL řádkově alternující fázové přepnutí o 180° tohoto signálu. Správná sekvence spínače PAL se odvodí z fáze alternujícího barvového synchronizačního signálu ve fázovém diskriminátoru, který dodává přes demodulátor H/2 a klopný obvod PAL fázově správný spínač signál s kmitočtem poloviny řádku pro spínač PAL. Uvolňovací signál klopného obvodu PAL se získá porovnáním s kmitočtem burstu v demodulátoru H/2 a přivede přes identifikační zapojení na prahový detektor. K dosažení velkého odstupu rušení pro identifikaci a synchronizaci PAL se demodulátor H/2 provozuje v klíčovaném režimu. Identifikační zapojení řídí rovněž při scházejícím synchronizačním signálu barev nebo při nesprávné sekvenci Schmittův klopný obvod, který barvu zpožděně odpoji. Časová konstanta se určuje kapacitou kondenzátoru, připojeného k vývodu 19. Regulační napětí zesilovače barev se získá z neklíčovaného a nevyhlazeného signálu demodulátoru H/2 usměrňovačem „kvazivrcholové“ hodnoty. Regulační napětí se pak přivádí přes regulační ze-

2) Tvar impulsu SCI (typu sandcastle — pískového hradu), přivedeného na vývod 20, je definován na obr. 55.

$$U_{5\text{M/M}} (\text{s přepnutím fáze chrominance})$$

$$4) d_5 = 20 \lg \frac{U_{5\text{M/M}} (\text{s přepnutím fáze chrominance})}{U_{5\text{M/M}} (\text{bez přepnutí fáze chrominance})}$$

silovač na vývod 22, kde se vyhlaďí a přivede na říditeľný zpětnovazební odpor v zesilovači barvy.

Potřebné klíčovací impulsy burstu pro řízení klopného obvodu PAL, klíčovaného zesilovače burstu, demodulátoru H/2 a vykličovacího stupně ve výkonovém budiči, stejně tak vykličované rádkové a obrazové impulsy se odvozují v prahovém detektoru z kombinovaného klíčovaného signálu, přiváděného na vstupní vývod 20. Vyházení dekódérů PAL se omezuje pouze na vyvážení amplitudy demodulátoru zpoždění a volnoběžného kmitočtu referenčního oscilátoru.

Integrovaný obvod A3510D je funkční obdobou dekódéru PAL výrobce Philips — Valvo — RTC — Mullard typu TDA3510.

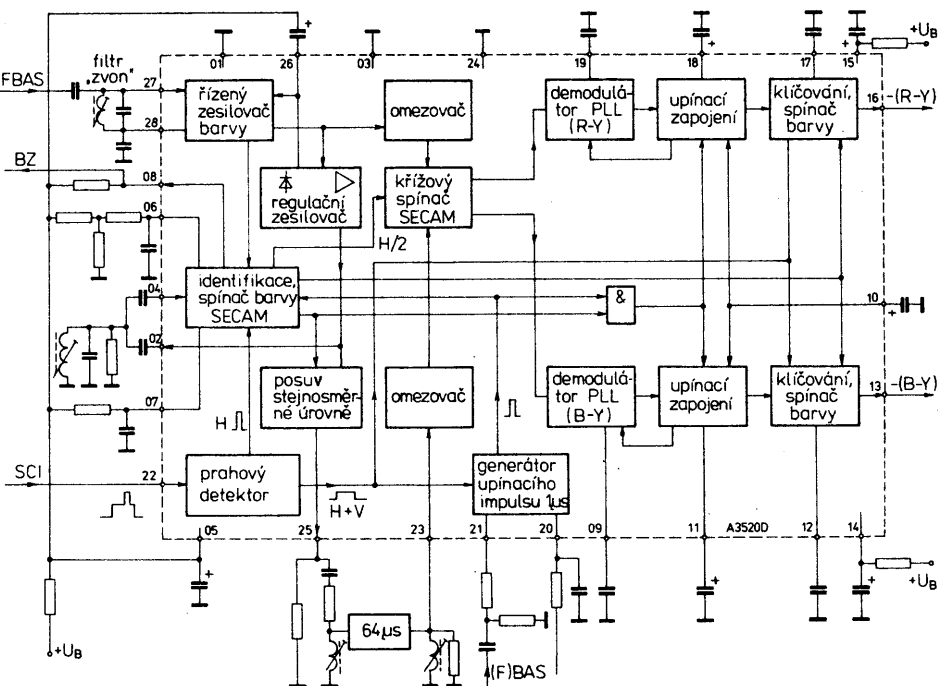
#### Dekodér SECAM A3520D

Integrovaný obvod A3520D sdružuje všechny funkční skupiny, potřebné pro získání obou rozdílových signálů (R-Y) a (B-Y) barvy ze signálu SECAM. Obvod se může používat v přijímačích pro příjem signálů v normě SECAM i v „dvounormových“ přijímačích ve spojení s dekodérem PAL typu A3510D. Funkční skupinové zapojení obvodu je na obr. 56.

Integrovaný obvod A3520D sdružuje následující funkční skupiny:

- část s řízeným zesilovačem barvy a odpojovatelným budičem zpoždovací linky, omezovači pro přímý a zpožděný signál,
- křížový spínač SECAM,
- demodulační část s demodulátorem PLL (R-Y) a (B-Y) s automatickou upínací úrovni (odvozenou z kmitočtu  $f_0$ ), rozdílové výstupní stupně barvy s odpojovacím barvy,
- obvod pro úpravu impulsů prahovým detektorem,
- obvod, v němž vznikají zpožděné impulsy s délkou 1  $\mu$ s pro upínání a identifikaci,
- identifikaci (na bázi kmitočtu  $f_0$ ), klopny obvod SECAM, odpojovač barvy.

Elektrické údaje obvodu A3520D jsou v tab. 15. Součástka se dodává v plastovém pouzdru DIL s 2x čtrnácti vývody ve dvou řadách. Funkce vývodů: 01 — přípoj blokovacího kondenzátoru signálu barvy, 02 — vstup identifikačního obvodu, 03 — zemnický bod, 04 — výstup identifikačního obvodu, 05 — přípoj kladného napájecího napětí  $+U_{CC}$  (mimo demodulátor), 06 — přípoj vnějšího identifikačního členu RC, 07 — přípoj členu RC pro zapínání barvy, 08 — výstup nezpožděného spínacího signálu barvy, 09 — přípoj kondenzátoru oscilátoru rozdílového signálu barvy (B-Y), 10 — přípoj vyhlažovacího kondenzátoru demodulátoru, 11 — přípoj paměťového kondenzátoru úrovně černé rozdílového signálu barvy (B-Y), 12 — přípoj kondenzátoru deemfáze rozdílového signálu barvy (B-Y), 13 — výstup rozdílového signálu barvy (B-Y), 14 — přípoj napájecího napětí  $+U_{CC}$  demodulátoru (B-Y), 15 — přípoj napájecího napětí  $+U_{CC}$  demodulátoru (R-Y), 16 — výstup rozdílového signálu barvy (R-Y), 17 — přípoj kondenzátoru deemfáze (R-Y), 18 — přípoj paměťového kondenzátoru úrovně černé rozdílového signálu barvy (R-Y), 19 —



Obr. 56. Funkční skupinové zapojení A3520D se základními vnějšími součástkami

přípoj kondenzátoru oscilátoru rozdílového signálu barvy (R-Y), 20 — přípoj členu RC pro zpoždění 1  $\mu$ s, 21 — vstup synchronizačního signálu, 22 — vstup impulsu SCI, 23 — vstup zpožděného barvového signálu (ze zpoždovací linky), 24 — zemnický bod, 25 — výstup barvového signálu (ke zpoždovací linky), 26 — vyhlažení regulačního napětí, 27 — vstup úplného barevného signálu FBAS, 28 — přípoj vyhlažovacího kondenzátoru zvonového filtru.

Barevný signál SECAM se přivádí přes vývod 27 na vstup řízeného zesilovače barvy, který je zapojen jako zpětnovazební rozdílový stupeň. Vývod zesilovače 28 se pro střídavé proudy musí uzemnit. Předpřetí báze se přivádí přes cívku laděného obvodu filtru „zvonového“ typu na vývody 27 a 28.

Mezi emitoru tranzistorů rozdílového stupně jsou regulovatelné zpětnovazební rezistory, které ovlivňují zesílení stupně v závislosti na úrovni vstupního signálu. Jejich odpory je řízen ze zesilovače regulačního napětí. Regulační napětí vzniká usměrněním signálového napětí. Potřebný vyhlažovací kondenzátor se připojuje k vývodu 26. Signál barvy prochází k omezovacímu zesilovači v přímém kanálu, k fázovému diskriminátoru identifikačního zapojení a k zesilovacímu stupni. Takto zesílený signál SECAM přichází pak přes vývod 02 na vnější identifikační obvod a přes obvod posuvu úrovně stejnosměrného napětí do budičiho stupně ultrazvukové zpoždovací linky.

Obvod pro odpojení barvy řídí úroveň stejnosměrného napětí emitorového sledovače, který spíná výkonový budič s příchodem vstupního napětí SECAM (s příchodem signálu PAL nebo černobilého signálu jej naopak vypíná). Signál barvy pak postupuje přes vývod 25 na zpoždovací linku a přes vývod 23 na omezovací zesilovač zpožděného signálu. Na omezovač v přímém nebo zpožděném signálu působí křížový spínač SECAM, který se spíná klopným obvodem SECAM. Ve správné sekvenci pak přepíná zpožděné a přímé signály na příslušné demodulátory. Křížový spínač se

skládá ze dvou páru křížově vázaných rozdílových zesilovačů, zapojených ve výstupech omezovacích stupňů. Řízeny jsou klopným obvodem SECAM v bázích, obdělníkovým signálem s kmitočtem poloviny rádu.

Kmitočtově modulované signály barvy postupují z rozdílových výstupů křížového spínače na demodulátory FM PLL, které tvoří demodulační systém bez nutnosti využívání. Tyto demodulátory se v podstatě skládají z fázového porovnávacího obvodu a napěťové řízeného oscilátoru. Jako referenční kmitočet se používají oba klidové nosné kmitočty SECAM, které se zaklívají speciálním klíčovacím impulsem pro fázové porovnávání během zpětného běhu úrovně černé a doladí napěťové řízeným oscilátorem.

„Volnoběžné“ kmitočty napěťové řízeného oscilátoru VCO se určují kapacitami vnějších kondenzátorů, připojených k vývodům 9 a 10. Výstupní signály fázových diskriminátorů během viditelného rádu tvoří demodulované záporné rozdílové signály —(R-Y), po-příp. —(B-Y), které ještě procházejí deemfází, vytvořenou vnějšími kondenzátory, připojenými k vývodům 12 a 17. Po průchodu spinatelným výstupním stupněm jsou pak k dispozici na vývodech 13 a 16 pro další zpracování v obvodu obrazové kombinace A3501D.

Zaklíváním obou klidových kmitočtů nosné barvy během horizontálního zatemňovacího intervalu bude regenerována vztažná úroveň pro rozdílové signály barvy v každém rádu. Tím je zajistěna velká stabilita upínacího zapojení. Klíčovací impuls pro zaklívání klidových kmitočtů nosné barvy se získává z generátoru upínacích impulsů, který pracuje s rádkovým synchronizačním impulsem, na vývodu 21. Upínací impuls délky 1  $\mu$ s leží na zadní úrovni černého signálu BAS, časově přesně tak, aby se již klidové kmitočty SECAM objevily, ale zatemňovací interval ještě trval.

K řízení klopného obvodu SECAM obsahuje systém obvodu A3520D identifikační zapojení, které je potřebné

Tab. 15. Elektrické údaje A3520D

Mezní údaje Platí v celém rozsahu provozních teplot okolí			
Napájecí napětí:	$U_{CC} = U_5 = U_{14} = U_{15} = 10,8 \text{ až } 13,2 \text{ V}$	Saturační napětí spínacího stupně barvy barva vypnuta $U_{27/28} = 0 \text{ V}, U_6 = 7,7 \text{ V}, U_{22} = 1 \text{ V}$ , $I_8 = 5 \text{ mA}$ :	$U_{8 \text{ sat}} \leq 500 \text{ mV}$ .
Proudový vývod č. 08: vývod č. 13: vývod č. 16: vývod č. 25: Ztrátový výkon celkový: Rozsah provozních teplot okolí:	$I_8 \leq 5 \text{ mA}$ , $-I_{13} \leq 5 \text{ mA}$ , $-I_{16} \leq 5 \text{ mA}$ , $-I_{25} \leq 12 \text{ mA}$ , $P_{\text{tot}} \leq 1,7 \text{ W}$ . $\theta_a = 0 \text{ až } 70^\circ \text{C}$ .	Výstupní proud spínacího stupně barvy modré žádečky $U_8 = U_{CC}, U_6 = 2 \text{ V}$ : Stejnosměrné napětí na výstupech rozdílového signálu barev $U_{27/28} = 0 \text{ V}, U_{22} = 1 \text{ V}$ :	$I_8 \leq 10 \mu\text{A}$ .
Charakteristické údaje ( $\theta_a = 25^\circ \text{C}, U_{CC} = 12 \text{ V}$ )		Saturační napětí barvy barva vypnuta, $I_{20} = 1 \text{ mA}, U_{21} = 0 \text{ V}, U_{22} = 2 \text{ V}$ : barva zapnuta, $I_{20} = 1 \text{ mA}, U_{21} = 0 \text{ V}, U_{22} = 1 \text{ V}$ :	$U_{20 \text{ sat}} \leq 500 \text{ mV}$ .
Výstupní napětí rozdílového signálu barev signál (R-Y), $U_{27/28 \text{ M/M}} = 100 \text{ mV}, U_6 = 2 \text{ V}^{(13)45)$ : signál (B-Y), $U_{27/28 \text{ M/M}} = 100 \text{ mV}, U_6 = 2 \text{ V}^{(13)45)}$ : Poměr rozdílových signálů barev $U_{27/28 \text{ M/M}} = 100 \text{ mV}, U_6 = 2 \text{ V}^{(13)45)}$ :	$U_{16/3 \text{ M/M}} = 0,74 \text{ až } 1,48 \text{ V}$ , $U_{13/3 \text{ M/M}} = 0,94 \text{ až } 1,88 \text{ V}$ , $\frac{U_{16/3 \text{ M/M}}}{U_{13/3 \text{ M/M}}} = 0,71 \text{ až } 0,87$ .	Stejnosměrné napětí na výstupu barev $U_6 = 7 \text{ V}, U_{27/28} = 0 \text{ V}$ , barva vypnuta: $U_6 = 6 \text{ V}, U_{27/28} = 0 \text{ V}$ , barva zapnuta: Výstupní napětí výstupu barev <sup>9)</sup> $U_{27/28 \text{ M/M}} = 100 \text{ mV}, U_6 = 2 \text{ V}^{(12)45)}$ : $U_{27/28 \text{ M/M}} = 200 \text{ mV}, U_6 = 2 \text{ V}^{(12)45)}$ : Útlum signálu barev <sup>11)</sup> $U_{27/28 \text{ M/M}} = 200 \text{ mV}, U_6 = 7,7 \text{ V}^{(13)45)}$ :	$U_{25} \leq 5,5 \text{ V}$ , $U_{25} \geq 7,0 \text{ V}$ . $U_{25/24 \text{ M/M}} \geq 1,8 \text{ V}$ , $U_{25/24 \text{ M/M}} \leq 3,4 \text{ V}$ . $a_{25/24} \geq 56 \text{ dB}$ .
Útlum signálu $U_{27/28 \text{ M/M}} = 200 \text{ mV}, U_6 = 7,7 \text{ V}^{(13)45)}$ :	$a_{16} \geq 60 \text{ dB}$ , $a_{13} \geq 60 \text{ dB}$ .	Útlum přeslechu rozdílového signálu barev <sup>11)</sup> $U_6 = 2 \text{ V}, U_{27/28 \text{ M/M}} = 100 \text{ mV}^6)$ : $U_6 = 2 \text{ V}, U_{27/28 \text{ M/M}} = 100 \text{ mV}^7)$ :	$a_{16/13} \geq 32 \text{ dB}$ , $a_{13/16} \geq 32 \text{ dB}$ .
Spotřeba napájecího proudu $U_{27/28} = 0 \text{ V}, U_{22} = 1 \text{ V}$ :	$I_{CC} \leq 110 \text{ mA}$ .	Výstupní napětí pro identifikaci $U_{27/28 \text{ M/M}} = 100 \text{ mV}$ :	$U_{2 \text{ M/M}} \geq 2,2 \text{ V}$ .
		Výstupní napětí H/2 <sup>10)</sup> $R_L = 3,9 \text{ k}\Omega, U_{27/28 \text{ M/M}} = 100 \text{ mV},^{(12)45)}$ :	$U_{8 \text{ M/M}} \geq 1,5 \text{ V}$ .

1) Bez vf preemfáze.

2)  $f_{(B-Y)} = 4,250 \text{ MHz}, \Delta f_{(B-Y)} = 0$ ;  
 $f_{(R-Y)} = 4,406 \text{ MHz}, \Delta f_{(R-Y)} = 0$ .3)  $f_{(B-Y)} = 4,250 \text{ MHz}, \Delta f_{(B-Y)} = 230 \text{ kHz}$ ;  
 $f_{(R-Y)} = 4,406 \text{ MHz}, \Delta f_{(R-Y)} = 280 \text{ kHz}$ .

4) Signál na vývodu 22: Kladný vyklíčovaný řádkový impuls, amplituda impulsu 4 V.

5) Signál na výstupu 21: 0,4 V; 0 V.

6) Útlum přeslechu je dán vztahem:

$$a_{13/16} = 20 \log \frac{U_{13}}{U_{13}^{(13)45)} \left[ \begin{array}{l} f_{(R-Y)} = 4,406 \text{ MHz}, f_{(R-Y)} = 280 \text{ kHz} \\ f_{(B-Y)} = 4,250 \text{ MHz}, f_{(B-Y)} = 0 \end{array} \right]}$$

7) Útlum přeslechu je dán vztahem:

$$a_{16/13} = 20 \log \frac{U_{16}}{U_{16}^{(12)45)} \left[ \begin{array}{l} f_{(R-Y)} = 4,406 \text{ MHz}, f_{(R-Y)} = 0 \\ f_{(B-Y)} = 4,250 \text{ MHz}, f_{(B-Y)} = 230 \text{ kHz} \end{array} \right]}$$

z důvodu přepínání klopného obvodu řádkovým kmitočtem, a dále pro správnou funkci a sekvenci křížového spínače. V identifikačním zapojení se odvodí z klidových kmitočtů nosné SECAM na zadní úrovni černé identifikační signál a spínací signál barev. K vyvážení na aritmetickou střední hodnotu tohoto burstu signálu SECAM slouží paralelní laděný obvod, připojený vně obvodu k vývodům 02 a 04. Laděný obvod pracuje s vnitřním fázovým diskriminátorem, címž je zajištěna sekvence červeného a modrého řádku. Současně s tím synchronně pracuje klopný obvod SECAM se spínacím rytmem vstupního signálu.

Přejde-li klopný obvod SECAM ze synchronní sekvence, nebo není-li přijímán barevný signál SECAM, vyrobí identifikační zapojení přes spínač prahových úrovní určité spinaci napěti, jež odpojí výstupní stupně a výkonový budící tranzistor. Tím se umožní paralelní provoz s dekódérem PAL A3510D.

Potřebné klíčovní impulsy k řízení klopného obvodu SECAM, generátoru upínacích impulsů a vyklíčovacího stupně na rozdílových výstupech barev se odvozují v prahovém detektoru z kombinovaných klíčových impulsů SCI, které se přivádějí na výstupní vývod 22.

Vyvažování dekódéru SECAM se omezuje na nejjednodušší postupy ja-

ko je správné nastavení „zvonového“ filtru, neboť zvolený způsob demodulace FM nepotřebuje žádné složité postupy vyvažování.

Integrovaný obvod A3520D je zdařilou obdobou analogického typu Philips-Valvo-RTC-Mullard TDA3520, od něhož se svou funkcí neliší, i když některé elektrické parametry nemá definovány shodně.

#### Obrazová kombinace pro barevné televizní přijímače, A3501D

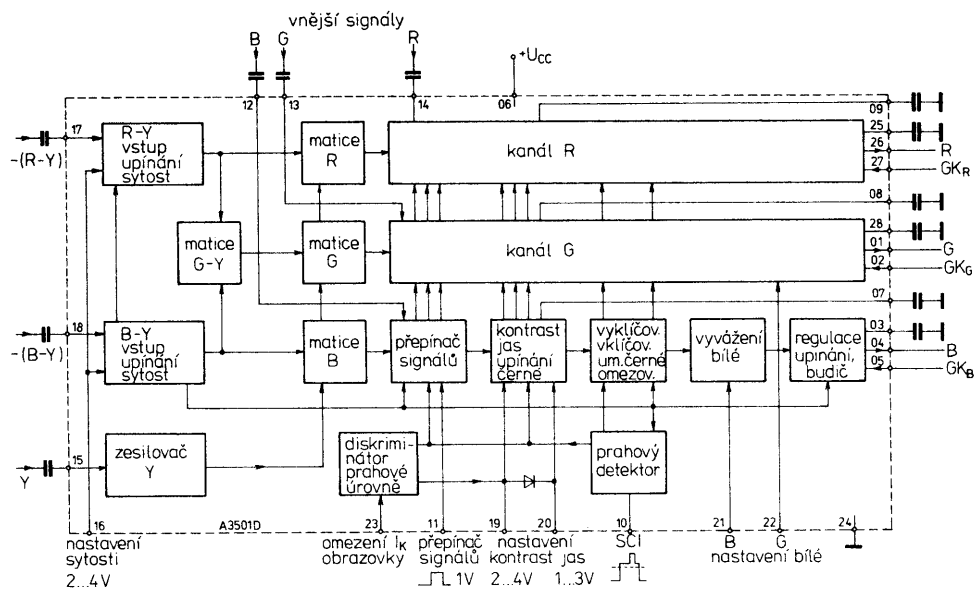
Integrovaný obvod A3501D sdružuje na společném čipu všechny funkční skupiny, které jsou potřebné pro zpracování jasového signálu a referenčních signálů barev nutných k řízení koncových obrazových stupňů R, G, B. Vnějšími stejnosměrnými napětími dále umožnuje nastavení sytosti barev, kontrastu a jasu, jakož i vnitřní zaclonění R, G, B.

Funkční skupinové zapojení obvodu je na obr. 57, elektrické údaje jsou v tab. 16. Systém integrovaného obvodu sdružuje následující funkční skupiny:

- lineární nastavování sytosti barev vstupními barvovými rozdílovými signály,
- maticy (G-Y) a R, G, B,
- přepínač zdroje signálu pro lineární zaclonění R, G, B,

- klíčování úrovně černé pro maticování a zaclonění signály,
- tři shodné kanály pro zpracování signálů R, G, B (kanály B, G s vyvážením bílé),
- lineární nastavování kontrastu a jasu,
- obvod pro vyklíčování horizontálních a vertikálních signálů, prahový detektor kombinovaných klíčovaných impulsů,
- diferenční zesilovač se zpětnovazebním vstupem pro stabilizaci koncových stupňů R, G, B,
- dva elektronické potenciometry pro vyvážení bílé v kanálu zelené a modré,
- obvod pro omezení špičkového proudu elektronového paprsku obrazovky.

Integrovaný obvod A3501D se dodává v plastovém pouzdru DIL-28 s 2x 13 trnnatými vývody ve dvou řadách s rastrem 2,54 mm a odstupem řad 15,4 mm. Funkce vývodů: 01 — výstup zelené, 02 — zpětnovazební vstup zelené, 03 — přípoj paměťového kondenzátoru pro řízení upínání ve výstupním obvodu modré, 04 — výstup modré, 05 — zpětnovazební vstup modré, 06 — přípoj kladného napájecího napěti, 07 — přípoj paměťového kondenzátoru pro řízení upínání na stavovacím stupni jasu modré, 08 — přípoj paměťového kondenzátoru pro řízení upínání v nastavovacím stupni jasu zelené, 09 — přípoj paměťového kondenzátoru pro řízení upínání na-



Obr. 57. Funkční skupinové zapojení obvodu A3501D se základními vnějšími součástkami

stavovacím stupni jasu červené, 10 — vstup tříúrovňového složeného synchronizačního impulsu SCI, 11 — vstup pro přepínání signálů, 12 — vstup vnějšího signálu modré B, 13 — vstup vnějšího kanálu zelené G, 14 — vstup vnějšího signálu červené R, 15 — vstup signálu Y, 16 — vstup pro nastavení sytosti, 17 — vstup rozdílové barvy červené, 18 — vstup rozdílové barvy modré, 19 — vstup pro nastavení kontrastu, 20 — vstup pro nastavení jasu, 21 — vstup pro nastavení zesilovače modré, 22 — vstup pro nastavení zesilovače zelené, 23 — vstup pro nastavení omezování proudu paprsku obrazovky, 24 — zemnický bod, 25 — přípoj paměťového kondenzátoru pro řízení upínání ve výstupním obvodu červené, 26 — výstup červené, 27 — zpětnovazební vstup červené, 28 — přípoj paměťového kondenzátoru pro řízení upínání ve výstupním obvodu zelené.

Rozdílové signály  $-(R-Y)$  a  $-(B-Y)$  z dekodérů barev se přivádějí přes kondenzátory na vývody 17 a 18 integrovaného obvodu A3501D. Oddělovači kondenzátory slouží k oddělení obvodu od stejnosměrných složek, které mohou být součástí přiváděných rozdílových signálů barev. Během zadní úrovni černé následuje vnitřní upínání na úroveň stejnosměrného napětí, čímž se dosáhne srovnatelné stabilní úrovni stejnosměrného napětí.

Za upínacím regulačním stupněm následují na obou rozdílových kanálech barvy elektronické potenciometry, které slouží k nastavování sytosti barev vnějším řídicím stejnosměrným napětím, jež se přivádí na vývod 16. V matici (G-Y) se pak vytvoří signál (G-Y) z rozdílových signálů barev (R-Y) a (B-Y), odpovídající dematicové rovnici.

$$(G-Y) = -0,51 (R-Y) - 0,19 (B-Y).$$

(Signál je v praxi vytvořen integrovanou vnitřní odporovou kombinací.)

Jasový signál Y, který je potřebný k vytvoření signálů R, G, B, se přivádí přes zpožďovací linku (slouží k vyrovnání doby dekódování) na vývod 15. Signály R, G, B se vytvářejí ve třech

oddělených maticových stupních, ve kterých se přičítá jasový signál Y k rozdílovým signálům (R-Y), (G-Y) a (B-Y). Za maticovými stupní jsou zařazeny zesilovači stupně, které jsou vybaveny přepínači zdroje signálu a ovládají se řídicím signálem, přiváděným na vývod 11.

V závislosti na zmíněném spínacím napěti procházejí do kanálových zesilovačů bud signály R, G, B z maticových stupní nebo vnější signály R, G, B, které jsou přiváděny kapacitní vazbou na vývody 12, 13 a 14. Uvedené tři vývody se během zadní úrovni černé připojují na úroveň černé maticového stupně. Při přepnutí zdroje signálu jsou proto skoky v úrovni černé zanedbatelné malé.

Funkce upínacího zapojení předpokládá synchronismus vnitřních a vnějších signálů R, G, B. Po přepnutí signálu následují v každém ze tří zesilovacích kanálů samostatné stupně, sloužící k nastavování kontrastu a jasu.

Zapojení pro nastavování kontrastu je vybaveno podobným elektronickým potenciometrem, jakého se používá při nastavování sytosti barev. Kontrast všech tří kanálů se současně řídí pomocí jednoho stejnosměrného napěti, jež se přivádí na vývod 19. V nastavovacím stupni jasu se úroveň černé signálů R, G, B přivede na úroveň stejnosměrného napěti, což se zajišťuje též vnějším řídicím stejnosměrným napětím, přivedeným na vývod 20. V tomto stupni je použito regulační zapojení, které se klíče během zadní úrovni černé. Vnější kondenzátory na vývodech 7, 8, 9 slouží k akumulování regulačních veličin úrovni signálů barev mimo dobu klíčování.

Za nastavovacími stupni kontrastu a jasu následují vyklíčovací stupně, v nichž se pomocí vyklíčovacích horizontálních a vertikálních impulsů, které se získávají z kombinovaného tříúrovňového klíčového impulsu SCI, upnou na úroveň černé, popř. ultračerné. Rozštěpení kombinovaného impulsu SCI, který se přivádí vývodem 10, přejímá diskriminátor prahové úrovni, v němž se pak vyrábí jednotlivé časově omezené klíčovací signály. Na výstupu diskriminátoru je k dispozici impuls, určený k upínací vstup-

nich stupňů, externích signálů R, G, B, řízení upínání v nastavovacím stupni jasu a koncových stupních.

Po klíčovacích stupních následují omezovací stupně pro všechny tři zesilovací kanály, které omezením zpracovávaných signálů zabraňují přebuzení tranzistorů koncových stupní. Za omezovacími stupni v kanálu modré a zelené jsou zařazeny elektronické potenciometry, jimiž se řídí vyvážení bílé pomocí stejnosměrného napětí, přiváděného na vývody 21 a 22. Zesilení v kanálu červené je pevně nastaveno vnitřní úpravou.

Za vyrovnavacími stupni bílé je v každém kanálu zařazen regulační stupeň upínání a budicí stupeň, které jako rozdílový zesilovač budí přes vývody 04, 01 a 26 koncové stupně obrazových zesilovačů. Z důvodu stabilizace pracovního bodu a linearizace kmitotového přenosu jsou koncové stupně vázány na rozdílové zesilovače pomocí vývodů 05, 02 a 27.

Zpětnovazební signály na vývodech 05, 02 a 27 přicházejí rovněž na vnitřní upínací regulační stupně. Během klíčování je tak připojen přes klíčovací stupně a obvod zpětné vazby ke každému barevnému kanálu druhý uzavřený regulační obvod s velkým zesílením smyčky. Tímto způsobem se stabilizuje úroveň stejnosměrného napěti signálů barvy na katodách obrazovky, která pak slouží jako vztažná hodnota průběhu signálu mimo dobu klíčování a je akumulována vnějšími kondenzátory, připojenými k vývodům 03, 25 a 28.

Trvale působící vazba na budicích stupních se může v důsledku jakosti regulačního obvodu zmenšit na velikost, která je potřebná pro optimální přenosové vlastnosti. K vývodu 23 integrovaného obvodu je připojen diskriminátor prahové úrovni, jež slouží k vyhodnocení vrcholového proudu elektronového paprsku (katodového proudu) obrazovky a přímo ovlivňuje nastavovací stupně kontrastu a jasu, čímž chrání barevnou obrazovku před nebezpečnými nadměrnými vrcholovými proudy katody.

Všechny elektrické vlastnosti integrovaného obvodu A3501D jsou v tab. 16. Jmenovitý rozkmit signálu pro dosažení 75 % hodnoty barvy udávají pracovní podmínky napětí barev, jasového a vnějších signálů barev:

$U_{R-Y}$	1,05 V,
$U_{B-Y}$	1,33 V,
$U_Y$	1,0 V,
$U_{(R, G, B)}$ ext1,0 V.	

Integrovaný obvod A3501D je funkční analogem integrovaného obvodu výrobce Philips — Valvo — RTC — Mullard typu TDA3501.

#### Popis činnosti integrovaného dekodéru II. generace

Základní funkční skupinové zapojení dekodéru PAL/SECAM je navrženo na obr. 58. V podstatě se dekodér skládá ze tří funkčních částí, které jsou sdruženy výždy do společného systému jednoho ze tří již popsáných integrovaných obvodů. Ke zpracování signálu PAL slouží integrovaný obvod A3510D, signálu SECAM obvod A3520D. Poslední z popsáných obvodů, typ A3501, zpracovává signály barev a signál jasový.

Systémově potřebný signál barev vyžaduje, aby signál FBAS prošel pás-

Tab. 16. Elektrické údaje obvodu A3501D

Mezní údaje Údaje platí v celém rozsahu provozních teplot okolí	
Napájecí napětí:	$U_{CC} = 10,8$ až $13,2$ V.
Výstupní napětí na 01, 04, 26:	$U_1, U_4, U_{26} = U_{CC}/2$ až $U_{CC} + 1$ V.
Vstupní napětí zpětnovazební:	$U_2, U_5, U_{27} = 0$ až $U_{CC}$ .
Regulační napětí vnitřně nastavené vstupů 03, 25, 28:	$U_3, U_{25}, U_{28} = 1$ ,
vstupů 07, 08, 09:	$U_7, U_8, U_9 = 1$ ,
Vstupní napětí klíčovací:	$U_{10} = 0$ až $U_{CC}$ .
Vstupní napětí pro přepnutí signálu:	$U_{11} = -0,5$ až $+3$ V.
Vnější signál pro zaclonění:	$U_{12}, U_{13}, U_{14} = 1$ .
Vstupní napětí pro nasycení barvy:	$U_{16} = 0$ až $U_{CC}/2$ .
Vstupní napětí pro řízení kontrastu:	$U_{19} = 0$ až $U_{CC}/2$ .
Vstupní napětí pro řízení jasu:	$U_{20} = 0$ až $U_{CC}/2$ .
Vstupní jasový signál Y:	$U_{15} = 1$ .
Vstupní signál rozdílu barev:	$U_{17}, U_{18} = 1$ .
Vstupní signál pro dynamické řízení bílé:	$U_{21}, U_{22} = 0$ až $U_{CC}$ .
Vstupní napětí pro omezení proudu katodového paprsku:	$U_{23} = 0$ až $U_{CC}$ .
Vstupní proud řízení jasu:	$I_{20} \leq 5$ mA.
Ztrátový výkon celkový:	$P_{tot} \leq 1,7$ W.
Rozsah provozních teplot okolí:	$\theta_a = 0$ až $70$ °C.

<sup>1)</sup> K vývodu se nesmí připojit žádné vnější stejnosměrné napětí.

Charakteristické údaje A3501D	
Statické údaje ( $\theta_a = 25$ °C, $U_{CC} = 12$ V)	
Celkový odber proudu:	$I_{CC} \leq 122$ mA.
Vstupní proud rozdílu barev	$I_{17}, I_{18} \leq 2$ µA.
$U_{10} = 6,5$ V, $U_{18} = 4,2$ V;	
Vstupní proud pro zaclonění	
$U_{10} = 1$ V, $U_{11} = 1$ V,	$I_{14} \leq 5$ µA,
$U_{14} = 3,5$ V;	$I_{13} \leq 5$ µA,
$U_{13} = 3,5$ V;	$I_{12} \leq 5$ µA.
$U_{12} = 3,5$ V;	$-I_{10} \geq 100$ µA.
Vstupní proud klíčovacího vstupu	
$U_{10} = 0$ V:	
Vstupní proud pro nasycení barvy	
$U_{16} = 4$ V:	$I_{16} \leq 20$ µA.
Vstupní proud řízení kontrastu	
$U_{19} = 4$ V, $U_{20} = 3$ V:	$I_{19} \leq 2,5$ µA.
Vstupní proud řízení jasu	
$U_{19} = 4$ V, $U_{20} = 1$ V:	$-I_{20} \geq 10$ µA.
Výstupní proud vrcholový	
$U_{27} = 9$ V, $U_{26} = 8,2$ V;	$-I_{26} \leq 4$ mA,
$U_{2} = 9$ V, $U_{1} = 8,2$ V;	$-I_{1} \leq 4$ mA,
$U_{5} = 9$ V, $U_{4} = 8,2$ V;	$-I_{4} \leq 4$ mA.
Vstupní napětí zpětné vazby během vyklíčování	
$U_{10} \geq 7,5$ V:	$U_{27}, U_2, U_5 = 5,87$ až $6,03$ V.

Informativní údaje	
Prepnutí signálu (vývod 11):	
Signál pro zaclonění:	$U_{11} \geq 0,9$ V.
Signál pro otevření clony:	$U_{11} \leq 0,3$ V.
Detektor SCI (sandcastle) – vývod 10:	
Horizontální a vertikální impuls (vyklíčování na ultračernou):	$U_{10} = 2$ až $3$ V.
Horizontální impuls (vyklíčování umělé černé):	$U_{10} = 4$ až $5$ V.
Upínací impuls	
$t_{ip} > 3,5$ µs:	$U_{10} \geq 7,5$ V.

Dynamické údaje	
Platí při $\theta_a = 25$ °C, $U_{CC} = 12$ V, $U_{16} = 3$ V,	
$U_{19} = 3,4$ V, $U_{20} = 2,7$ V,	
není-li uvedeno jinak	
Chyba matic (G–Y) <sup>1)</sup>	$ FM  \leq 5\%$ .
$U_{17}, U_{18} = 890$ mV <sup>2), 3):</sup>	
Jmenovitý zesílení mezi vstupy rozdílu barev a vstupy zpětné vazby:	$A_u 17/27 = -2$ až $+0,5$ dB, $A_u 18/5 = -2$ až $+0,5$ dB.
Jmenovitý zesílení mezi vnějšími vstupy R, G, B a vstupy zpětné vazby, $U_{11} = 1$ V:	$A_u 14/27 = -1$ až $+1$ dB, $A_u 13/2 = -1$ až $+1$ dB, $A_u 12/5 = -1$ až $+1$ dB.

Jmenovitý zesílení mezi vstupem Y a vstupy zpětné vazby:	$A_u 15/27 = 8$ až $11$ dB, $A_u 15/2 = 8$ až $11$ dB, $A_u 15/5 = 8$ až $11$ dB.
Regulační rozsah nastavení sytosti vztázený k jmenovitému zesílení $U_{16} = 4$ V, $U_{17}, U_{18} = -890$ mV <sup>2)</sup> <sup>3)</sup> :	$\Delta A_u 18/5 \max \geq 5,5$ dB, $\Delta A_u 17/27 \max \geq 5,5$ dB; $\Delta A_u 18/5 \leq -20$ dB; $\Delta A_u 17/27 \leq -20$ dB; $\Delta A_u 18/5/\min \leq -40$ dB, $\Delta A_u 17/27 \min \leq -40$ dB.
Regulační rozsah nastavení kontrastu vztázený k jmenovitému zesílení $U_{11} = 1$ V, $U_{19} = 4$ V <sup>2)</sup> <sup>3)</sup> :	$\Delta A_u 14/27 \max \geq 2,5$ dB, $\Delta A_u 13/2 \max \geq 2,5$ dB, $\Delta A_u 12/5 \max \geq 2,5$ dB;
Regulační rozsah dynamického regulátoru bílé vztázený k červenému signálu $U_{11} = 1$ V <sup>2)</sup> <sup>3)</sup> :	$\Delta A_u 14/27 \min \leq -16$ dB, $\Delta A_u 13/2 \min \leq -16$ dB, $\Delta A_u 12/5 \min \leq -16$ dB.
Jmenovitá úroveň černé <sup>3)</sup> <sup>4)</sup>	modrý kanál $\leq +40$ %, zelený kanál $\leq +40$ %;
$U_{20} = 3$ V <sup>3)</sup> :	modrý kanál $\geq -40$ %, zelený kanál $\geq -40$ %.
Rozsah nastavení regulátoru jasu ve směru bílé <sup>5)</sup>	$\hat{C}_{B_{27-B}} = -5$ až $+5$ %, $\hat{C}_{B_2} = -5$ až $+5$ %, $\hat{C}_{B_5} = -5$ až $+5$ %;
$U_{20} = 1$ V:	$\hat{C}_{B_{27-C}} \geq 45$ %, $\hat{C}_{B_{2-C}} \geq 45$ %, $\hat{C}_{B_{5-C}} \geq 45$ %;
ve směru černé <sup>6)</sup>	$\hat{C}_{B_{27-C}} \leq -45$ %, $\hat{C}_{B_{2-C}} \leq -45$ %, $\hat{C}_{B_{5-C}} \leq -45$ %.
Vnitřní omezení signálu ve směru bílé <sup>5)</sup>	$S_{B_{27-B}} \geq 120$ %, $S_{B_{2-B}} \geq 120$ %, $S_{B_{5-B}} \geq 120$ %;
$U_{11} = 1$ V, <sup>2), 3)</sup>	$S_{B_{27-C}} \leq -20$ %, $S_{B_{2-C}} \leq -20$ %, $S_{B_{5-C}} \leq -20$ %.

1) Matice (G–Y) musí splňovat podmínu:

$$U_{(G-Y)} = K(-0,51U_{(R-Y)} - 0,19U_{(B-Y)}),$$

tj. poměr zesílení  $A_u 17/2$  a  $A_u 18/2$  musí být

$$\frac{A_u 17/2}{A_u 18/2} = \frac{-K \cdot 0,51}{-K \cdot 0,19} = 2,684,$$

kde  $K$  je zesílení zeleného kanálu ( $\pm 1$ ).  
Chyba matice (G–Y) je dána vztahem

$$FM = \left( \frac{1}{2,684} - \frac{A_u 17/2}{A_u 18/2} - 1 \right) \cdot 100 \text{ } \%$$

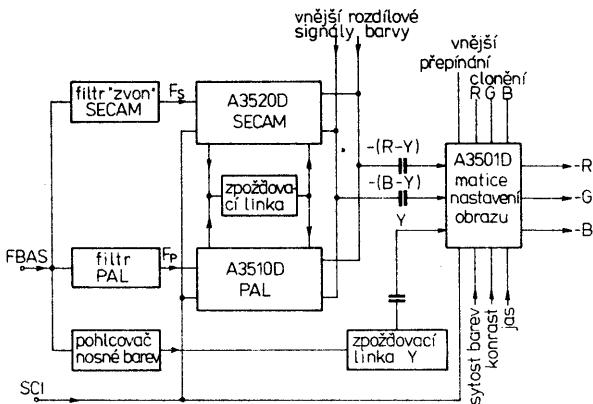
2) Jako vstupní napětí se používá pravoúhlé napětí s kmitočtem  $f = 62,5$  kHz  $\pm 10\%$  a  $k = 0,5$ . Uvedené vstupní napětí je rovně napájecímu napětí  $U_{CC}$ . Upínací impulsy jsou synchronní se vstupním napětím, jejich kmitočet je 15,625 kHz  $\pm 10\%$ . Uvedená polarita vstupního napětí se vztahuje na polohu úrovňě signálu vůči upínací úrovni (spínací impuls ke kladnému vrchu  $\rightarrow$  úroveň signálu záporná, upínací impuls na záporném vrchu  $\rightarrow$  úroveň signálu kladná).

3)  $U_{10}$  = upínací impuls.

4) Jmenovitá úroveň černé je rozdíl mezi úrovňemi černé a vyklíčované černé (umělá černá) při napětí  $U_{20} = 2$  V, vztahmo k jmenovitému signálu BAS (1 V  $\pm 100\%$ ).

5) Rozdíl ke klíčovací úrovni černé, vztázený k jmenovitému signálu BAS (1 V  $\pm 100\%$ ).

6) Posunutí úrovni signálu při  $U_{20} = 1$  V vůči  $U_{20} = 2$  V ve směru černé při vstupním napětí  $U_{15} = 316$  mV.



Obr. 58. Funkční skupinové zapojení integrovaného dekodéru II. generace s obvody A3510D, A3520D a A3501D

Obvod A3510D, A3520D a A3501D bylo podroběno popisán již v minulých číslech AR řady B na příkladech tuzemských televizorů. Proto se omezíme pouze na dvě základní zapojení, která doporučuje výrobní podnik RFT. Na obr. 59 je úplné zapojení „dvounormového“ dekodéru s obvody A3510D a A3520D. Na dalším obr. 60 je zapojení obrazové kombinace s obvodem A3501D. Z obou zapojení jsou zřejmě požadavky na vnější součástky. V zapojeních jsou rovněž uvedeny využívací body. Použití popsaných tří obvodů se podstatně zmenší nároky na počet vnějších součástek, zjednoduší se

movým filtrem, přizpůsobeným podmínkám systému PAL, popříp. systému SECAM. Takto upravený signál postoupí do příslušného dekodéru. V dekodéru PAL, popříp. SECAM se signál barvy rozdělí na nosný signál  $F_{(R-Y)}$  a  $F_{(B-Y)}$ . Po jejich demodulaci jsou na výstupech dekodéru k dispozici rozdílové signály barvy (R-Y) a (B-Y).

Narovený systém přepíná automaticky vnitřním identifikačním zapojením přiváděné signály, které budou propustit na výstup dekodéru, nebo jejich průchod zablokuje. Ultrazvuková zpožďovací linka, používaná k rozdělení signálu, se používá paralelně pro oba systémy. Vypuštěním jednoho z integrovaných obvodů dekodéru, např. A3510D, okamžitě vzniká „jednonormový“ dekodér SECAM, popříp. při vypuštění obvodu A3520D dekodér PAL. Oba tyto integrované obvody obsahují úplné funkční zapojení, které vyžaduje zvolený barevný systém pro svou činnost. Systémově nezávislé součástky jsou soustředěny ve třetím obvodu — obrazové kombinaci A3501D, který je vždy nutný k provozu.

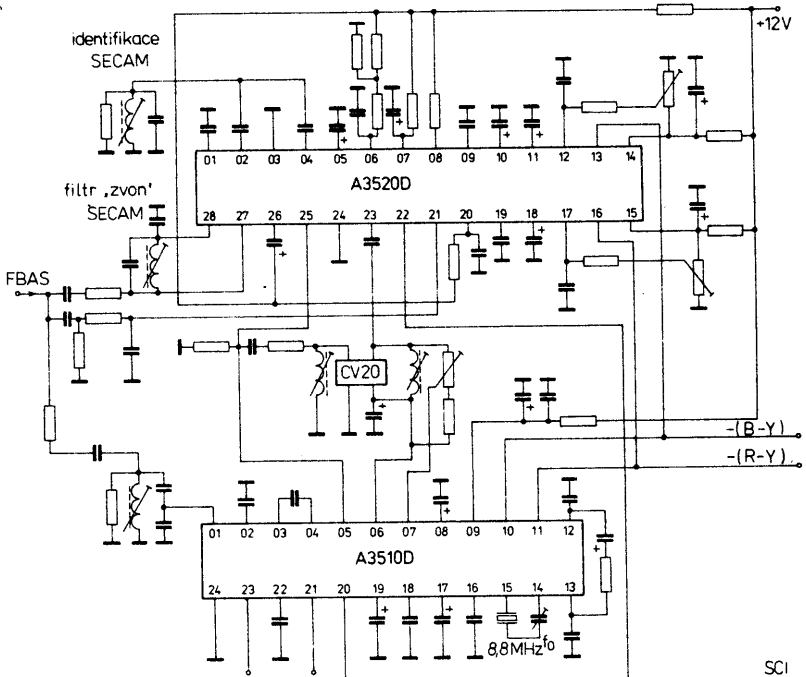
Oba rozdílové signály (R-Y) a (B-Y) a oddělený jasový signál Y, který prochází rovněž zpožďovací linkou, se přivádějí vazebním koñdenzátorem na obrazovou kombinaci A3501D. Po demodulaci se v obvodu vytvoří žádané úrovně signálů barvy, R, G, B.

Vnějšími řídícími stejnosměrnými napětími je možno v obvodu A3501D nastavovat na žádanou úroveň sytost barvy, kontrast a jas. Další vlastnost obvodu umožnuje zaclonit vnější signály R, G, B, což je žádoucí např. při zobrazování časového údaje interních hodin, čísla zvoleného kanálu, televizních her, textů, obrazových textů apod. na stíniíku obrazovky.

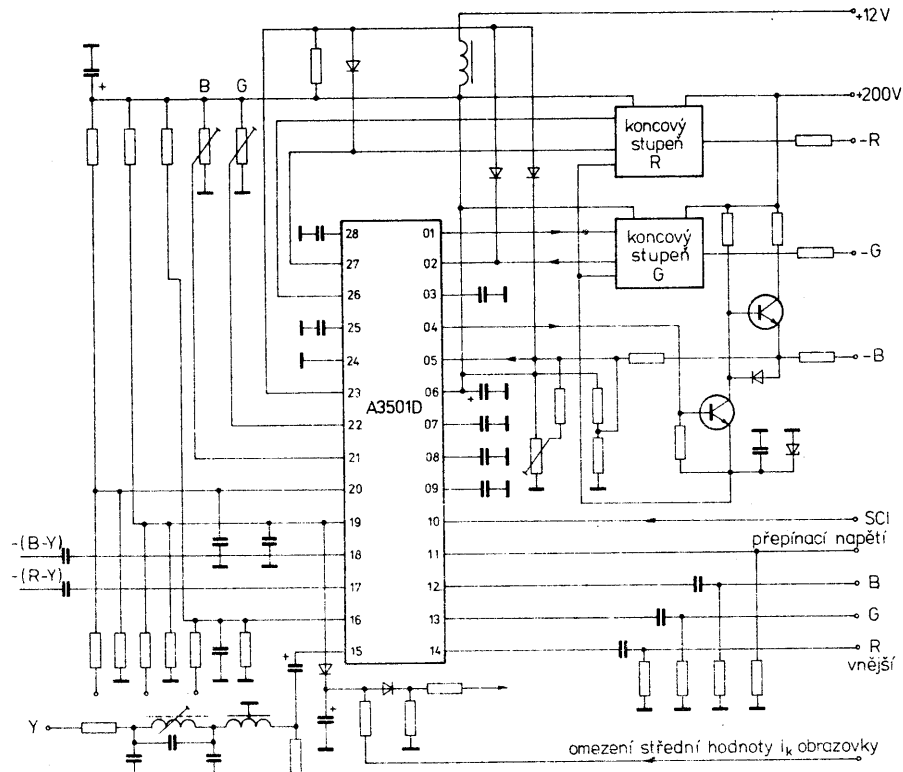
Výstupní stupně obrazové kombinace A3501D řídí vnější tranzistorové stupně koncového obrazového zesilovače, u nichž se využívá zpětné vazby z integrovaného obvodu.

Ke klíčování barevného dekodéru a obrazové kombinace se používá kombinovaný tříúrovňový impuls signálu SCI, který obsahuje jednak klíčovací impuls burstu, jednak rádkový a snímkový impuls zatemňovacího zpětného běhu. Uvedený kombinovaný impulsní signál SCI se přivádí do společného rozvodu na všechny tři integrované obvody dekodéru. Vnitřním prahovým diskriminátorem se v každém obvodu rozdělují jeho složky k dalšímu využití.

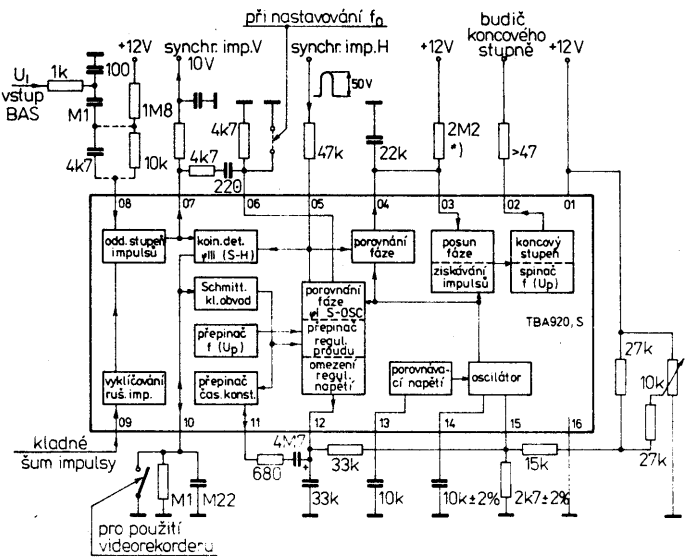
Zpracování barevných signálů obvo-



Obr. 59. Úplné zapojení dvounormového dekodéru SECAM/PAL s obvody A3510D a A3520D



Obr. 60. Zapojení koncového stupně obrazového zesilovače s obvodem A3510D



Obr. 61. Funkční skupinové zapojení obvodů TBA920, TBA920S

vyvažování a realizují se racionalizační výrobní technologické postupy ve výrobě a použití dekódérů PAL/SECAM.

### „Horizontální“ kombinace TBA920, TBA920S

Integrované obvody TBA920, TBA920S maďarské výroby MEV (Tungsram) jsou obvody pro horizontální (řádkové) rozkladové stupně v televizních přijímačích. Sdružují řádkový oscilátor pracující na principu prahových hodnot, oddělovací stupeň impulsů s vyklíčováním rušení, fázový porovnávací obvod mezi synchronizačními impulsy a oscilátorem, fázový porovnávací obvod impulsů zpětného běhu řádků se zatemňovacím intervalem, přepínání časové konstanty a strmosti i při provozu s videorekordérem, koncový stupeň pro řízení rozkladového tyristoru nebo budicí stupně koncového tranzistoru rozkladového stupně.

Součástka je v plastovém pouzdru DIL-16 s 2x osmi vývody ve dvou řadách; s původním prototypem součástky, TBA920, TBA920S firmy Philips je plně ekvivalentní a zaměnitelná. Údaje obvodu jsou v tab. 17. Funkce vývodů: 01 — přípoj kladného napájecího napěti, 02 — výstup obvodu pro řízení koncového stupně horizontálního vychylování, 03 — vstup fázového posunovače, 04 — výstup fázového komparátoru, 05 — vstup impulsů řádkového zpětného běhu, 06 — vstup fázového komparátoru, 07 — výstup oddělovače synchronizačních impulsů, 08 — vstup obrazového signálu (BAS), 09 — vstup vyklíčování rušivých impulsů, 10 — přípoj koincidenčního filtru RC (paralelně spojené 100 kΩ, 220 nF), 11 — přípoj filtru časové konstanty, 12 — výstup řídícího napěti, 13 — vývod pro připojení blokovacího kondenzátoru pro obvod porovnávacího napěti, 14 — přípoj kondenzátoru oscilátoru (10 nF ± 2%), 15 — řízení řádkového kmitočtu, 16 — zemnicí vývod.

Na obr. 61 je úplné funkční blokové zapojení horizontální kombinace TBA920 se všemi potřebnými vnějšími součástkami. Na vstupní vývod 08 oddělovacího stupně impulsů se přivádí záporný signál BAS (se synchronizačními impulsy přecházejícími do kladných hodnot). Na vývodu 07 pak vzniká synchronizační signál o malé

impedanci, z něhož je odstraněna složka signálu BAS. Vliv rušivých impulsů se potlačí v dostatečné míře jejich vyklíčováním. K tomuto účelu se musí odebrat rušivé impulsy z mf a obrazového signálu a vhodně upravené přivést na vývod 09 vyklíčovacího stupně. Synchronizační signál z vývodu 07 se přivádí jednak přes vhodný integrační člen RC vertikálního vychylovacího stupně, jednak přes tvarovací člen (v podstatě diferenční člen) na vývod 06.

Napětím, které vzniká na vývodu 06, se musí synchronizovat řádkový oscilátor, což zabezpečuje regulační obvod 1. Říditelný kmitočet oscilátoru  $f_{osc}$  závisí na kapacitě kondenzátoru  $C_{14/16} = C_{osc}$ , na regulovatelném odporu  $R_{15/16} = R_{osc}$  a na proudu, protékajícím vývodom 15. Ve fázovém diskriminátoru se porovnává poloha fáze signálu oscilátoru s fází zpracovaného synchronizačního signálu (vzniklý odečtením fází obou signálů), omezený na určitou amplitudu, se dostává na vývod 12 jako řídící proud  $i_{12}$ . Člen RC mezi vývody 11, 12 a zemí (filtr 1) vyhládá řídící proud  $i_{12}$  na potřebnou úroveň, ten se pak přivede na vývod 15, kde slouží k řízení kmitočtu oscilátoru. Tím je uzavřen regulační obvod 1.

K dosažení optimálních podmínek v rozsahu zachycování a udržování kmitočtu oscilátoru slouží automatické přepínání strmosti diskriminátoru 1 a působení vyhlazovacího filtru 1 (udržuje časovou konstantu). Vhodné spínací napětí pro přepínač dodává Schmittův klopný obvod řízený z koincidenčního detektoru. Koincidenční detektor (fázový diskriminátor) předá řídící napětí jen tehdy, jestliže se dostatečně překrývají synchronizační impulsy s impulsy zpětného běhu z vývodu 05 (přiváděné přes integrační nebo diferenční člen). K vyhlazení tohoto řídícího napěti je určen vnější člen RC, připojený k vývodu 10 (filtr 3 s časovou konstantou  $\tau_3$ ). Blokování automatického přepínání, zapnutí velké strmosti diskriminátoru a malého účinku vyhlazovacího filtru 1 se může dosáhnout (např. při provozu s videorekordérem) spínačem  $P_1$ , který se připojí mezi vývod 10 a zem.

Signál z oscilátoru se přivádí na tvarovací stupeň impulsů, který současně pracuje jako říditelný posunovač fáze. Poloha náběžné hrany a tím též

šířka tvarovaného pravoúhlého impulsu závisí na napětí na výstupu 03. Tvarovanými pravoúhlými impulsy, které se zesílené odebírají na výstupu 02, lze řídit řádkový koncový stupeň. Fázi těchto impulsů lze regulovat vhodným způsobem na potřebnou velikost na vývodu 03. K tomu, aby se dosáhlo nezávislosti fáze vychylování na době zpoždění v koncovém vychylovacím stupni, slouží automatické nastavení fáze řídícího impulsu pomocí regulačního obvodu 2. Řídící napětí pro posuv fáze dodává fázový diskriminátor 2, v němž se fáze impulsů zpětného běhu řádků na vývodu 05 porovnává s fází signálu oscilátoru. Na vývodu 04 odebírány řídící proud se vyhlažuje filtrem 2, který má jen jeden vnější kondenzátor, připojený mezi vývod 04 a zem; vyhlažený proud se přivádí na vývod 03 obvodu fázového posuvu. Tím je uzavřen regulační obvod 2. Při určitém minimálním napájecím napětí je činnost koncového stupně blokována spínačem  $f$  ( $U_p$ ). Napájecí napětí obvodu se přivádí na vývod 01 přes vyhlažovací člen RC.

Napájecí napětí  $U_B = U_{1/16}$  integrovaného obvodu TBA920 se smí pohybovat v obvyklém provozu v rozsahu od 10 do 13,2 V. Kladný pól napěti se přivádí na vývod 01, záporný na vývod 16, který se současně spojuje se zemí. K náběhu funkce musí být napájecí napětí větší než 4,5 V. Spotřeba proudu obvodu TBA920 na vývodu 01 se skládá z proudové spotřeby součástek IO a výstupního proudu  $i_2$ . Součet proudů činí průměrně  $i_p = i_2 + 36 \text{ mA}$ .

K zamezení krátkodobého přebuzení oscilátoru při zapínání a vypínání napájecího napěti má být časová konstanta zdroje napájecího napěti asi 10x větší než časová konstanta  $R_{113} \cdot C_{13/16}$ , kde  $R_{113} = 1,8 \text{ k}\Omega$ . K potlačení nežádoucích vazeb obvodu TBA920 s jinými proudovými spotřebiči ze síťového napájecího zdroje se doporučuje použít vyhlažovací člen RC v přívodu kladného napájecího zdroje k vývodu 01 (rezistor 10 Ω, kondenzátor  $C_{1/16} = 100 \mu\text{F}$ ). S tímto doporučeným vyhlažovacím filtrem je dán jmennovité napájecí napětí +12 V, které je nutné udržovat s přesností ±10 %. Použije-li se předřadný ochranný rezistor s větším odporem (např. 68 Ω), může se napájecí napětí zvětšit na +15 V.

Požaduje-li se u integrovaného obvodu určitá časová konstanta pro odpojovací pochod nezávislá na časové konstantě v přívodu k napájecímu zdroji, může se použít místo předřadného rezistoru dioda nebo se může dioda připojit paralelně k rezistoru.

Získává-li se napájecí napětí pro horizontální kombinaci s obvodem TBA920 usměrněním napěti z koncového stupně řádkového vychylování, musí se k náběhu použít napájení ze síťového zdroje nebo jiný zdroj napěti.

**Integrovaným obvodům ze zemí RVHP bude věnováno i č. 4 AR řady B, v němž budou (kromě jiných) IO pro nf aplikace a dokončen i článek o TBA920, 920S. Číslo by mělo podle plánu vyjít 4. 8. 1988. Příští číslo AR řady B, tj. č. 3 vyjde 9. 6., jeho název — Praxe dálkového příjmu VKV a TV.**

# MIKROPROCESOR 8086

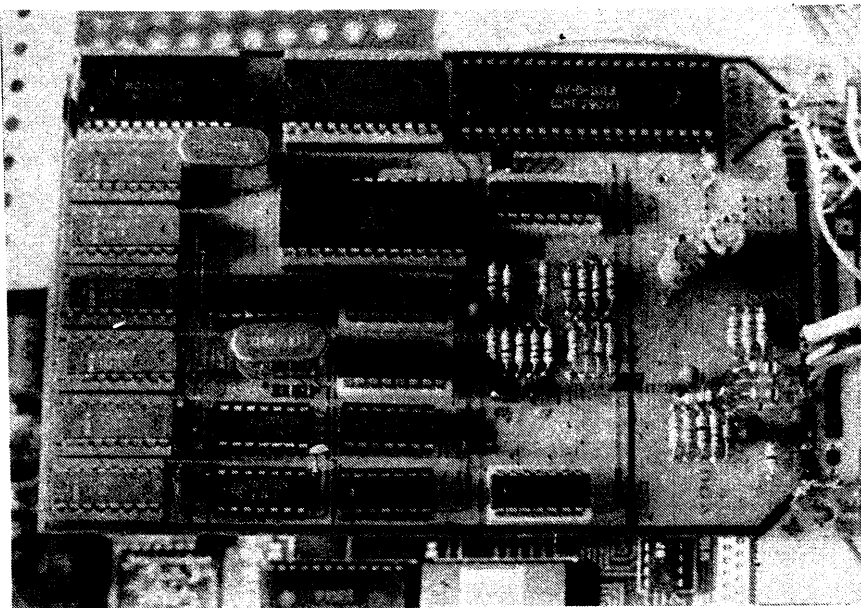
Ing. J. T. Hyan

(Dokončení z AR B1/88)

Na logické členy UART navazují vstupní a výstupní členy standardizovaného připojení RS-232C, zajišťující bezproblematické připojení k mikropočítáčovému modulu, vybavenému taktéž na straně v-v obvody RS-232C.

## Konstrukce modulu

Popisovaný modul obrazovkového řadiče byl realizován na desce evropského formátu (160 × 100 mm), opatřeného na jedné kratší straně nepřímým konektorem DIN o 64 vývodech (tj. 2 × 32). Je možno použít i konektor FRB o 62 vývodech (2 × 31). Plošné spoje desky jsou na obr. 52.

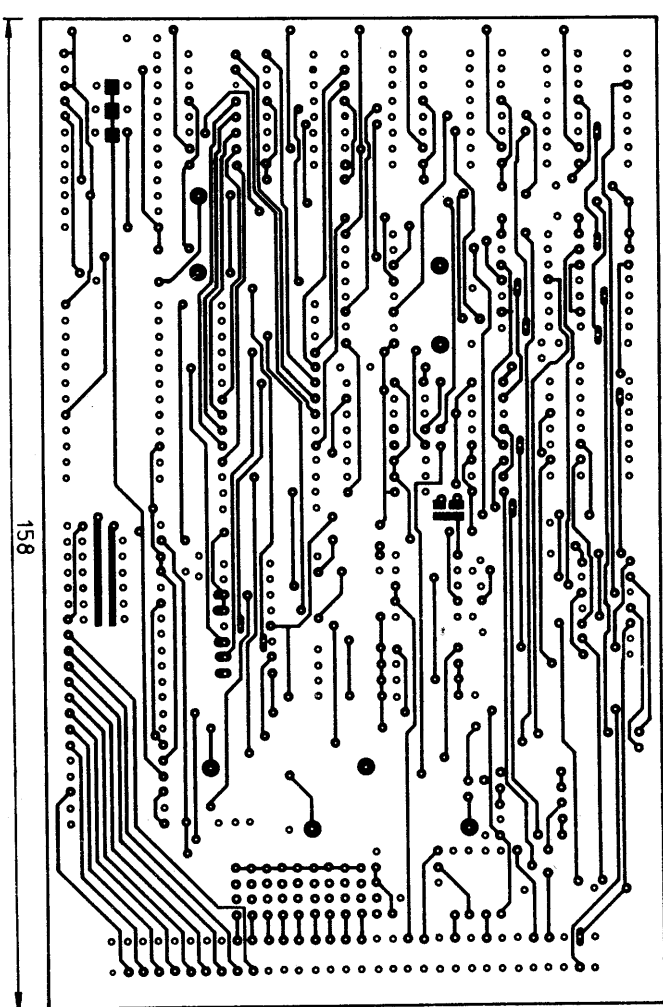
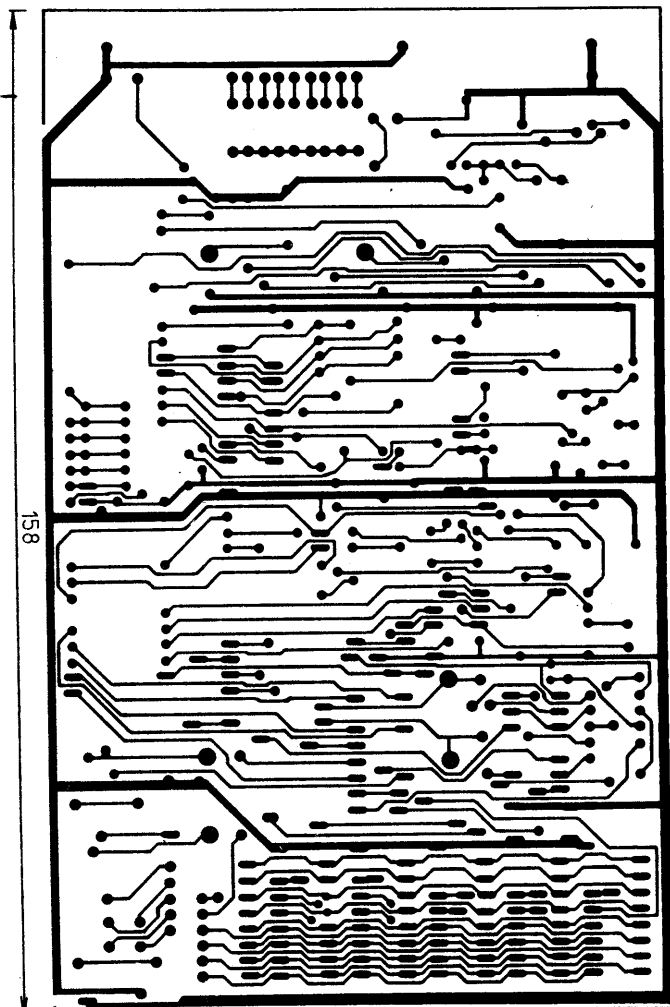


Obr. 54. Deska řadiče, osazená součástkami

rozmístění součástek na obr. 53. Hotová a ověřená deska (bez vf modulátoru podle obr. 50, i když tento typ byl úspěšně vyzkoušen a lze jej na desce umístit těsně vedle konektoru) je na obr. 54. Na modulu na fotografii není zapojen nepřímý konek-

tor, modul byl spojen s mikropočítáčem zkušební vodiči.

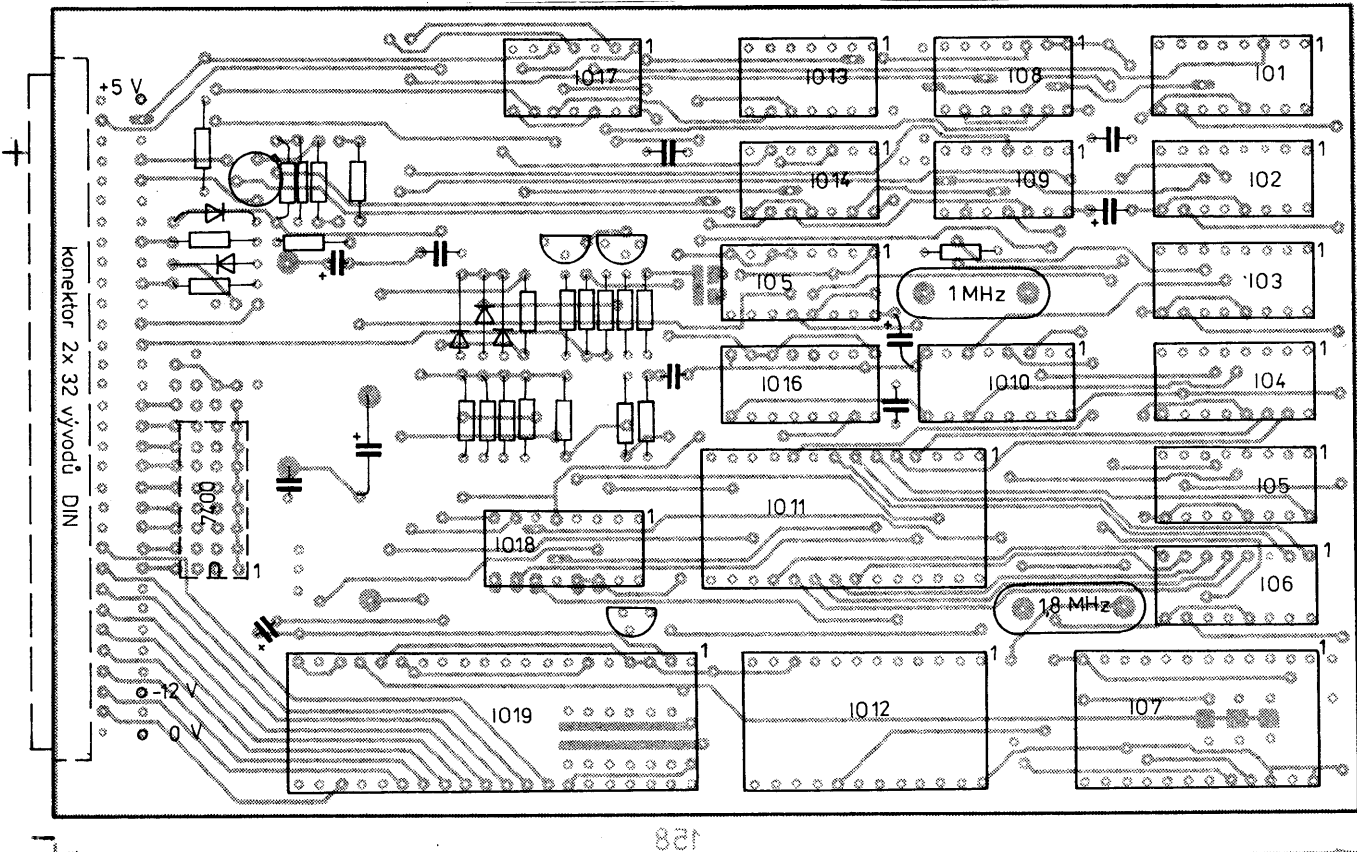
Vrátme se však ještě k celkovému zapojení modulu na obr. 51. Při provozu je vstupní informace z klávesnice, či infor-



Obr. 53a. Deska s plošnými spoji modulu obrazovkového řadiče (deska W 201)

mace přijatá přes sériový vstup 18 + 20 zavedena vnitřní sběrnici S0 až S6 do řadiče a obrazové paměti. Dříve než však „dojde“ je sedmibitový kód ASCII transponován na šestibitový; to proto, že použitý generátor znaků má pouze šestibitový

znaků zakódováno písmeno A (v seznamu na pozici 41h):  
 první linka 00000000 00h  
 druhá linka 00011100 1Ch  
 třetí linka 00100010 22h  
 čtvrtá linka 00100010 22h  
 pátá linka 00111110 3Eh  
 šestá linka 00100010 22h  
 sedmá linka 00100010 22h  
 Pozice 41h odpovídá desítkově šedesáte-páté, a ta je pro všechn osm slabik na obr.



Obr. 53b. Deska W 201 osazená součástkami

vstup a obsahuje jen 64 znaky (obr. 53). Proto je tedy v zapojení rozhraní pátý bit negovan a šestý potlačen.

Pokud by chtěl uživatel tohoto rozhraní generovat i malá písmena, musel by použít nejen jiný generátor znaků, ale rozšířit stávající o ještě jednu paměť 2102 (pro ukládání sedmého bitu). Zapojení by se tedy změnilo takto:

a) paměť RAM by tvořilo 7 ks 2102, popř. 1 kus 4118,

b) šestibitový střadač IO<sub>10</sub>, 74174, by byl nahrazen osmibitovým, tj. typem 74LS374,

c) generátor znaků RO-3-2513 (IO<sub>12</sub>) by byl nahrazen programovatelnou pamětí 2758, naprogramovanou podle seznamu šestnáctkových slabik (obr. 54),

d) plošné spoje rubu i líce desky by musely být upraveny.

Ještě ke generátorům znaků: pro běžný rastrový 5 × 7 bodů matici 8 × 8 je každý znak tvořen osmi slabikami, z nichž každá je v obr. 54 vyjádřena dvěma šestnáctkovými číslicemi. Pro generování jednotlivých linek znaku platí, že každý rozsvícený (bílý) bod odpovídá úrovni log. 1, každý nesvitící (černý) bod úrovni log. 0. Každý si proto může naprogramovat vlastní generátor znaků tak, že si nejprve na čtverecový papír zakreslí požadované znaky, a pak k nim vedle připíše odpovídající binární kód; tak je možno v rastru 8 × 8 vytvořit libovolný znak. Na dálé uvedeném příkladu si ukážeme, jak je např. generátoru

adresa znaku	A <sub>6</sub>	A <sub>5</sub>	A <sub>4</sub>	A <sub>3</sub>	A <sub>2</sub>	A <sub>1</sub>	
0 0 0	0	0	0	0	0	1	1
0 0 1	0	0	1	0	1	0	1
0 1 0	0	1	0	1	0	0	1
0 1 1	0	1	1	0	1	1	0
1 0 0	1	0	0	0	0	0	1
1 0 1	1	0	0	1	0	1	1
1 1 0	1	1	0	0	1	0	0
1 1 1	1	1	1	0	0	1	0

Obr. 55. Adresy a tvary jednotlivých písmen, číslic a diakritických znamének šedesátičtyřzna-kového generátoru znaků RO-3-2513



kombinaci. Generování vícebitových slov v kódu ASCII u prvních klávesnic zajišťovala logika složená z obvodů TTL, kombinovaná případně s diodovými maticemi [89]. V dnešní době převládají klávesnice s tzv. enkódérem – speciálním integrovaným obvodem, jenž vše potřebné zajišťuje převážně sám. Ty nejnovější jsou dokonce osazeny jednočipovým mikropočítáčem (např. 8748), jenž plní i funkci enkódéru (např. u klávesnice osobního počítače IBM PC a IBM PC-XT apod.).

#### Koncepce klávesnice

Je zřejmé, že klávesnici, splňující podmínky generování požadované množiny bitových vzorků (slabik), lze realizovat i velmi jednoduchými prostředky, viz v [89] popsanou konstrukci s kódovačem z diodové matice a kombinací logických členů TTL. Ve světě ovšem vznikly během doby kódovače (= enkodéry) monolitické provedení jako IO o různé velikosti, z nichž pro naše účely byl vybrán běžně nasazovaný typ AY-5-2376 fy General Instruments. Na obr. 58 je jeho tvar v pouzdru DIL 15 se čtyřiceti vývody s označením funkcí jednotlivých vývodů.

IO tvoří jádro celého elektrického zapojení univerzální klávesnice. Použitý kódovač je vlastně jen jistý druh paměti ROM, v níž je uložen celý soubor znaků v kódu ASCII, přičemž paměť se adresuje pouhým stisknutím

příslušného tlačítka. Integrovanou logiku pak je zajištěno, že se na datových výstupech D0 až D7 objevuje nejen správná slabika, ale že je vydán ve volitelné polaritě i potřebný vzorkovací impuls (strobe).

Zapojení klávesnice je na obr. 59. Ze zapojení je zřejmé, že výstupy x0 až x7 spolu s výstupy y0 až y10 tvoří matici, u níž v jednotlivých křížujících se bodech jsou připojeny kontakty tlačitek, obr. 60. Kromě nich jsou k obvodu připojená i tlačítka další, a sice „shift“ (SFT) a „control“ (CTRL), umožňující přepínat význam generovaných slabik, odpovídající jejich zakódování (tab. 11 – N – odpovídá pouze stisku jednoho tlačítka, S – odpovídá trvalému stisku SFT a následnému stisku dalšího tlačítka matice a C – trvalému stisku CTRL a následnému stisku dalšího tlačítka matice). Z tabulky vyplývá, že jen některá tlačítka jsou trifunkční (např. x7y0, x7y1, ...).

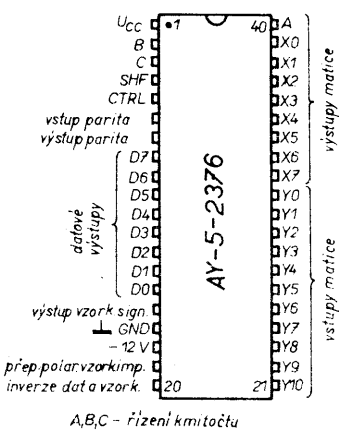
Protože mechanická tlačítka se vesměs vyznačují tzv. tlačitkovým šumem (tzn. kmitáním kontaktu po stisknutí), je kódovač vnitřně vybaven zpožďovacím obvodem, jenž vyhodnocuje stisknutí tlačítka až po odezvě zámkutu, tj. asi po 20 ms. Zpoždění je dáno hodnotami členů R<sub>4</sub>C<sub>5</sub>. Dále je možno vhodným propojením vývodů 6 a 20 na zem či na napájení +5 V zvolit polaritu výstupních datových signálů

i vzorkovacího signálu „strobe“. Jsou-li tedy připojeny na úroveň log. 1 (+5 V), jsou datové výstupy signály včetně vzorkovacího a paritního invertovány. Normálně jsou propojeny spojky „c“ a „d“ se zemí.

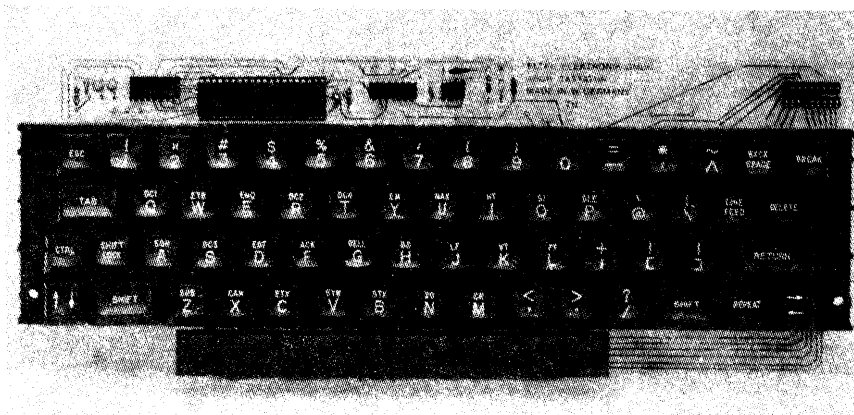
Protože integrovaný obvod kódovače vyžaduje dvě napájecí napětí (+5 V a -12 V), je zapojení vybaveno transformátorem k ziskání -12 V (T<sub>1</sub>, včetně vinutí L<sub>1</sub>, L<sub>2</sub> a L<sub>3</sub>, R<sub>1</sub>, R<sub>2</sub>, R<sub>3</sub>, D<sub>1</sub>, D<sub>2</sub>, C<sub>1</sub> až C<sub>4</sub>). Tím je zajištěno, že na desku klávesnice lze přivádět jen napětí +5 V. Aby měníc pracoval spolehlivě, je transformátor s L<sub>1</sub>, L<sub>2</sub>, L<sub>3</sub> ve feritovém „hrnečku“ o Ø 14 mm a A<sub>L</sub> = 400.

Dále je zapojení vybaveno akustickou indikací stisknutého tlačítka, jež lze v případě potřeby vypnout spínačem S<sub>2</sub>. Akustický signál je ovládán vzorkovacím signálem „strobe“, jenž spouští tzv. start-stop oscilátor (1/2 IO<sub>1</sub>) s dvoutranzistorovým nf zesilovačem (T<sub>2</sub> a T<sub>3</sub>) s elektroakustickým měničem (sluchátko TESLA o impedanci 200 Ω).

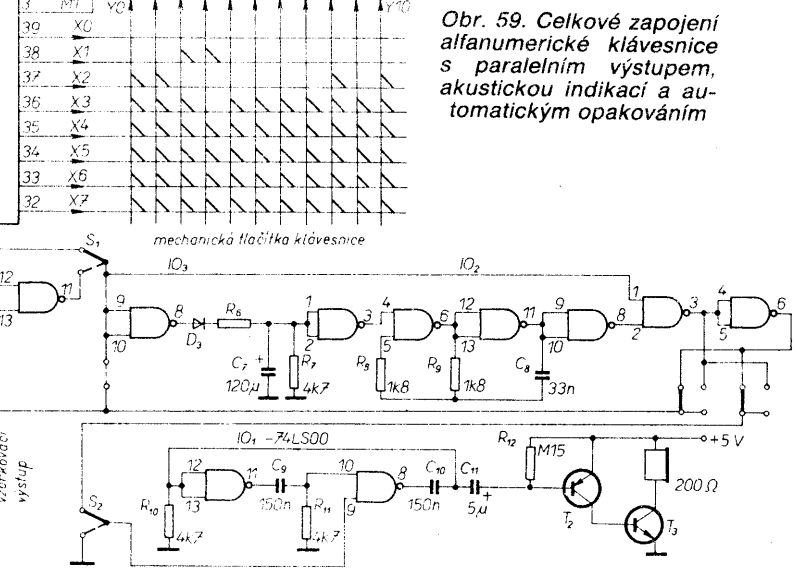
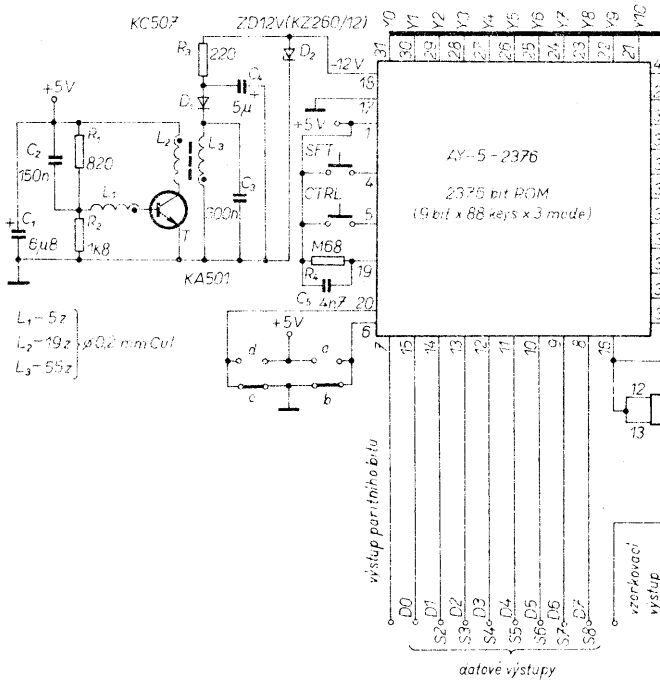
Dalším doplňkem kódovače je zapojení pro automatické generování opakovacího signálu (repeat), jež se uvádí v činnost po podržení kteréhokoli tlačítka matice po dobu delší 1 s. Tuto funkci realizuje logika z jednotlivých členů obvodů IO<sub>3</sub> a IO<sub>2</sub>. Opakovací kmitočet je asi 3 Hz a je určen rezistory R<sub>8</sub>, R<sub>9</sub> a kondenzátorem C<sub>8</sub>. Doba



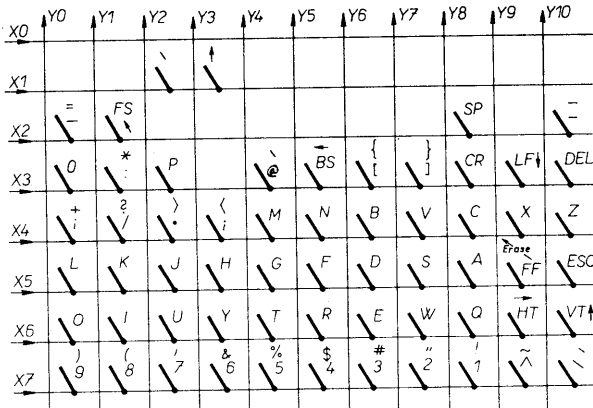
Obr. 58. Tvar pouzdra kódovače AY-5-2376 a označení jeho vývodů



Obr. 57. Typický vzhled alfanumerické klávesnice, vyjmuté z pouzdra



Obr. 59. Celkové zapojení alfanumerické klávesnice s paralelním výstupem, akustickou indikací a automatickým opakováním



Obr. 60. Umístění tlačítek klávesnice v křížení jednotlivých vedení x/y, spolu s jejich označením

prodlevy, než logika začne generovat signál opakovacího kmitočtu (jímž je vlastně opakován generován vzorkovací impuls pro přebírání výstupní informace D0 až D7) je závislá na integračním členu R<sub>7</sub>C<sub>7</sub>.

Kódovač AY-5-2376 má zaintegrován vlastní oscilátor, jenž je určen pro pracovní kmitočet v okolí 50 Hz (kmitočet závisí na volbě vnějších členů RC, tj. C<sub>6</sub> (30 až 60 pF) a R<sub>5</sub> (100 kΩ)).

Ze zapojení je patrné, že vhodné umístěním propojkami je možno volit jak polaritu vzorkovacího signálu, tak i polaritu výstupního opakovacího signálu, přiváděného na obvody akustické indikace, popřípadě opakování zcela vyřadit.

Zapojení klávesnice by bylo možno doplnit i o obvody k automatickému vydávání jen velkých písmen [90], případně doplnit přídavnou pamětí EPROM typu 2716 s pomocnou logikou, umožňující generovat více různých kombinací 128 znaků, viz [91]; rovněž i o další funkční tlačítka F1 až F8 a „cap lock“ atd.

Z hlediska praktické aplikace jsou nejdůležitějšími součástkami vhodná tlačítka; autor zvolil (z hlediska dostupnosti) mikrospínáče TESLA. Ty jsou umístěny na desce s plošnými spoji (osová vzdálenost 15 mm) ve čtyřech řadách — pátu tvoří netypicky umístěná trojice pro mezerník. Celkový počet tlačítek je 63 (z toho tři paralelně propojená tvoří mezerník — space). Deska se spojí má rozložení 258×116 mm (osazená deska je na obr. 61). Nákres plošných spojů není uveden záměrně, neboť závisí na typech a počtu použitych tlačítek a druhu a počtu doplňků. Hmatník je vytvořen

filmovou fólií ORWO, na níž byla fotografickou cestou přenesena označení jednotlivých tlačítek spolu s jejich orámováním — obr. 62. Fólie je vlepěna do překližkového vykypvaného pouzdra, je však do něho vlepěna pouze po jeho kratších stranách. To proto, aby její deformaci při stisknutí tlačítka (kteréhokoli) nebránila její zdánlivá nepoddajnost vytvořená oblépením po obvodě! (Nevlepěním fólie po delších stranách pouzdra se zabránil nezádanému „membránovému efektu.“) Aby se však do fólie po čase používání neobtískly vrchlíky tlačítek mikrospínáčů, je podložena pružnou koženkou stejně velikosti, jež je přes tlačítka jen volně položena. Pouzdro je nasazeno s připevněnou fólií před desku s plošnými spoji, a to až na doraz. Vlastní nosná deska tlačítek je zespodu přišroubována do rohových ztužujících špalíčků.

Před uvedením klávesnice v činnost po skončeném montáži je nutno se předešvým přesvědčit, kmitá-li transverz. Podmínkou nasazení oscilací je dodržení smyslu jednotlivých vinutí (ve schématu jsou začátky vinutí označeny tečkou). Rovněž se uplatňuje i jakost použitého feritového jádra. Teprve po zjištění, že je na D<sub>2</sub> proti zemi napětí -12 V, lze do desky osadit kódovač. Kontrola jeho funkce je pak již jedno-

Tab. 11. Soubor znaků kódovače AY-5-2376 v závislosti na pracovním způsobu N, S, C

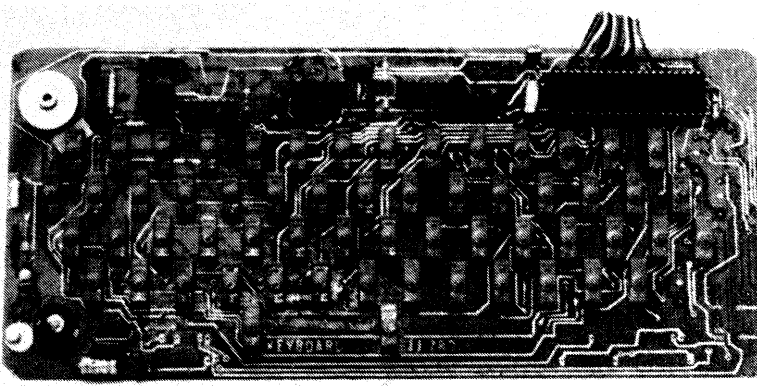
C: control S: shift N: normal	y0	y1	y2	y3	y4	y5	y6	y7	y8	y9	y10
x 0	NUL	SOH	STX	ETX	EOT	ENQ	ACK	BEL	DC1	DLE	SI
S	NUL	SOH	STX	ETX	EOT	ENQ	ACK	BEL	DC1	@	-
N	NUL	SOH	STX	ETX	EOT	ENQ	ACK	BEL	DC1	P	O
x 1	DLE	VT	FF	SO	CR	NAK	SYN	ETB	CAN	EM	SUB
S	DLE	[	\	^	]	NAK	SYN	ETB	CAN	EM	SUB
N	DLE	K	L	N	M	NAK	SYN	ETB	CAN	EM	SUB
x 2	NUL	FS	GS	RS	US	NUL	NUL	NUL	SP	NUL	US
S	=	FS	GS	RS	US	<	>	,	SP	*	-
N	-	FS	GS	RS	US	<	>	,	SP	*	-
x 3	NUL	NUL	DLE	US	NUL	BS	ESC	GS	CR	LF	DEL
S	NUL	*	P	DEL	NUL	BS	{	}	CR	LF	DEL
N	0	:	p	←	@	BS	[	]	CR	LF	DEL
x 4	NUL	NUL	NUL	NUL	CR	SO	STX	SYN	ETX	CAN	SUB
S	+	?	>	<	M	N	B	V	C	X	Z
N	;	/	.	m	n	b	v	c	x	z	
x 5	FF	VT	LF	BS	DEL	ACK	EOT	DC3	SOH	FF	ESC
S	L	K	J	H	G	F	D	S	A	FF	ESC
N	i	k	j	h	g	f	d	s	a	FF	ESC
x 6	SI	HT	NAK	EM	DC4	DC2	ENQ	ETB	DC1	HT	VT
S	O	I	U	Y	T	R	E	W	Q	HT	VT
N	o	i	u	y	t	r	e	w	q	HT	VT
x 7	NUL	RS	FS								
S	1	1	*	&	%	\$	#	"	!	~	\
N	9	8	7	6	5	4	3	2	1	Λ	

duchá — jednak akusticky, jednak opticky (zkoušeckou logických stavů), příp. prostřednictvím desky obrazovkového řadiče a obrazovkového monitoru na výstupech dat D0 až D7 včetně výstupu vzorkovacího impulsu. Jsou-li napájecí napětí (zejména U<sub>GG</sub>) v přípustných mezích, kódovač pracuje na první zapojení.

Obr. 62. Hmatník, vytvořený z plochého filmu ORWO fotografickou cestou (viz str. 4 obálky AR B1/88)

Tab. 12. Významy zkratek řídicích signálů

NUL	— null, or all zeros (nula)
SOH	— start of heading (start záhlaví)
STX	— start of text (start textu)
ETX	— end of text (konec textu)
EOT	— end of transmission (konec přenosu)
ENQ	— enquiry (výzva)
ACK	— acknowledge (potvrzení)
BEL	— bell (zvonek)
BS	— backspace (návrat a krok zpět)
HT	— horizontal tabulation (vodorovná tabulace, kurzor →)
LF	— line feed (nový řádek, kurzor ↓)
VT	— vertical tabulation (svislá tabulace, kurzor ↑)
FF	— form feed (vyčištění stránky, kurzor do levého rohu nahoru)
CR	— carriage return (návrat vozíku + výmaz až ke konci řádku)
SO	— shift out (posuv)
SI	— shift in (posuv)
DLE	— data link espacio (vypuštění dat)
DC1	— device control 1
DC2	— device control 2
DC3	— device control 3
DC4	— device control 4
NAK	— negative acknowledge (negativní potvrzení)
SYN	— synchronous idle
ETB	— end of transmission block (konec přenášeného bloku)
CAN	— cancel (vypustit, rolovat nahoru)
FS	— file separator (oddělovač souboru, kurzor do levého rohu)
GS	— group separator
RS	— record separator (oddělovač zájnamu jednotky)
US	— unit separator
SP	— space (mezera)
DEL	— delete (vynechat)



Obr. 61. Pohled na osazenou desku alfanumerické klávesnice

# Dálkové ovládání výrobků spotřební elektroniky

Ing. Václav Teska

Jednotlivé stránky mohou být při replikaci částečně „zakryty“; to je uplatňováno zejména u stránek videotextu kvizového charakteru, kde bývá zakryta odpověď. Přes tlačítko „uvolnění odpovědi“ je odpověď odkryta. Při stisku tlačítka 21 se objeví odpověď po dobu stisku tlačítka, kdežto při stisku tlačítka 22 je odpověď odkryta až do doby zadání dalšího libovolného povolení.

Dekodér videotextu dovoluje předvolbu strany, která se vybere z paměti stránek ve stanovenou dobu. Číslo požadované strany je zadáváno obvyklým způsobem; poté stiskneme tlačítko 17 (TXH — předvolba hodin), načež v pravém horním rohu obrazovky zmizí indikace hodin. Tlačítka 1 až 9 a 16 je pak zadán čas záznamu požadované stránky; tento čas se objeví na obrazovce (dvě číslice pro hodiny a dvě číslice pro minuty). Vlevo od tohoto času se objeví písmeno T jako indikace toho, že se jedná o předvolený čas a ne o probíhající (reálný) čas. Předvolený čas je indikován i čtvrtou blikající číslicí nastaveného času. Písmo strany se mění na zelené, čísla stran se „protáčejí“ a dekodér hledá stránku, jejíž nápis obsahuje předvolené číslo stránky a také daný čas. Když je nalezena takto speciálně kódovaná strana, text strany

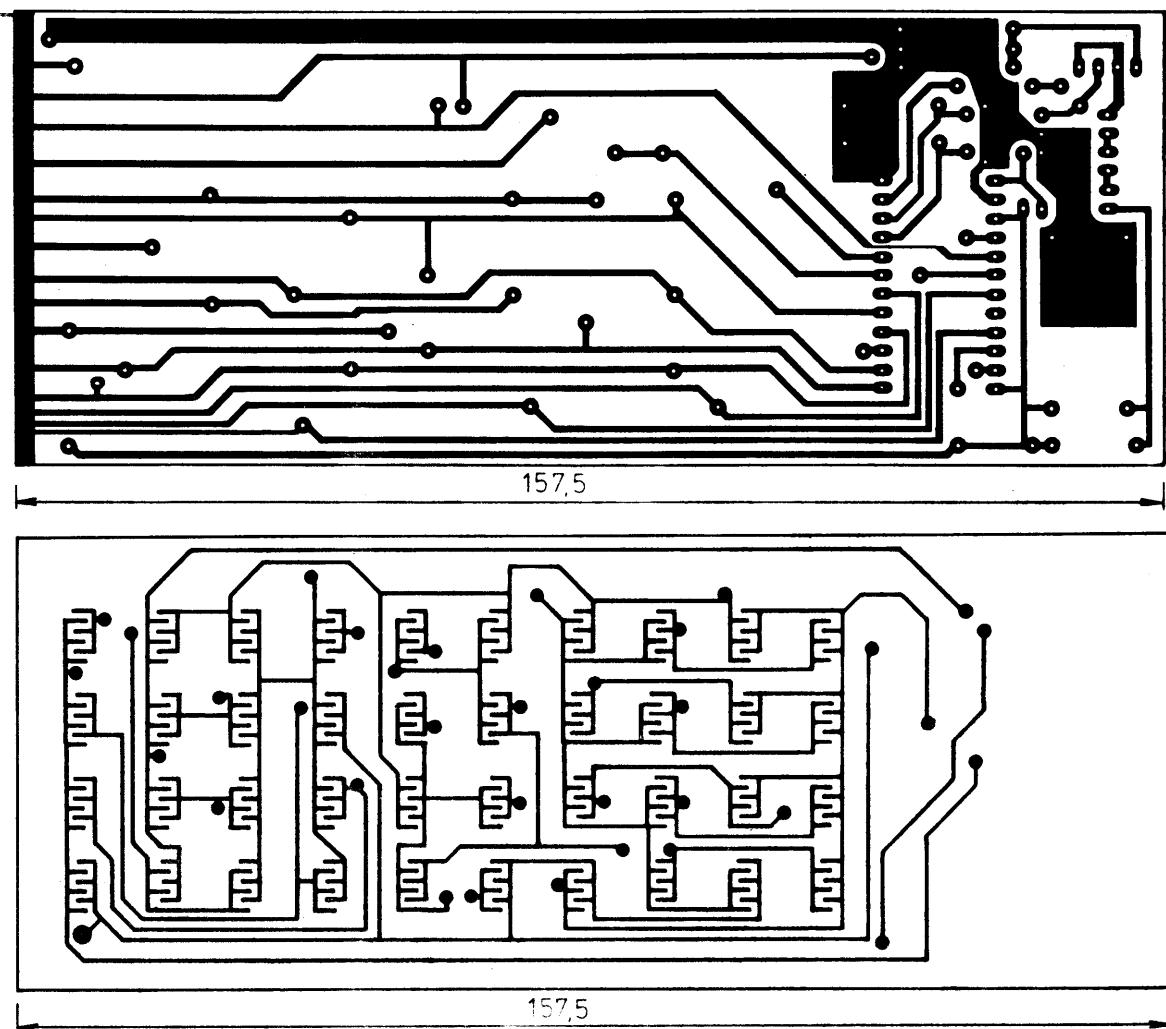
(Dokončení  
z AR B6/87)

zbělá a strana je zapsána do paměti stránek. Indikace „T“ zůstává zachována, čímž je uživateli indikováno, že tato strana byla nalezena v režimu „předvolba času“. V tomto módu není možné „ozívit“ informaci; při opětovném stlačení tlačítka 17 je proveden povol „vypnutí předvolby času“. Zadání povelu „reset“ tlačítkem 19 v podsystému videotext je systém nastaven do provozu „normálního písma“; paměť stránek je vymazána a dekodér nastaven na příjem strany 100 (obsah videotextu). Funkce „uvolnění odpovědi“, „stop dílčí strany“, „zapnutí předvolby času“ a „vypnutí textu“ jsou vynulovány. Povel „reset“ je možné použít pro zapnutí videotextu. Když při replikaci normálního televizního obrazu při provozu „videotext“ stiskneme tlačítko 18, vyšleme povol „indikace stavu“ a text strany se objeví po dobu 5 s ve výzevu obrazovky.

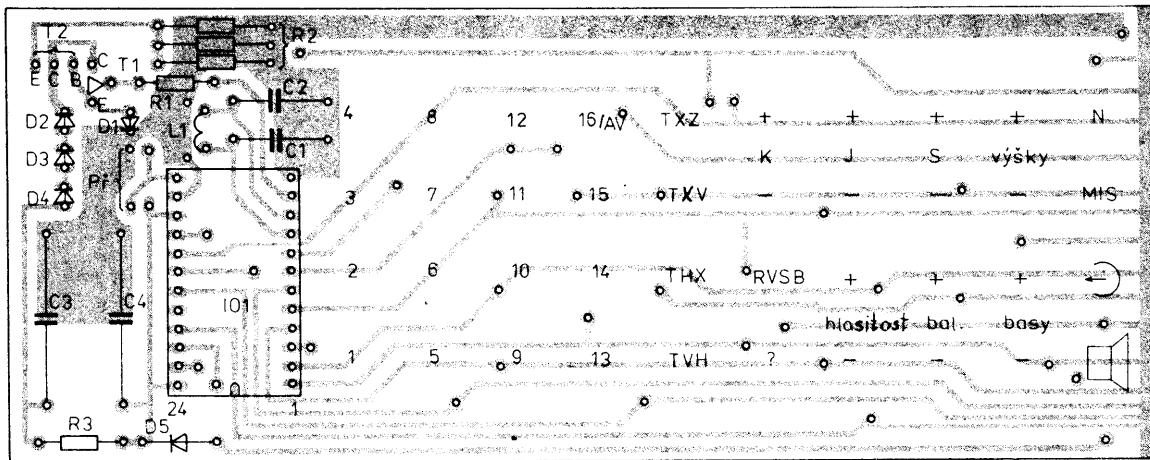
Při přepnutí do provozu RADIO (S=0) jsou tlačítka 1 až 10 využita pro předvolby stanic, tlačítko 11 pro připojení dílu VKV přijímače, tlačítko 12 pro sepnutí DV v přijímači, tlačítko 13 pro SV, tlačítko 14 pro KV, tlačítko 15 pro gramofon, tlačítkem 16 připojujeme magnetofon k nf zesilovači, tlačítka 19 až 24 můžeme ovládat funkce magnetofonu jako start, stop, rychlé pře-

víjení vpřed a vzad, nahrávání, přehrávání a mezera. Nesmíme použít povol tlačítka 20, neboť bychom přešli do podsystému. Pro ostatní povely je nutno na výstupu dekodéru dekódovat povely přenášené po sběrnici dat dekodéru stykovými obvody. Povely tlačítka 25 a 26 se řídí hlasitost, tlačítka 27 a 28 zdůraznění hloubek, tlačítka 29 a 30 zdůraznění výšek a tlačítka 31 a 32 se mění vyvážení kanálů. Tlačítkem 33 můžeme vypínat gramofon, tlačítkem 34 nastavujeme mezitu na magnetofonu; poslední dva povely je nutné provozovat v režimu podsystému, tzn. že musíme nejdříve stisknout tlačítko 20. Návrat do hlavního systému následuje po stisknutí tlačítka 18. Tlačítka 35, 36 nastavujeme úroveň při nahrávání. Tlačítkem 37 vyplňáme reproduktory, tlačítkem 38 přecházíme do stavu „KLID“, tlačítkem 39 přepínáme mono/stereo a tlačítkem 40 normujeme analogové veličiny.

Deska se spoji vysílače z obr. 47 je na obr. 48. Protože se jedná o dvoustrannou desku, musíme příslušné díry na obou stranách propojit, nejlépe malými nýtky se zapuštěnou hlavou, které propojíme s příslušným spojem. Plocha spínacích polí musí být alespoň poniklována, pokud nemáme možnost zlacnit. Pro klávesnici můžeme použít membrány z tlačítek TS 521 000. Protože membrány jsou zhotoveny z vodivé pryže, je nutné pod ně dát tenkou izolační fólii s děrami nad spínacími kontakty. Hmatníky můžeme použít buď originální nebo zhotovené podle obr. 4 nebo 5. Pro přepínač TV/RADIO je použit spínač TS 501... Všechny



Obr. 48. Deska s plošnými spoji W202 a rozmištěním součástek vysílače DO



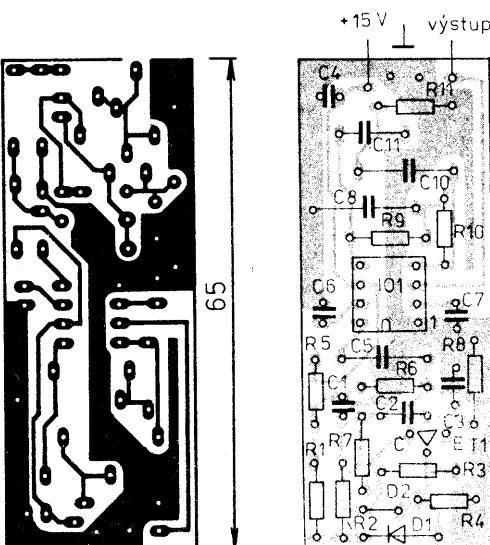
rezistory jsou typu TR 212. Kondenzátory  $C_1$  a  $C_2$  jsou TGL 5155 a  $C_3$ ,  $C_4$  TF 008. Jako  $T_2$  je možné použít KC635. Cívka je navinuta na malé „japonské“ mezifrekvenční. Pro napájení je použita malá baterie 9 V. Diody  $D_2$ ,  $D_3$  a  $D_4$  je výhodné umístit do reflektoru, čímž se zvětší dosah DO. Dosah daného vysílače je asi 6 m a je závislý i na citlivosti přijímače IC.

#### Přijímač IC s TDA4050

Zapojení přijímače IC s IO TDA4050 je na obr. 24 a deska s plošnými spoji je na obr. 49. Popis tohoto přijímače je v kapitole o přijímačích IC. Všechny rezistory jsou TR 212. Kondenzátory  $C_1$ ,  $C_6$ ,  $C_7$  jsou TE 125 a TE 122,  $C_4$  je TE 004,  $C_2$ ,  $C_3$  jsou keramické polštářky a  $C_5$ ,  $C_8$ ,  $C_9$  a  $C_{10}$  jsou TGL 5155. Celý přijímač musí být umístěn v plechové krabičce, abychom vyloučili vliv okolního rušení. Před fotodiodou musí být filtr pro potlačení okolního světla (z barevného exponovaného kinofilmu).

#### Přijímač IC s A244D

Na obr. 50 je zapojení přijímače IC s IO A244D. Vstupní signál IC je přijmut diodou  $D_1$  a přes emitorový sledovač  $T_1$  a  $C_8$  je přiveden na vstup zesilovače.



Obr. 49. Deska s plošnými spoji přijímače s TDA4050 (W203)

Mezi druhý vstup a výstup směšovače je zapojen selektivní filtr typu dvojitý T naladěný na 35,7 kHz. Z druhého výstupu sledovače je signál veden přes  $C_9$  na vstup mf zesilovače. Na výstupu tohoto zesilovače je paralelní rezonanční obvod naladěný na 35,7 kHz. Impuls 35,7 kHz jsou přes převodník úrovně  $T_3$  vedeny na vstup RSIGI dekodéru U806D. Protože zisk IO<sub>1</sub> je velký, je nutné, aby nebyl přebuzen IO, zavést AVC na vstup zesilovače z výstupu IO<sub>1</sub> přes  $T_2$ ,  $R_{10}$  a  $C_{14}$  určují časovou konstantu obvodu AVC.  $C_1$ ,  $C_2$ ,  $C_6$ ,  $C_7$ ,  $C_8$ ,  $C_9$ ,  $C_{10}$ ,  $C_{11}$  jsou keramické kondenzátory.  $C_3$ ,  $C_4$ ,  $C_5$  a  $C_{13}$  jsou fóliové kondenzátory TGL 5155 a TC 215,  $C_{12}$  je TE 005. Všechny rezistory jsou TR 212 a cívka  $L_1$  je navinuta v malé „japonské“ mezifrekvenční. Deska s plošnými spoji tohoto přijímače je na obr. 51. Zesilovač musí být umístěn v plechové krabičce.

#### Teletextový stykový obvod

Zapojení tohoto stykového obvodu je na obr. 43 a deska s plošnými spoji na obr. 52.

#### Sérioparalelní převodník

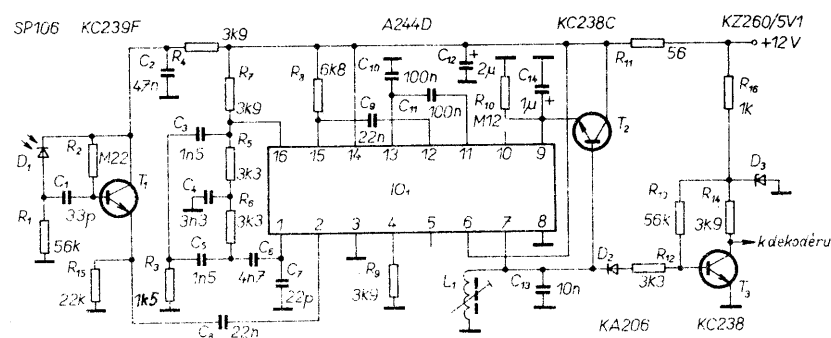
Zapojení sérioparalelního převodníku je na obr. 42 a deska s plošnými spoji na obr. 53. Při práci je nutno dát pozor na zničení obvodu elektrostatickou elektřinou a zachovávat pravidla práce s obvody MOS. To platí i pro vysílač DO, teletextový stykový obvod a i dekodér popisovaný v následujícím článku.

#### Dekodér dálkového ovládání

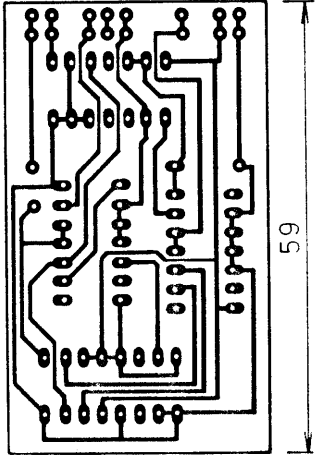
Zapojení dekodéru DO se sérioparalelním převodníkem, stykovým obvodem pro teletext, indikátorem kanálů, spínačem sítě, spínačem mono/stereo nebo „dvouzvukového“ doprovodu TV,

spínačem rezervy B, generátorem hodin, místním ovládáním a stabilizátorem napájecího napětí je na obr. 54. Signál z přijímače IC je veden na vstup dekodéru IO<sub>1</sub> stíněným kabelem, aby se vyloučily vlivy okolního rušení. Jako přijímač IC je použit přijímač z obr. 50. Generátor hodin je sestaven z hradel H<sub>1</sub> a H<sub>2</sub>. Jeho kmitočet 37,5 kHz se nastavuje trimrem R<sub>4</sub>. Obvodem R<sub>3</sub>C<sub>5</sub> se zpožďuje náběh. Pokud tento člen vypustíme, zablokujeme se dekodér IO<sub>1</sub>. Na vstupy LOCA až LOCE je připojeno místní ovládání. Tlačítka T<sub>1</sub> a T<sub>2</sub> se u rozhlasového přijímače vyvažují při stereofonním provozu kanály a u BTV jimi zvětšujeme nebo změnujeme kontrast. Tlačítka T<sub>3</sub> a T<sub>4</sub> zvětšujeme nebo změnujeme zdůraznění hloubek u rozhlasového přijímače a u BTV měníme sytost barev. T<sub>5</sub> a T<sub>6</sub> mění u rozhlasového přijímače zdůraznění vysokých kmitočtů a u BTV se jim mění jas. T<sub>7</sub> a T<sub>8</sub> mění hlasitost jak u rozhlasového přijímače, tak u TV přijímače. T<sub>9</sub> a T<sub>10</sub> krokuje nahoru a dolů předvolby programů. T<sub>11</sub> se vypíná síť a T<sub>12</sub> reproduktor.

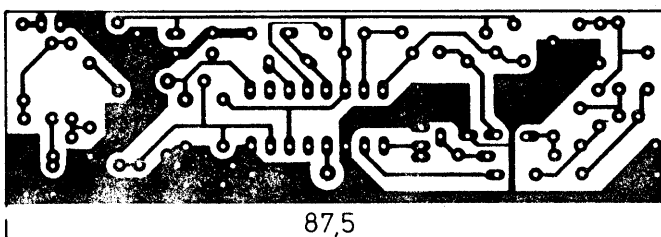
Výstupy programů PRGA až PRGD jsou jednak vedeny přes vývody 1 až 4 ke stykovému obvodu předvoleb a jednak do dekodéru IO<sub>2</sub> pro buzení displeje DP, který čísly 1 až 16 indikuje sepnutou předvolbu. Vývod 2 DP je desetinná tečka, kterou je indikován stav „KLID“. Další desetinnou tečku na DP bylo možné použít pro indikaci mono/stereo. Výstup OFF je po připojení na úrovni H, takže na výstupu H<sub>3</sub> bude úroveň L a relé RE zůstane v klidovém stavu. Teprve po příjemu povelu „Zapnout“ (viz tab. 1) se na výstupu OFF objeví úroveň L a na výstupu H<sub>3</sub> úroveň H, která otevře T<sub>3</sub> a relé přitáhne. Přes kontakty re<sub>1</sub> a re<sub>2</sub> se připojí síť do přístroje. Výstup RSVD určuje, na jaký startovací bit bude dekodér reagovat. Při uzemnění RSVD



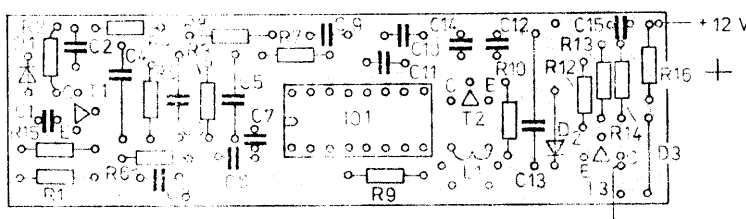
Obr. 50. Zapojení přijímače s A244D



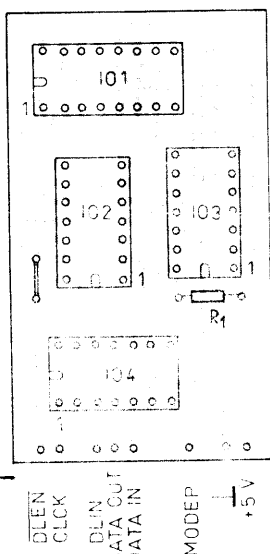
Obr. 52. Deska s plošnými spoji W205  
a rozmištění součástek vývodu z obr. 43



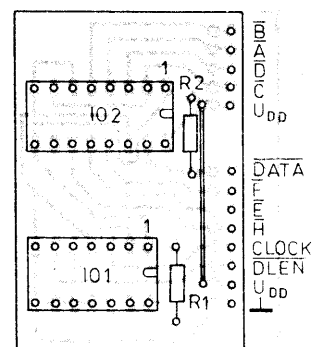
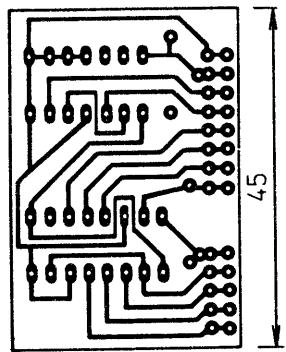
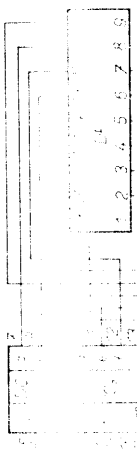
87,5



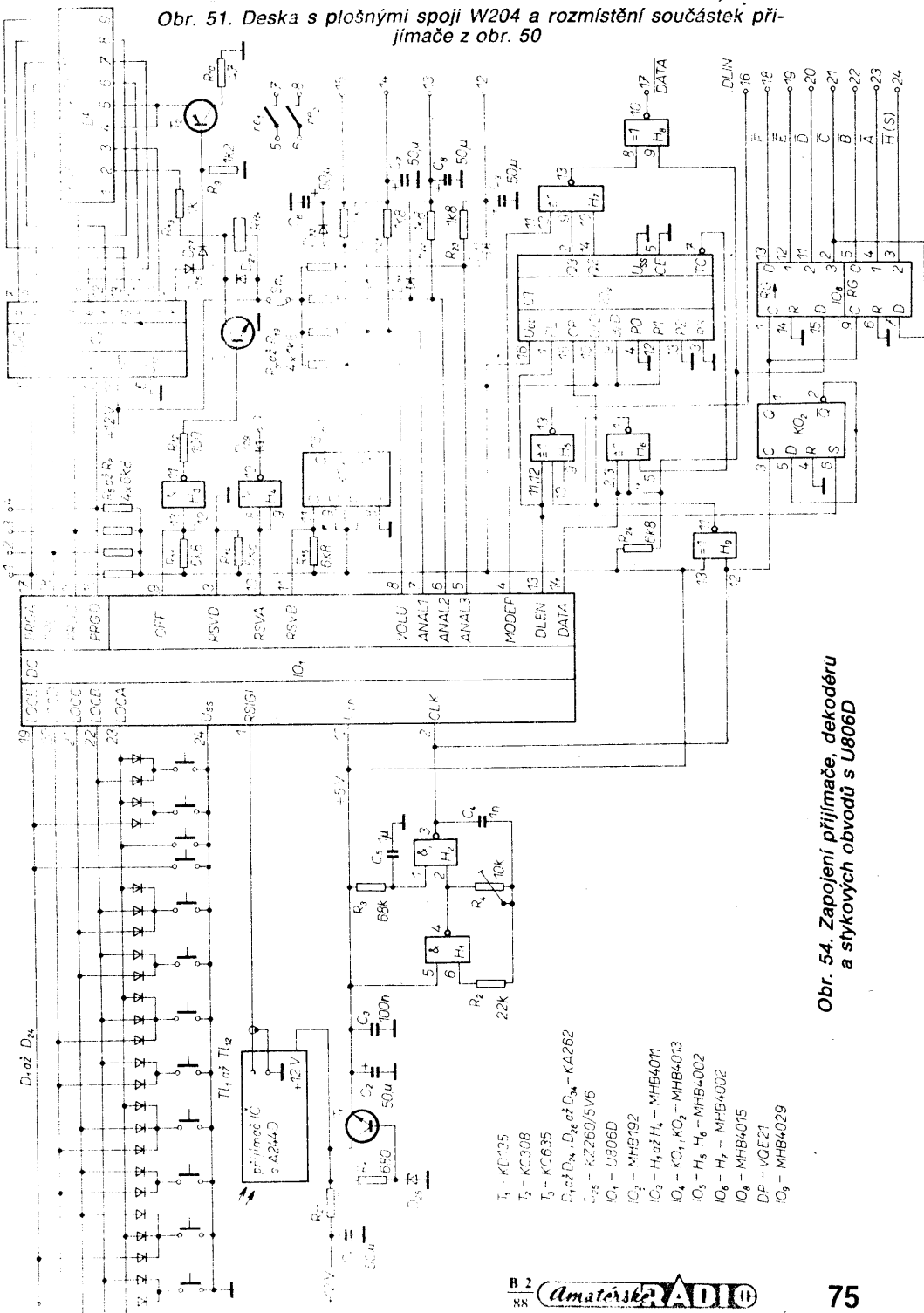
výstup



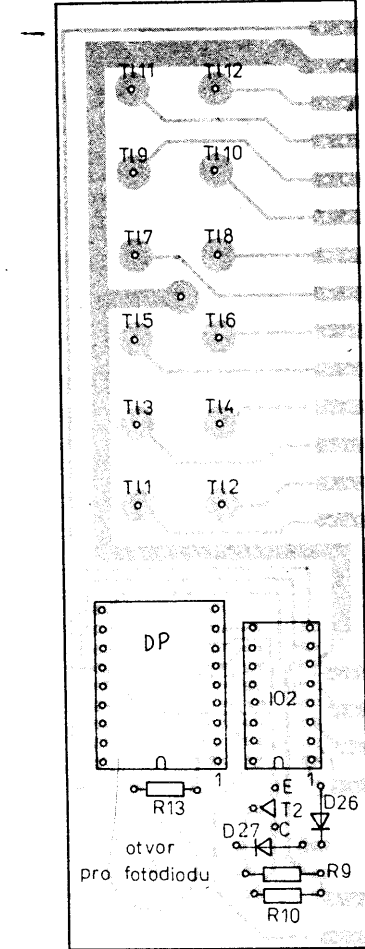
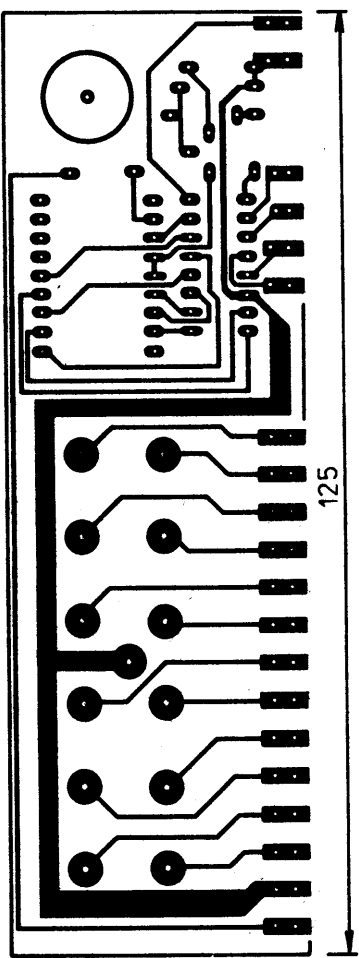
Obr. 51. Deska s plošnými spoji W204 a rozmištění součástek přijímače z obr. 50



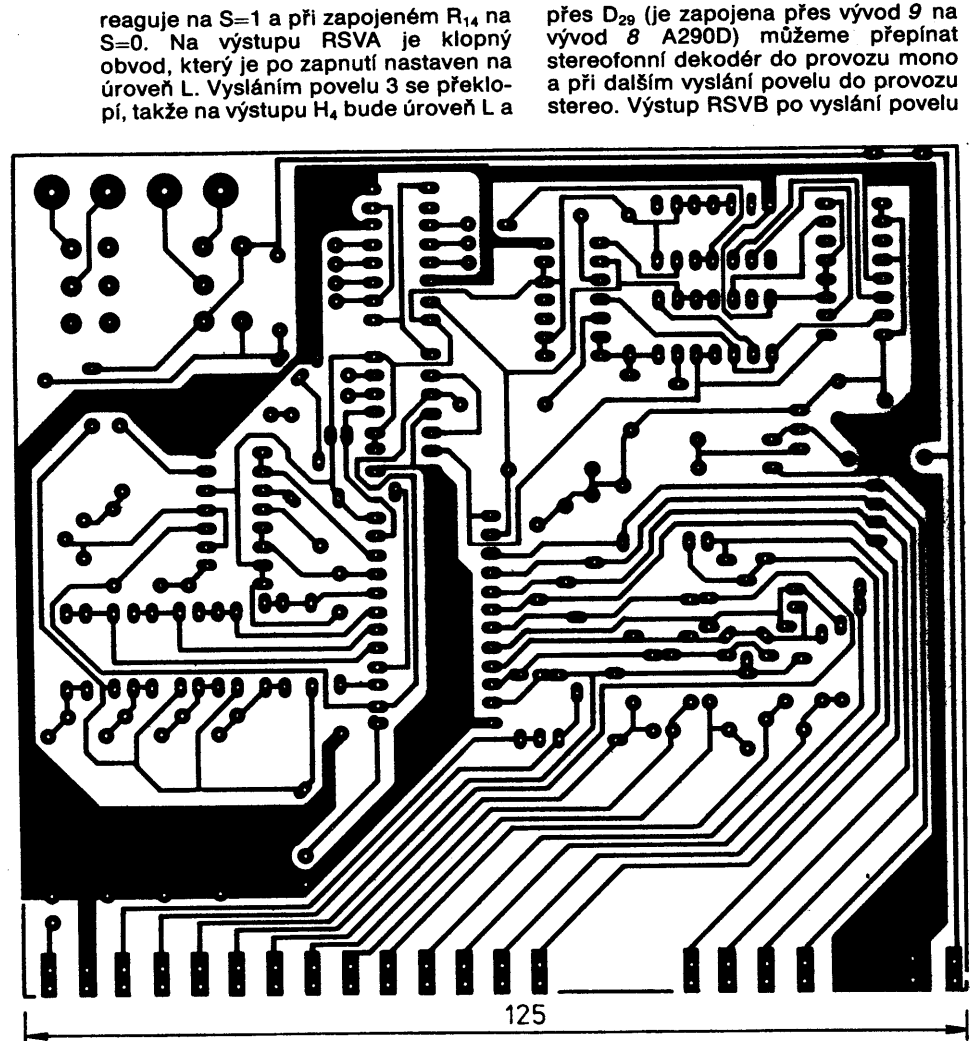
Obr. 53. Deska s plošnými spoji W206 a rozmištění součástek obvodu z obr. 42



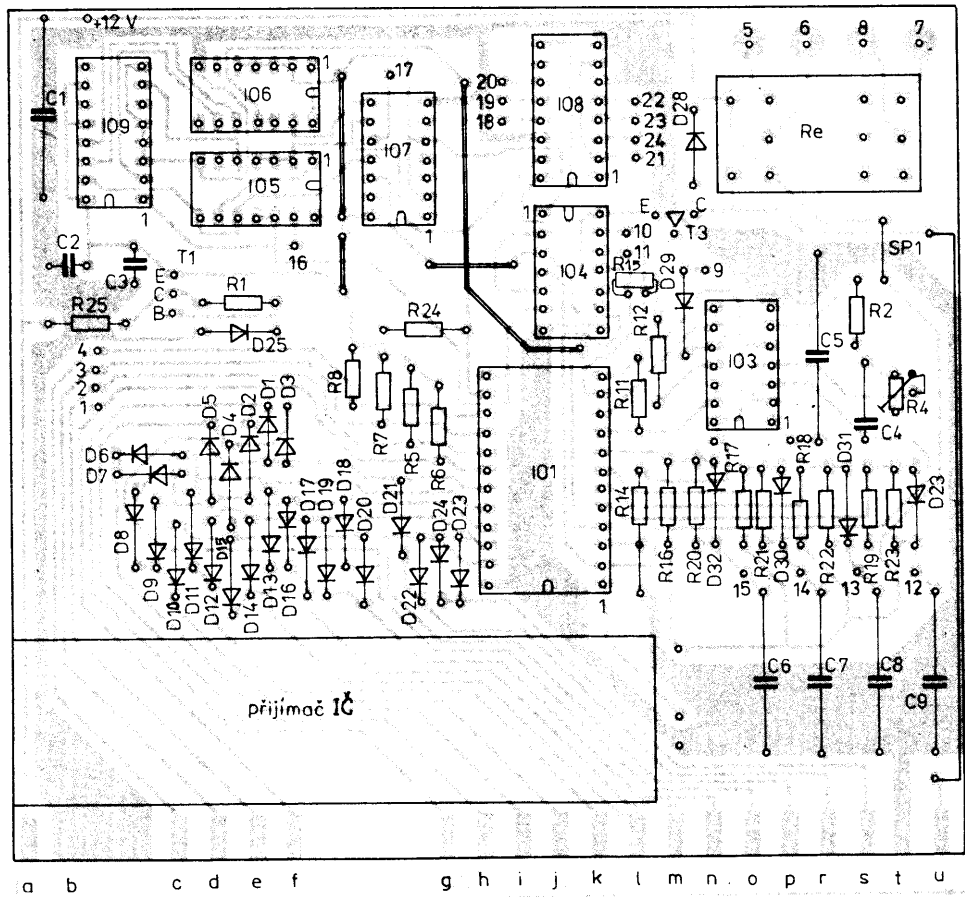
Obr. 54. Zapojení přijímače, dekódéru  
a stykových obvodů s U806D



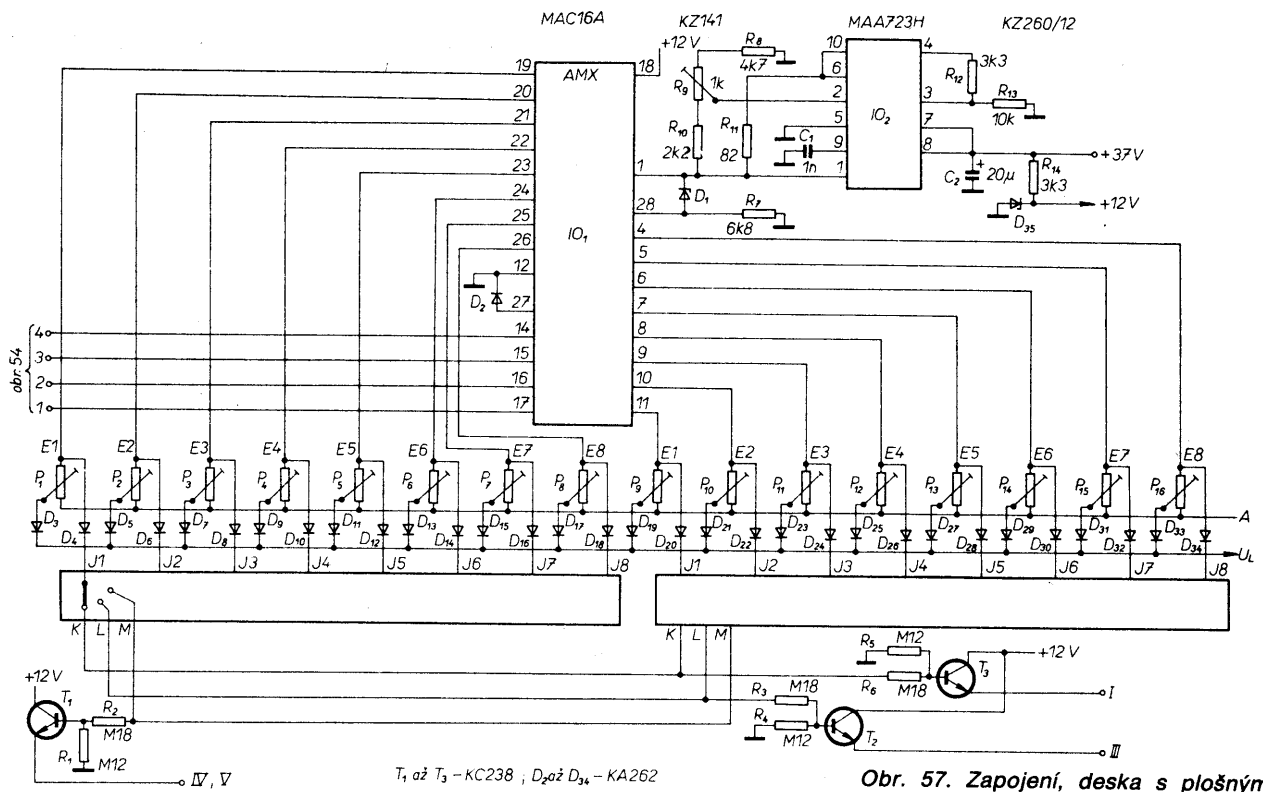
Obr. 55. Deska s plošnými spoji W207 a rozmístění součástek místního ovládání a indikace



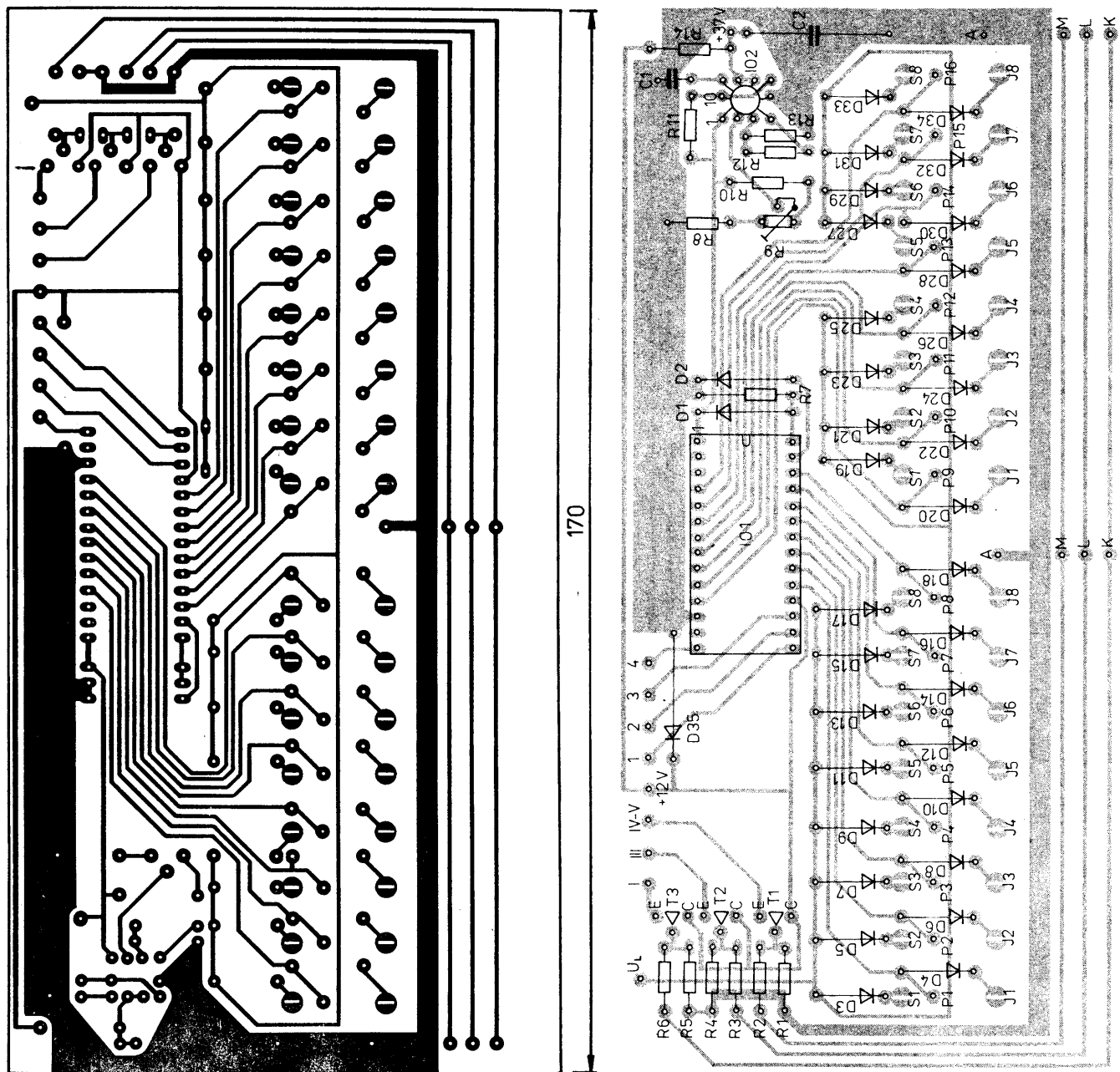
reaguje na S=1 a při zapojeném R<sub>14</sub> na S=0. Na výstupu RSVB je klopý obvod, který je po zapnutí nastaven na úroveň L. Vysláním povelu 3 se překlopí, takže na výstupu H<sub>4</sub> bude úroveň L a přes D<sub>29</sub> (je zapojena přes vývod 9 na vývod 8 A290D) můžeme přepínat stereofonní dekodér do provozu mono a při dalším vyslání povelu do provozu stereo. Výstup RSVB po vyslání povelu



Obr. 56. Deska s plošným spoji W208 a rozmístění součástek na desce dekodéru



Obr. 57. Zapojení, deska s plošnými spoji W209 a rozmištění součástek předvoleb pro TVP



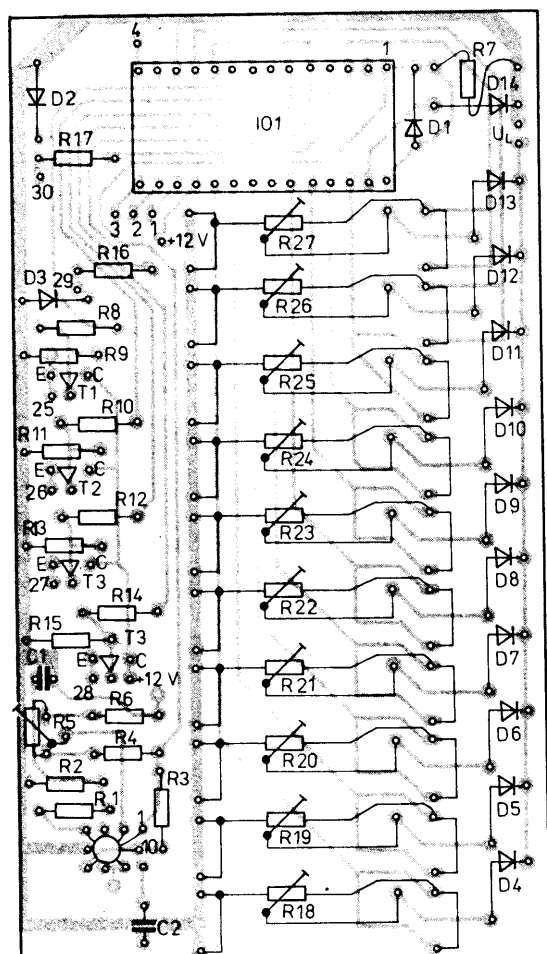
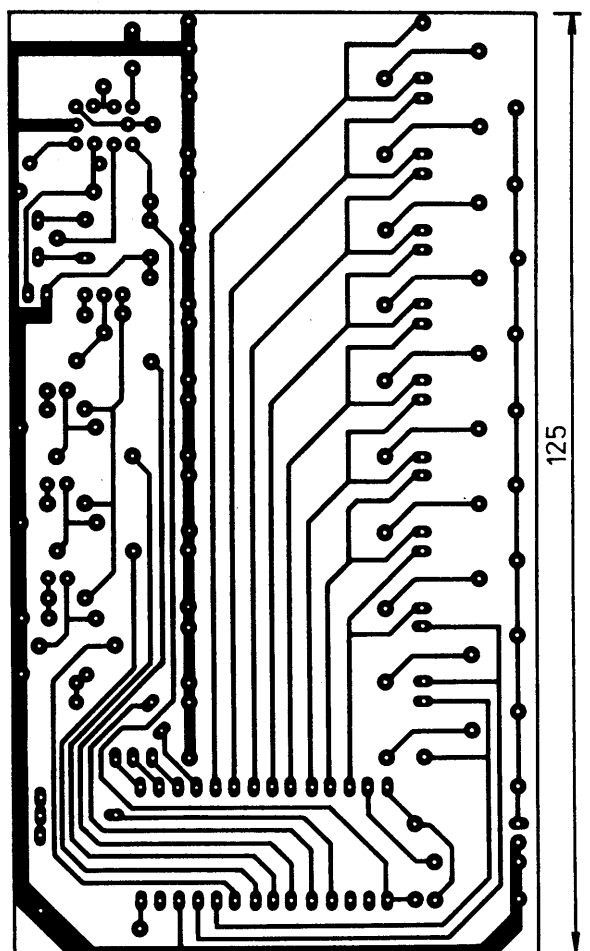
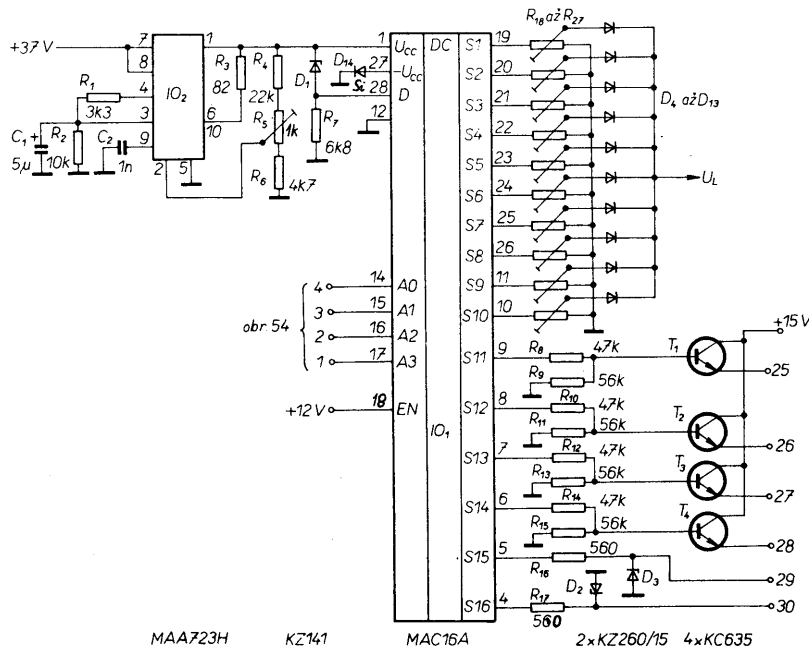
6 generuje krátký impuls, kterým je řízen KO<sub>1</sub>. Jeho výstupy Q a Q (vývody 10 a 11) je možné použít pro spínání funkce např. mono/stereo nebo pod. Výstupy VOLU a ANAL1 až ANAL3 řídí analogové funkce. Základní úroveň je dáná poměrem odporů rezistorů R<sub>16</sub>:R<sub>20</sub>, R<sub>17</sub>:R<sub>21</sub>, R<sub>18</sub>:R<sub>22</sub> a R<sub>19</sub>:R<sub>23</sub>. Změnou těchto poměrů lze měnit nastavení základní úrovně. Z vývodů 15, 14, 13 a 12 je stejnosměrné napětí vedeno k elektronickým regulacím, např. u RP k regulátoru hlasitosti, výšek, hloubek a vyvážení a u BTV k regulátorům hlasitosti, jasu, sytosti a kontrastu. Na výstupy DATA, DLEN a MODEP jsou připojeny stykové obvody, kterých využíváme jen v luxusních BTV. Jedná se o sérioparalelní převodník dat KO<sub>2</sub>, IO<sub>8</sub>, z kterého je buzen převodník D/A pro regulaci výšek, hloubek a kontrastu. Pro tento převodník můžeme použít zapojení podle obr. 44. Stykový obvod H<sub>5</sub> až H<sub>9</sub> a IO<sub>9</sub> slouží k řízení teletextového dekodéru první generace. Po sledním obvodom je stabilizátor napájecího napětí s T<sub>1</sub>, D<sub>25</sub>.

Deska s plošnými spoji na obr. 55 je osazena elastomerickými tlačítky TS 521000, IO<sub>2</sub>, DP a zdrojem konstantního proudu T<sub>2</sub>. Jas displeje lze řídit změnou R<sub>10</sub>. Deska se spoji je přes stykové plošky připájena ve vertikální poloze k desce na obr. 56, na níž jsou zbyvající obvody z obr. 54. Všechny rezistory jsou TR 212, kondenzátory C<sub>1</sub>, C<sub>6</sub> až C<sub>9</sub> jsou TF 009, C<sub>2</sub> = TE 004, C<sub>3</sub> = TK 783, C<sub>4</sub> = TGL 5155 a C<sub>5</sub> = TC 215. Relé Re<sub>1</sub> je RP210. Při-

jímač IČ je umístěn v plechové krambice, fotodioda je umístěna v mosazné trubce, která prochází dírou na desce se spoji z obr. 55. Rezistor R<sub>4</sub> = TP 008.

Na obr. 57 je zapojení stykového obvodu s předvolbami programů. Jako dekodéru 1 ze 16 je zde využito analogového multiplexera BiFET MAC16A (je možno použít i MAB16). U

tohoto obvodu platí, že rozdíl napětí mezi vývody 28 a 1 je minimálně 4 V. Na vývodu 28 je společný výstup všech spínačů v IO<sub>1</sub>. Z dekodéru U806D jsou přes vývody 1 až 4 přiváděna data, která jsou multiplexerem převedena na vnitřní povel k sepnutí jednoho ze spínačů FET. Na kontakt spínače je připojen jeden ze 16 potenciometrů



Obr. 58. Zapojení deska s plošnými spoji W210 a rozmištění součástek stykového obvodu pro rozhlasový přijímač



## DŮM OBCHODNÍCH SLUŽEB SVAZARNU

Pospíšilova 11/14

tel. 217 53, 218 04, 222 73, 219 20

telex. 526 62

757 01 Valašské Meziříčí



### NABÍZÍME:

všem radioklubům, elektroklubům a HIFI klubům Svazarmu, elektrotechnickým učilištěm a SPŠ elektrotechnickým

### ELEKTROSTŮL

slouží k vybavení dílen a provozu pracujících s elektrotechnikou.

Stůl je vybaven uzamykatelnou skříňkou a na zadní části pracovní desky je panel pro možnost dodatečné montáže měřicích přístrojů, zdrojů, rozvodů atd. Rám je z profilu 25 x 25, dřevěná část je povrchově laminována. Rozměry:

1500 x 700 mm, výška 770 mm.

1740 Kčs

Objedn. číslo: 750090

Své objednávky adresujte na:

Dům obchodních služeb Svazarmu

Zásobovací základna

Mezi lány 22

158 00 Praha 5-Jinonice

předvoleb. Při sepnutém spínači se z příslušné předvoleby odeberá přes příslušnou diodou ladící napětí  $U_L$  a také přes spínače spínací napětí pro přepínač pásem J<sub>1</sub> až J<sub>8</sub>, na jehož výstupech KLM jsou připojeny spínací tranzistory T<sub>1</sub> až T<sub>3</sub>; T<sub>1</sub> spíná pásmo IV—V, T<sub>2</sub> pásmo III a T<sub>3</sub> pásmo I. IO<sub>2</sub> a D<sub>25</sub> slouží ke stabilizaci potřebných napětí.

Deska se spoji a rozmístění součástek je na obr. 57. Všechny rezistory jsou TR 212 kromě R<sub>14</sub> = TR 152, R<sub>8</sub> = TP 008, kondenzátor C<sub>1</sub> = TK 724 a C<sub>2</sub> = TF 010. Pro předvoleby P<sub>1</sub> až P<sub>16</sub> jsou použity jednotky předvoleb LPJ8 TS491... z BTV TESLA 416, na nichž jsou i přepínače pásem.

Na obr. 58 je zapojení a deska s plošnými spoji stykového obvodu předvoleb pro rozhlasový přijímač. Stejně jako u předchozího obvodu je pro dekódování programů použit analogový multiplexer MAC16A, na jehož spínače S<sub>1</sub> až S<sub>10</sub> jsou připojeny potenciometry předvoleb a na spínače S<sub>11</sub> až S<sub>16</sub> tranzistory pro napájení části KV a DV, SV, KV části AM. Pro napájení korekčního zesilovače magnetické přenosky a pro napájení oddělovacího stupně pro magnetofon jsou použity Zenerovy diody D<sub>2</sub>, D<sub>3</sub>. IO<sub>1</sub> je napájen ze stabilizátoru IO<sub>2</sub>.

Všechny rezistory jsou TR 212 kromě R<sub>5</sub> = TP 008 a R<sub>18</sub> až R<sub>27</sub> = 1PN69287 (z přijímače T820). Kondenzátor C<sub>1</sub> je typu TE 004, C<sub>2</sub> TK 724.

### Závěr

Tento článek měl dát přehled o možnostech dálkového ovládání a je prvním impulsem k prostudování této problematiky. Protože se jedná o poměrně složitou problematiku, doporučuji realizaci jen vyspělým amatérům a před zahájením realizace autor doporučuje prostudovat dále uvedenou literaturu.

### Seznam literatury

Integrierte Schaltungen für Unterhaltungselektronik. Siemens 1983/84.

Integrierte Schaltungen für digitale Systeme in Rundfunk — und Fernsehempfängern. Valvo 1980.

Digital integrated circuits, CMOS HE4000B family. Philips 1983.

Aktive elektronische Bauelemente 1986. Teil 1 und 2, RFT Mikroelektronik.

Dioden, katalog SSSR.

Konstrukční katalog: Analogové multiplexery BIFET. TESLA elektronické součástky.

Integralnyje schémy SSSR.

Siemens Schaltbeispiele 1977/78, 1978/79.

Valvo Technische Informationen für die Industrie. 800407.

Radio Fernsehen Elektronik č. 5/1986. Funkamateur č. 10/1984.

Elektor č. 149 a 150.

Funkschau č. 2 a 3/1979.

Avtomat-vyklučiteli televizora. Radio (SSSR) č. 11/1984, str. 26.

Ustrojstvo pereklijučenija program IK lučami. Radio (SSSR) č. 12/84, str. 31.

Sistema distacionovo upravljenija, SDU-3. Radio (SSSR) č. 7, 8/85 a 10/85, str. 41, 38, 41.

Sistema DU radiokompleksom. Radio (SSSR) č. 1/86, str. 38.

Integralnyje mikroschémy dlja sistem DU. Radio (SSSR) č. 6 a 7/86, str. 48, a 23.

Sistema DU na IK lučach. Radio (SSSR) č. 10, 11 a 12/86, str. 46 a 28.

Nové způsoby řešení rozhlasových přijímačů. AR B č. 3/1987.

### INZERCE



Inzerci přijímá osobně a poštou Vydavatelství Naše vojsko, inzerční oddělení (inzerce ARB), Vladislavova 26, 113 66 Praha 1, tel. 26 06 51—9, linka 294. Uzávěrka tohoto čísla byla dne 20. 11. 1987, do kdy jsme museli obdržet úhradu za inzerát. Neopomeňte uvést prodejní cenu, jinak inzerát neuvěřitelně. Text inzerátu pište čitelně, aby se předešlo chybám vznikajícím z nečitelnosti předloh.

### PRODEJ

BFR90 (70) 4 ks, BF960 (45) 23 ks, zašlu na dobríku i jednotlivě. Z. Jilek, 788 13 Vlkovice 277.

**Novou mechaniku** mag. SM-1 s úplně osazeným tišt. spoj. a dokumentací (1300). V. Tauš, Husova 199, 664 01 Bilovice n. Svit.

**Směšovač FO-UP-11 kF** (1800), FET mgf 1412 + mgf 1402 + mechanika elrad (2500), mf zesilovač 3x BFG65 (600). J. Hromádka, Stúrova 1158, 142 00 Praha 4.

### Filmový průmysl

závod Michle,

Jemnická 3

Praha 4

výroba filmové techniky

přijme

elektrotechniky a mechaniky na výrobu  
regulační techniky a audiotechniky pro filmová studia.

Výhodné spojení metrem, zájemci  
hlásťte se přímo na tel. 43 55 72.  
Nástup podle dohody.



## ČKD PRAHA o. p. závod Elektrotechnika

Přijme ihned technicko hospodářské pracovníky do vývoje elektronických regulací:

### 3 sam. vývojové pracovníky

(VŠ, T 11—T12)

### 1 vývojového pracovníka/ci

(evidence součástkové základny)  
(SO, USO, T 10)

### 1 sam. vývojového pracovníka

(pro měřicí a výpočetní techniku)  
(VŠ — část. znalost angl., T 11)

#### Informace:

ČKD závod Elektrotechnika, U Kolbenky 159, Praha 9-Vysočany, s. Ing. K. Kuchta CSc., tel. 812 34 67

**Žákům z 8. ročníku základních škol nabízíme možnost vyučení ve dvouletých, čtyřletémšíčních a čtyřletých učebních oborech.**

Mimopražským zájemcům poskytujeme ubytování v ubytovnách hotelového typu.

**Mikrocentrum Brno** pořádá kurzy:  
Základy programování mikropočítačů  
a jazyk „BASIC“, „PASCAL“  
— dvoutýdenní internátní kurzy

Informace podá **Školicí středisko Obřanská 47a 614 00 BRNO**  
telefon 67 39 57

### Pobočka ČSVTS

při RD Bruntál  
Zahradní ulice  
792 01 Bruntál

### KOUPI

ATARI 130 XT (800 XL:XE)

**Svit. kond. 0,5%** (9), ferit. hrnce (9), souč. růž. (50 až 90% MC), sezn. za znám. P. Brož, 273 02 Tuchlovice 180.

**Progr. kalk. TI-58C** + programy (2500), sovětský osciloskop OML-2M (1500). M. Vecko, Jičínská 35, 130 00 Praha 3.

**RAM4164** — 15 refr. 7 (100), 4256 — 15 (220) a PC floppy. Ing. Chytík, Na sypčině 820, 147 00 Praha 4.

**EI. 6P45C, 6Z52P, 6Z5P, 6F12P, 6F1P** (110, 70, 20, 55, 30), IO K224 (à 65), KT209, 315, 814, 815, 816, 817 (10, 10, 15, 15, 20, 20) a jiné náhr. díly do sov. BTV. F. Hanuš, Na nábřeží 1, 792 01 Bruntál.

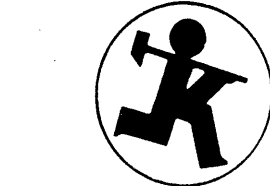
**15kanálový světelní** pult s příslušenstvím automat. samoprogram. klávesnice (3500), 22žilový kabel 2x30 m (m 70), equalizér 9 pásem (1500). Blížší podrobnosti zašlu. M. Hlaváček, 294 46 Semčice 42.

### KOUPE

**IO AY-3-8610.** Uveděte cenu. Ján Dej, Svrčinovec 773, 023 12 Čadca.

**Na ZX81 — manuál** — český alebo slovenský preklad. J. Machavová, Továrenská 19 B/2, 984 01 Opatová — Lučenec.

**IO 6561** (video čip do VIC-20), modul z BTVP dekódér NTSC. M. Viktor, Zelenecská 503/45 194 00 Praha 9.



## OPRAVY osobních počítačů **SINCLAIR**

Opravy individuálně dovezených osobních počítačů Sinclair

**ZX Spectrum**  
**ZX Spectrum +**  
**Delta**

Zajišťuje jako jediný v ČSSR servis Kovoslužby v Praze 1, Panská 4 – pasáž Černá růže.

Telefon 22 46 02.

Náhradní díly úctuje v TK.

Tento servis nezajíšťuje opravy formou zásilkové služby.

**Kvalitní anténní předzesilovač 22 dB** — pro IV. + V. pásmo, osazený BFT66 a podobně. P. Pudr. Vítězného února 669, 537 01 Chrudim 3.

**Kdo prodá** popř. půjčí literaturu o strojovém kódu (i jinou) na Commodore plus 4 — česky popř. německy, dále koupím uživatelské programy a hry. Nabídněte. Ing. Z. Hrubý, 789 61 Bludov 693.

## VÝMĚNA

**Obrazovka B10S1** s objímkou za DG7-123 nebo 7QR20. Koupím můstek RLC10. Ing. P. Kunce, KSSPPOP Žižkovo nám. 34, 370 21 České Budějovice.

## NOVÉ PRACOVÍSTĚ RESORTU SPOJŮ

pro údržbu a vývoj SW telekomunikačních zařízení nasazovaných v čs. jednotné telekomunikační síti

přijme zájemce o práci v oborech:

- programování spojovacích a dohledových SPC systémů
- programování a provoz podpůrných a testovacích prostředků údržby SW
- školení a tvorba kursů pro SPC technologii.

**Informace osobně,  
pisemně i telefonicky  
na č. tel. 27 28 53, 714 25 79**

Praxe v oboru programování (mini a mikropočítače) vítána. Plat zařazení podle ZEUMS II.  
Pro mimopražské pracovníky zajistíme ubytování.

**MEZINÁRODNÍ A MEZIMĚSTSKÁ  
TELEFONNÍ A TELEGRAFNÍ ÚSTŘEDNA  
V PRAZE 3,  
OLŠANSKÁ 6**

Upozorňujeme čtenáře, že se nám podařilo získat větší množství výtisků AR řady B, č. 2 až 6/87. Čísla jsou do rozebrání k dispozici v redakci.